

جمهورية العراق  
ديوان الوقف الشيعي



مجلة فصلية محكمة تختص بالعلوم الطبيعية والهندسية

تصدر عن  
العتبة العباسية المقدسة  
مركز العميد الدولي للبحوث والدراسات

جازة من  
وزارة التعليم العالي والبحث العلمي معتمدة لأغراض الترقية العلمية

السنة الرابعة، الجلد السابع، العددان الثالث عشر والرابع عشر  
رمضان ١٤٣٩ هـ، حزيران ٢٠١٨ م



مركز العميد الدولي  
للبحوث والدراسات



## الترقيم الدولي

ردمد: ٢٣١٢ - ٥٧٢١

ردمد الالكتروني ٢٣١٣ - ٠٠٨٣

رقم الایداع في دار الكتب والوثائق العراقية ١٩٩٦ لسنة ٢٠١٤

الرمز البريدي: ٥٦٠٠١

رقم صندوق البريد (ص ب): ٢٣٢

العتبة العباسية المقدسة، مركز العميد الدولي للبحوث والدراسات.

الباهير: مجلة فصلية محكمة تختص بالعلوم الطبيعية والهندسية / تصدر عن العتبة العباسية المقدسة مركز العميد الدولي للبحوث والدراسات. - كربلاء، العراق: العتبة العباسية المقدسة، مركز العميد الدولي للبحوث والدراسات، ١٤٣٦ هـ = ٢٠١٥ -

مجلد: ایضاحیات؛ 24 سم

فصلية. - السنة الرابعة، المجلد السابع، العددان الثالث عشر والرابع عشر (حزيران 2018)

ردمد: 2312-5721

يتضمن إرجاعات بليوجرافية.

النص باللغة العربية؛ ومستخلصات باللغة الانجليزية.

1. العلوم - دوريات. الف. العنوان.

Q1 .A8365 2017 VOL. 6 NO. 11 - 12

مركز الفهرسة ونظم المعلومات

- Tel: +964 032310059
- Mobile: +9647602355555
- <http://albahir.alkafeel.net>
- Email: [albahir@alkafeel.net](mailto:albahir@alkafeel.net) :

## **المشرف العام**

السيد أحمد الصافي

## **نائب المشرف العام**

السيد ليث الموسوي

رئيس قسم الشؤون الفكرية والثقافية

## **رئيس التحرير**

أ.د . نورس محمد شهيد الدهان

## **الهيئة الاستشارية**

أ. د . رياض طارق العميدي - جامعة بابل - كلية التربية

أ. د . كريمة مجید زیدان - جامعة البصرة - كلية العلوم

أ. د . أحمد محمود عبد اللطيف - جامعة كربلاء - كلية العلوم

أ. د . سرحان جفات سلمان - جامعة القادسية - كلية التربية

أ. د . فاضل اسماعيل شراد الطائي - جامعة كربلاء - كلية العلوم

أ. د . شامل هادي - جامعة اوكلاند - الولايات المتحدة الامريكية



## مديري التحرير

أ. د. ايمان سمير عبد علي بهية - جامعة بابل - كلية التربية للعلوم الصرفة

سكرتير التحرير التنفيذي

م.م. حيدر حسين الاعرجي

سكرتير التحرير

رضوان عبد الهادي السلامي

## هيئة التحرير

أ. د. افتخار مضر طالب الشرع - جامعة بابل - كلية التربية للعلوم الصرفة

أ. د. وسام سمير عبد علي بهية - جامعة بابل - كلية تكنولوجيا المعلومات

أ. د. شوقي مصطفى علي الموسوي - جامعة بابل - كلية الفنون الجميلة

أ. حيدر غازى الموسوى - جامعة بابل - كلية التربية

أ.م. د. حيدر حميد محسن الحميداوي - جامعة كربلاء - كلية العلوم

Prof. Dr. Zhenmin Chen

Department of Mathematics and Statistics, Florida International University, Miami, USA.

Prof. Dr. Adrian Nicolae BRANGA

Department of Mathematics and Informatics, Lucian Blaga University of Sibiu, Romania.

Prof. Dr. Akbar Nikkhah

Department of Animal Sciences, University of Zanjan, Zanjan 313-45195Iran, Iran.

Prof. Dr. Khalil EL-HAMI

Material Sciences towards nanotechnology University of Hassan 1st, Faculty of Khouribga, Morocco, Morocco.

Prof. Dr. Wen-Xiu Ma

Department of Mathematics at University of South Florida, USA.

Prof. Dr. Mohammad Reza Allazadeh

Department of Design, Manufacture and Engineering Management, Advanced Forming Research Centre,  
University of Strathclyde, UK.

Prof. Dr. Norsuzailina Mohamed Sutan

Department of Civil Engineering, Faculty of Engineering, University Malaysia Sarawak, Malaysia.

Prof. Ravindra Pogaku

Chemical and Bioprocess Engineering, Technical Director of Oil and Gas Engineering, Head of Energy Research Unit, Faculty of Engineering, University Malaysia Sabah (UMS), Malaysia.

Prof. Dr. Luc Avérous

BioTeam/ECPM-ICPEES, UMR CNRS 7515, Université de Strasbourg, 25 rue Becquerel, 67087, Strasbourg Cedex 2, France, France.

Asst. Prof Dr. Ibtisam Abbas Nasir Al-Ali

College of Science, University of Kerbala, Iraq.

Prof. Dr. Hongqing Hu

Huazhong Agricultural University, China.

Prof. Dr. Stefano Bonacci

University of Siena, Department of Environmental Sciences, Italy.

Prof. Dr. Pierre Basmaji

Scientific Director of Innovatecs, and Institute of Science and technology, Director-Brazil, Brazil.

Asst. Prof. Dr. Basil Abeid Mahdi Abid Al-Sada

College of Engineering, University of Babylon, Iraq.

Prof. Dr. Michael Koutsilieris

Experimental Physiology Laboratory, Medical School, National & Kapodistrian University of Athens. Greece.

Prof. Dr. Gopal Shankar Singh

Institute of Environment & Sustainable Development, Banaras Hindu University, Dist-Varanasi-221 005, UP, India, India.

Prof. Dr. MUTLU ÖZCAN

Dental Materials Unit (University of Zurich, Dental School, Zurich, Switzerland), Switzerland.

Prof. Dr. Devdutt Chaturvedi

Department of Applied Chemistry, Amity School of Applied Sciences, Amity University Uttar Pradesh, India.

Prof. Dr. Rafat A. Siddiqui

Food and Nutrition Science Laboratory, Agriculture Research Station, Virginia State University, USA.

Prof. Dr. Carlotta Granchi

Department of Pharmacy, Via Bonanno 33, 56126 Pisa, Italy.

Prof. Dr. Piotr Kulczycki

Technical Sciences; Polish Academy of Sciences, Systems Research Institute, Poland.

Prof. Dr. Jan Awrejcewicz

The Lodz University of Technology, Department of Automation, Biomechanics and Mechatronics, Poland, Poland.

Prof. Dr. Fu-Kwun Wang

Department of Industrial Management, National Taiwan University of Science and Technology , Taiwan.

Prof. Min-Shiang Hwang

Department of Computer Science and Information Engineering, Asia University, Taiwan, Taiwan.

Prof. Dr. Ling Bing Kong

School of Materials Science and Engineering, Nanyang Technological University Singapore Singapore.

Prof. Dr. Qualid Hamdaoui

Department of Process Engineering, Faculty of Engineering, Badji Mokhtar-Annaba University, P.O. Box 12, 23000 Annaba, Algeria, Algeria.

Prof. Dr. Abdelkader azarrouk

Mohammed First University, Faculty of Sciences, Department of Chemistry, Morocco.

Prof. Dr. Khalil El-Hami

Laboratory of Nano-sciences and Modeling, University of Hassan 1st, Morocco, Morocco.

Assist. Prof. Dr. Abdurahim Abduraxmonovich Okhunov

Department of Science in Engineering, Faculty of in Engineering, International Islamic University of Malaysia, Uzbekistan.

Dr. Selvakumar Manickam

National Advanced IPv6 Centre, University Sains Malaysia, Malaysia.

Dr. M.V. Reddy

1Department of Materials Science & Engineering, 02 Department of Physics, National University of Singapore, Singapore.

## التدقيق اللغوي

أ.م.د . أمين عبيد الدليمي - جامعة بابل - كلية التربية - مقوم اللغة العربية

## الادارة والمالية

### الادارة الالكترونية

سامر فلاح الصافي

محمد جاسم عبد إبراهيم

عقيل عبد الحسين الياسري  
ضياء محمد حسن النصراوي

التصميم والإخراج الفني

حسين علي شمران

### الادارة التنفيذية

حسنين صباح العكيلي

حيدر صاحب العبيدي



## قواعد النشر في المجلة

مثلاً يرحب العميد أبو الفضل (عليه السلام) بزائره من أطيف الإنسانية، ترحب مجلة الباهر بنشر البحوث العلمية على وفق الشروط الآتية:

1. ان يكون البحث في مجالات العلوم المتنوعة التي تلتزم بمنهجية البحث العلمي وخطواته المتعارف عليها عالمياً ومكتوبة بإحدى اللغتين العربية أو الانكليزية.
2. أن لا يكون البحث قد نشر سابقاً وليس مقدماً إلى أية وسيلة نشر أخرى، وعلى الباحث تقديم تعهد مستقل بذلك.
3. أن تحتوي الصفحة الأولى من البحث على عنوان البحث، واسم الباحث أو الباحثين، وجهة العمل، ورقم الهاتف باللغتين العربية والإنكليزية والبريد الإلكتروني مع مراعاة عدم ذكر اسم الباحث أو الباحثين في متن البحث أو أية اشارة إلى ذلك.  
وفي حالة كون البحث باللغة العربية تأتي بعد الفقرات اعلاه الخلاصة باللغة الإنكليزية تتبعها الكلمات المفتاحية باللغة الإنكليزية، ومن ثم الخلاصة باللغة العربية تتبعها الكلمات المفتاحية باللغة العربية ثم بقية فقرات البحث، أما اذا كان البحث باللغة الإنكليزية ف تكون بعد فقرات العنوان والاسماء والعنوانين الخلاصية باللغة العربية تتبعها الكلمات المفتاحية باللغة العربية ايضاً، ثم الخلاصة باللغة الإنكليزية تتبعها الكلمات المفتاحية باللغة الإنكليزية ثم بقية فقرات البحث.
4. ترسل البحث الى المجلة الكترونياً على الموقع الإلكتروني للمجلة [albahir@alameedcenter.iq](mailto:albahir@alameedcenter.iq) او [albahir.alkafeel.net](http://albahir.alkafeel.net)
5. عبر ملء إستمارة إرسال البحث بنسختين الأولى كاملة والثانية محذوف منها الاسم والعنوان للباحث (الباحثين) بصيغة Word مستند .
6. يكون نوع الخط Time new roman للغة الإنكليزية و Simplified Arabic للغة العربية، وحجم الخط لعنوان البحث الرئيس (16 غامق) اما العنوانين الثانوية (14 غامق) ومادة البحث (14).
7. نوع الفقرة single مسافة بادئة خاص (بلا) قبل النص : (0) بعد النص (0) تبعد الاسطر (فرد) قبل النص (0) بعد النص (0).
8. عدم استعمال الاطارات والزخارف وتكون جميع الارقام باللغة الإنكليزية حتى في البحوث المكتوبة باللغة العربية .
9. عند كتابة رقم في متن البحث يكون الرقم بين قوسين، وبعدة وحدة القياس بدون اقواس مثلاً cm (10) أو (10) سم.
10. تذكر المصادر في البحث باتباع اسلوب الترقيم بحسب اسلوب Superscript وانما يكتب بنفس نمط الكتابة بالشكل [رقم المصدر] وفي حالة كتابة اكثر من رقم بحث في نهاية الفقرة الواحدة تكتب جميعها داخل القوس مع وضع فوارز بينها [رقم المصدر ، رقم المصدر].
11. اسم الشكل يكتب تحته متمركزاً بحجم خط (12 غامق) ويكون للغتين الإنكليزية والعربية كما يلي:-  
اسمها أو توضيح محتواه: (رقم الشكل) . Fig (الشكل)

- شكل (رقم الشكل): اسمه او توضيح محتواه  
اما الجدول فيكون عنوانه فوقه متمركزاً بحجم خط (12 غامق) ويكون للغتين الانكليزية والعربية كما يأتي:-  
اسمه أو توضيح محتواه: (رقم الجدول) Table  
جدول (رقم الجدول): اسمه أو توضيح محتواه
- 12 . تكون الرسوم والصور والمخططات ملونة واضحة ذات دقة عالية مع مراعاة وضعها في مربع نص ويراعى عدم استعمال scan في الاشكال البيانية.
- 13 . تكتب الهوامش ان وجدت في نهاية البحث قبل المصادر.
- 14 . اينما وردت الكلمة Figure في متن البحث تكتب بالشكل Fig . وبعدها رقم الشكل بين قوسين وتكتب الكلمة table حرف T كير اينما وردت ايضاً.
- 15 . لا تتجاوز عدد الصفحات (25) صفحة.
- 16 . تكتب معادلات الرياضيات على وفق برنامج Math Type
- 17 . تعبر الأفكار المنشورة في المجلة عن آراء كاتبها ولا تعبّ بالضرورة عن وجهة نظر جهة الإصدار ويخضع ترتيب البحوث المنشورة لوجبات فنية.
- 18 . تخضع البحوث لبرنامج الاستلال من الانترنت وكذلك لتقويم سري لبيان صلاحيتها للنشر وتكون الآلية كما يأتي:-  
أ - يبلغ الباحث بتسلّم بحثه خلال مدة أقصاها أسبوعان من تاريخ التسلّم .  
ب - يعاد البحث الى الباحث فوراً في حال عدم مطابقته للشروط اعلاه.  
ت - ينطر أصحاب البحوث المقبولة للنشر بموافقة هيئة التحرير على نشرها .  
ث - البحوث التي يرى المقومون وجوب إجراء تعديلات أو إضافات عليها قبل نشرها، تعاد الى أصحابها مع الملاحظات المحددة كي يعملوا على إجراء التعديلات بصورة نهائية خلال مدة أقصاها (أربعة أسابيع) من تاريخ إرسال التعديلات.  
ج - يبلغ الباحث في حال الإعتذار عن نشر بحثه .  
ح - يمنح كل باحث نسخة واحدة من العدد الذي نشر فيه بحثه .
- 19 . يراعى في أسبقية النشر :
- أ - البحوث المشاركة في المؤتمرات التي تقيمها جهة الإصدار .  
ب - تاريخ استلام البحث .  
ت - تاريخ قبول البحث للنشر .  
ث - أهمية البحث وأصالته .
- ج-تنوع اختصاصات البحوث الصادرة في العدد.
- 20 . على الباحثين إجراء التعديلات المطلوبة من قبل الخبراء العلميين واللغويين
- 21 . ملء التعهد الخاص بالمجلة الذي يتضمن حقوق النشر الخاصة بمجلة الباهر العلمية ومراعاة شروط الامانة العلمية في كتابة البحث.

No:

٤٠٢١ / ب ت ٤

Date:

٢٠١٥/٥/١٨

### العتبة العباسية المقدسة / مركز العميد للدراسات والبحوث

م / مجلة الباهر

السلام عليكم ورحمة الله وبركاته...

استناداً إلى آلية اعتماد المجلات العلمية الصادرة عن مؤسسات الدولة، وبناءً على توافر شروط اعتماد المجلات العلمية لأغراض الترقية العلمية في "مجلة الباهر" الصادرة عن مركزكم تقرر اعتمادها كمجلة علمية محكمة ومعتمدة للنشر العلمي والترقية العلمية .

... مع التقدير



نسخة منه إلى //

- مكتب السيد المدير العام / إشارة إلى موافقة سعادته بتاريخ ٢٠١٥/٥/١٧ / للتفضل بالاطلاع ... مع التقدير .
- قسم الشؤون العلمية/ شعبة التأليف والنشر والترجمة
- الصادرة



بِسْمِ اللَّهِ الرَّحْمَنِ الرَّحِيمِ

## كلمة العدد

والحمد لله رب العالمين والصلوة والسلام على سيد المرسلين أفضح العرب وأدهم للحق والدين وعلى آل بيته الكرام الطاهرين. منذ الأعداد الأولى لمجلة الباهر استطاعت ان تستقطب قاعدة عريضة من الباحثين والأكاديميين واليوم وفي عدديها الحادي عشر والثاني عشر اثبتت فاعليتها لتكون مصدراً أساساً للمعلومات في الدراسات البحثية المتخصصة التي تتناغم مع المعرفة المعاصرة والتطور المتسارع في ميادين البحث العلمي، ولا يلمس هذا إلا من يسرى أغوار هذه المجلة الفذة والنوايا المخلصة للقائمين عليها لأنهم يجدوا من صميم سعادتهم ان يضعوا القارئ وسط واحة من الابحاث التي تصب في تطوير المعرفة وتعزيز قاعدة مصادر البحث.

لقد توزعت أبحاث (هذا العددان المباركان) في العلوم الهندسية والطبيعية لتحتل مكانة مرموقة بين المجالات الاخريات ومن هنا وعلى بركة الله تقدمت المجلة لتكون قبلة لكل الباحثين والقراء والأكاديميين على حد سواء فجاءت بلبوس مميز لتستمر بها تقدمه لقارئها من مادة علمية ثرية تحقيقاً للنجاح والسداد المستمرّين.

وفاء عبد الخالق حسين، انتصار حسين علي،  
إيمان مطاب سليمان  
فرع العلوم التطبيقية، الجامعة التكنولوجية،  
بغداد، العراق.

## 17 تصنيع ودراسة الخواص الفيزيائية لمرشحات سيراميكية

محمد عمر محي الدين وجاسم محمد عودة  
علوم الأغذية، كلية الزراعة، جامعة بغداد،  
العراق

تنقية إنزيم الانيلينيز المنتج من عزلة محلية من الخميرة  
*Kluyveromyces marxianus AY2* 27

\* جنان مجيد المخ، \*\* هيفاء عبد النبي جاسم،  
\*\*\* محمد عبد الزهرة نجدي  
\* قسم الفيزياء، كلية التربية للعلوم الصرفة،  
جامعة البصرة، البصرة، العراق.  
\*\* قسم الفيزياء، كلية العلوم، جامعة البصرة،  
البصرة، العراق.  
\*\*\* مديرية تربية البصرة، البصرة، العراق

خصائص نقل الاكترون خلال نقطتين كميتين مقتربتين: تأثير التفاعل غير  
المباشر 39

داخل ناصر طه، خضير جواد كاظم، \* داهم،  
عبدعلي عبد الحسين\*\*  
\* قسم الكيمياء، كلية العلوم، جامعة بابل،  
العراق  
\*\* فرع الفلسفة والأدبية البيطرية، كلية الطب  
البيطري، جامعة كربلا، العراق.

تحضير بولي استرات اليفاتية وأروماتية من الأثيلين ثنائي الأمين رباعي  
حامض الخليك وتطبيقاتها للأغراض الصناعية 51

أحمد جاسم محمد  
قسم علوم المواد، مركز أبحاث البوليمر، جامعة  
البصرة، البصرة، العراق.

دراسة تأثير إضافة مسحوق الألمنيوم على بعض الخواص الميكانيكية  
ومقاومة الاحتراق للبولي استر غير المشبع 61

وفاء صادق محسن الوزني  
قسم علوم الحياة، كلية العلوم، جامعة كربلا،  
العراق.

الاستخدام الوقائي للمستخلص المائي للزنجبيل  
(Zingiber officinale) ضد ذيفان حال الدم ألفا المستخلص من بكتيريا  
الأشريشيا القولونية في الفأران 71

الله





## تصنيع ودراسة الخواص الفيزيائية لمرشحات سيراميكية

وفاء عبد الخالق حسين، انتصار حسين علي، إيمان مطلب سليمان  
فرع العلوم التطبيقية، الجامعة التكنولوجية، بغداد، العراق.

تاريخ الاستلام: 5 / 6 / 2017

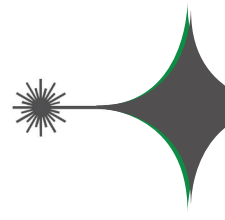
تاريخ قبول النشر: 20 / 7 / 2017

### Abstract

In this work, ceramic filters has been manufactured from local raw materials and available, including kaolinite with two particle sizes fine and coarse (45 -63)  $\mu\text{m}$  for fine and (105-150)  $\mu\text{m}$  for coarse, in addition to wood charcoal with carrot fibers were used as the burnout material to create pores, Sodium silicate was added as a (defluoriddation agent) deflocculant material. These materials were formed by slip casting method, and then fired at (1100)  $^{\circ}\text{C}$ . X-ray diffraction, Physical tests such as (apparent porosity, water absorption, bulk density and linear shrinkage), and mechanical tests (compressive strength) were examined. The results indicate that apparent porosity, water absorption and linear shrinkage increased with increasing addition weight percent, while bulk density and compressive strength decreased with increasing the weight percent of organic materials addition.

### Keywords

Porous ceramic, Filtration, Kaolin, Charcoal, Slip casting.



## الخلاصة

في هذا العمل تم تصنيع مرشحات سيراميكية من مواد أولية محلية ومتوفرة، تشمل اطيان الكاولين بمحجمين ناعم وخشن تتراوح بين (45-63) مايكرون للناعم و(105-150) مايكرون للخشن، بالإضافة إلى فحم الخشب مع الياف المزغر كمواد مكونة للمسامية مع استخدام سليفات الصوديوم كمادة مشتقة. شكلت هذه المواد بطريقة الصب الانزلاقي وتم حرقها بدرجة حرارة (1100) درجة مئوية. تم أجراء فحص حيود الاشعة السينية، الفحوصات الفيزيائية مثل (فحص المسامية الظاهرية، امتصاصية الماء، فحص الكثافة الحجمية، والتقلص الطولي)، مع الفحوصات المكيانية (فحص الانضغاطية). وجد ان المسامية الظاهرية وامتصاصية الماء والتقلص الطولي زادت بزيادة نسبة الاضافة، بينما قلت الكثافة الحجمية ومقاومة الانضغاط بزيادة نسبة المواد العضوية المضافة.

## الكلمات المفتاحية

سيراميك مسامي، مرشحات، الكاولين، الفحم، الصب الانزلاقي.



## تشابك بين الاكثرية منها [4].

الباحث P.B Belibi، وآخرون اعدوا غشاء سيراميكى مسامي من اطيان ذات تكلفة واطئة مع مواد مساعدة كنشارة الخشب وبدرجة حرارة  $(1100)^{\circ}\text{C}$ . حيث اظهرت النتائج ان نسبة مسامية الغشاء المصنوع تصل حوالى (42%) مع ازالة عكره المياه بنسبة تصل [5] (97%). بينما قام باحثون آخرون بتطوير مرشح سيراميكى شمعي مصنوع من اطيان الكاؤولين مع نشرة الخشب بحجم حبيبي (210) مايكرون بطريقة الصب الانزلاقي وباستخدام درجة حرارة تصل الى  $(900)^{\circ}\text{C}$ . وكانت النتائج التي توصلوا اليها تشير الى كفاءة الطين المستخدم في ازالة الجسيمات العالقة مع خصائص ميكانيكية ونفاذية قوية وبتكلفة قليلة [6]. كما تم انتاج اغشية ترشيح من الكاؤولين مع حجر الكلس من قبل مجموعة من الباحثين بطريقة الصب الانزلاقي، وتم تلبيتها بدرجات حرارة تتراوح بين  $(800-1100)^{\circ}\text{C}$ . حيث استنتجوا ان المسامية وتوزيع حجم المسام وقوه الدعم قد تحققت [7].

الهدف من هذه الدراسة هو صناعة مرشحات سيراميكية مسامية رخيصة الثمن وسهلة التصنيع من مواد متوفرة لترشيح المياه باستخدام الكاؤولين بحجم حبيبي (ناعم وخشن) بالإضافة الى الياف الجزر والفحم كمواد عضوية لخلق المسامية بنسب مختلفة ودراسة الخصائص الفيزيائية مثل (فحص المسامية الظاهرية، امتصاصية الماء، فحص الكثافة الظاهرية، والتقلص الطولي) مع فحص الانضغاطية، واجراء حيدر الاشعة السينية XRD للمرشحات المصنعة.

## 2. المواد المستخدمة وطريقة التصنيع

### 1.2. تحضير المواد الخام

تمت تهيئة المواد الأولية الداخلة في تركيب المرشح السيراميكى (الكاوولين، الياف الجزر، الفحم والمواد المشتقة) وتتضمن عملية طحن الكاؤولين والفحام والياف الجزر

## 1. المقدمة

تدخل المرشحات في مجالات الحياة المختلفة كمرشحات تنقية مياه الشرب أو المرشحات التي تمنع تلوث الماء أو الهواء أو تلك المستعملة لرفع كفاءة الآلات والمكائن الصناعية. لذا أخذت المرشحات أشكالاً مختلفة حيث يعتمد شكلها على نوع المائع المراد ترشيحه (غاز، سائل) أو حسب المادة التي تدخل في تصنيعها كالمرشحات النسيجية (ألياف القطن، ألياف النايلون، القماش،....الخ) والمرشحات الورقية، والمرشحات السيراميكية (مرشحات الكاؤولين، البورسلين، السيليكا، كاربيد السيليكون، والكاربون،....الخ) وغيرها من المواد المختلفة [1].

يعتبر المرشح السيراميكى المسامي من اهم المرشحات المنزلية واكثرها شيوعا وانتشارا وذلك بسبب سهولة التصنيع، رخص الثمن او الكلفة وجودة خواصها، حيث يمكن التخلص من العوالق التي يصل حجمها الى اجزاء من المايكرون بواسطتها [2].

تعد اطيان الكاؤولين من المواد الاولية التي تستخدم في الصناعات السيراميكية وتضاف الى هذه الاطيان مواد اخرى تستخدم لخلق المسامات وذلك من خلال حرقها.

عملية التشكيل هي عملية تصنيع الجسم السيراميكى بشكل وأبعاد معينين، وطرق التشكيل تعتمد بصورة أساسية على شكل وحجم المراد تشكيله وكذلك على كلفة عملية التصنيع، وذلك بسبب ان الهدف من هذه العملية هو انتاج جسم ذي كثافة رص واطئة مع رص متجانس للحببات [3]. فقد تم استخدام طريقة الصب الانزلاقي في تشكيل المرشحات.

تعرف المسامية بانها طور موجود في معظم المواد السيراميكية المحضرة من اندماج المساحيق والمعاملة الحرارية، ويمكن وصفها بانها فراغات لها مقاس وشكل وترتيب معين وغالبا ما يكون هناك اتصال او

الفحم والياف الجزر بحسب متساوية الى الكاۋولين الناعم والخشن كما في الجدول.

تم خلط هذه النسب الوزنية المكونة من الكاۋولين والفحم مع الالياف الجزر مع الماء المقطر بنسبة (140٪) مع (6) قطرات من الماء المشتقة (سليكات الصوديوم) باستخدام خلاط كهربائي ومزجها جيدا للحصول على خليط متجانس يسمى الرلق ومن بعدها تم صب هذا الزلق في القالب المحضر من الجبس الباريسي على شكل قرص بقطر (3) سم وارتفاع (5) ملم.

الجدول (2): يمثل النسب المئوية الوزنية لمكونات الخلطات.

كاۋولين %. (ناعم والخشن)	الفحم %. (%)	الياف الجزر %. (%)
100	-	-
98	1	1
94	3	3
90	5	5
86	7	7
80	10	10
76	12	12

بعد ان شكلت النهاذج تركت في الهواء لعدة أيام لتتجف جفافاً اولياً طبيعياً ثم وضعت بعد ذلك في فرن تجفيف كهربائي بدرجة حرارة (100)° م.

اما الخطوة الأخيرة لإنتاج المرشح السيراميكى هي الحرق أو التلبييد حيث أجريت عملية التلبييد للنهاذج بإستخدام فرن من نوع (Noberthefrm) الماني الصنع وبدرجة حرارية (1100)° م، حسب البرنامج الواضح في الشكل (1).

والشكل (2) يمثل شكل العينات قبل وبعد التلبييد.

باستخدام طاحونة الكرات (ball mill) و غربلة المساحيق او فصل الأحجام الحبيبية، حيث فصل الفحم باستخدام مناخل (Sieves) ذات حجم حبيبي (25) مايكرون والياف الجزر بحجم حبيبي (45) مايكرون اما الكاۋولين فصل بحجم حبيبي يتراوح بين (45-63) مايكرون للناعم و(105-150) مايكرون للخشن.

وقد تم اجراء التحليل الكيميائي للكاۋولين كما مبين بالجدول (1) وذلك لعرفة نسب مكوناته الاساسية وكذلك نوعية ونسب الشوائب الموجودة فيه، والذي اجري بتقنية التحليل اللوني (Color Analysis) وهي طريقة لفصل وتنقية المواد الكيميائية المختلطة حيث تعتمد هذه الطريقة على توزيع مكونات المخلوط بنسب مختلفة بين مكوني نظام ثبائي أحدهما متحرك والآخر ثابت، وتتم باستعمال لوح من البلاستيك او المعدن او الزجاج ومجطاه ببادرة ممتازة تساعد على الفصل. تتم عملية الفصل على طبقة رقيقة من مادة الوسط الثابت المفروشة على الواح في الغالب مصنوعة من الالミニوم، وقد تم تحضير محلول الكاۋولين وصهره مع كاربونات الصوديوم ثم الاذابة بحامض الاميدروكلوريك المخفف ويتم قراءة العناصر الموجودة في هذا محلول بواسطة جهاز التحليل اللوني.

جدول (1): نتائج التحليل الكيميائي للكاۋولين بتقنية التحليل اللوني.

TiO <sub>2</sub>	L.O.I	Al <sub>2</sub> O <sub>3</sub>	SiO <sub>2</sub>	الاوكسيد%
0.88	12.74	33.55	48.72	%

## 2.2. عملية تشكيل النهاذج

الجدول (2) يبين نسب مكونات الخلطات السيراميكية لتحضير العينات (المرشحات)، حيث تم اضافة مسحوق

باستخدام جهاز الأشعة السينية نوع [XRD-6000] ياباني الصنع، بهدف من النحاس Cu وبفوئية مقدارها ((40 كيلو فولت، وتيار مقدر (30) ملي أمبير.

#### 4. الفحوصات الفيزيائية

##### 1.4. المسامية الظاهرية وامتصاص الماء (porosity and water absorption)

تعتمد المسامية الظاهرية  $P_A$  على كمية الماء الممتص والذى يستطيع املاء المسامات المفتوحة حيث يتم حساب المسامية الظاهرية من العلاقة التالية. [8]

$$\text{Apparent Porosity (\%)} = \frac{W_s - W_d}{W_s - W_i} * 100\% \quad \dots \dots \dots \quad (1)$$

حيث:

$W_s$ : وزن النموذج وهو مشبع بالماء،  $W_d$ : وزن النموذج وهو جاف،  $W_i$ : وزن النموذج وهو معلق بالماء. أما بالنسبة إلى امتصاص الماء، فيعرف امتصاص الماء بأنه قابلية الجسم على جذب الماء خلال مساماته ويعبر عنها بنسبة مؤوية كما في العلاقة فحسبت من العلاقة التالية [8]:

$$\text{Water Absorption (\%)} = \frac{W_s - W_d}{W_d} * 100\% \quad \dots \dots \dots \quad (2)$$

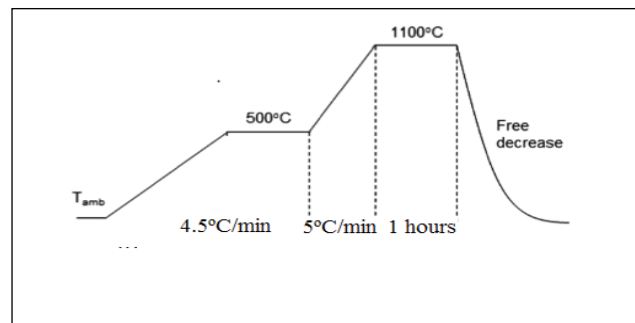
##### 2.4. الكثافة الحجمية (bulk density)

وهي النسبة بين الكتلة والحجم الكلي الذي يتضمن (حجم حبيبات المادة + حجم المسامات المغلقة والمفتوحة). تم قياس الكثافة الحجمية للنماذج الملبدة باستخدام طريقة أرخميدس حسب العلاقة التالية [9].

$$\text{Bulk Density} = \frac{W_d}{W_s - W_i} \quad \dots \dots \dots \quad (3)$$

##### 3.4. التقلص الطولي (Linear Shrinkage)

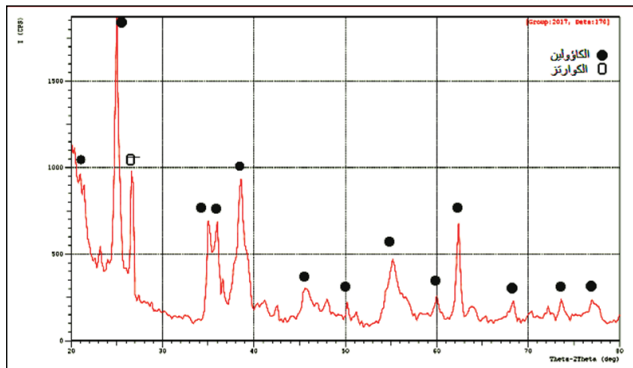
تغير أبعاد معظم المواد السيراميكية (إنكماش، تعدد) أثناء إرتفاع درجات حرارة الحرق، ويعتمد هذا التغير على المادة الأولية، الحجم والتدرج الحبيبي، درجة حرارة الحرق، زمن النضوج (فتره المكوث)، طريقة التشكيل، ومقدار الضغط المستخدم.



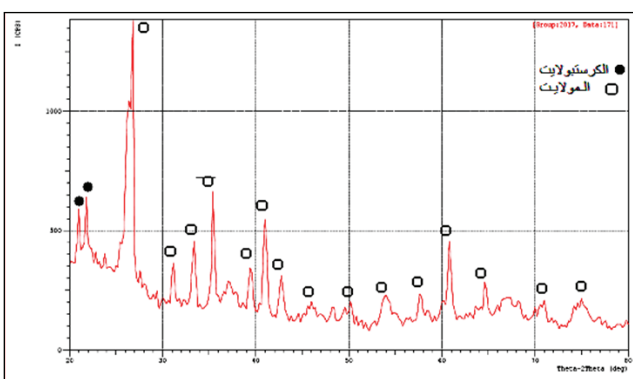
الشكل (1): يمثل مخطط برنامج الحرق.



من الكرستوبلايت كما ووضح في الشكل (4).



الشكل (3): يمثل حيود الاشعة السينية للمرشحات المصنعة قبل التلبييد.



الشكل (4): يمثل حيود الاشعة السينية للمرشحات المصنعة بعد التلبييد.

## 2.6. المسامية الظاهرية وإمتصاصية الماء

### Apparent porosity and water absorption

تعتبر خصائص المسامية الظاهرية وإمتصاصية الماء خاصيتان مترافقتان وذلك لأن هاتين الخاصيتين تتأثران ارتفاعاً أو إنخفاضاً بنفس العوامل حيث تعتبر المسامية الظاهرية تقريباً مرتين أو ضعف قيمة نسبة امتصاصية الماء. الشكلان (5) و(6) يوضحان المسامية الظاهرية ونسبة امتصاصية الماء مع نسبة إضافة كل من (الياف الجزر والفحم) للكاؤولين الناعم والخشن، حيث نلاحظ أن زيادة نسبة الإضافة تؤدي إلى زيادة كل من المسامية الظاهرية ونسبة امتصاصية الماء، وذلك لأن جسيمات المواد المضافة سوف تتحرق خلال عملية تلبييد الجسم السيراميكي، فتعمل على خلق مسامات نتيجة خروج غاز ثنائي أوكسيد الكربون ( $\text{CO}_2$ ) والذي يزداد بزيادة

يتم حساب هذا التغير في الأبعاد الذي يكون في هذه الحالة تقلصاً، بسبب تكون طور زجاجي يتغلغل داخل المسامات، و ذلك بقياس أبعاد النموذج قبل و بعد الحرق (القطر، الإرتفاع) بإستخدام قدمة قياس (Vernier) حيث إن كل نتيجة أو قيمة هي معدل لسبعين نماذج، ثم يتم حساب التقلص من المعادلة التالية [8].

$$\text{Shrinkage\%} = \left| \frac{(D_d - D_f)}{D_d} \right| * 100 \quad \dots \dots \dots \quad (4)$$

حيث ان:

$D_d$ : قطر الانموذج قبل التلبييد (mm),  $D_f$ : قطر الانموذج بعد التلبييد (mm).

## 5. الفحوصات الميكانيكية

### 1.5. مقاومة الإنضغاط ((Compressive strength)

يجري هذا الاختبار على قرص له ابعاد mm 30 كقطر 5mm، باستخدام جهاز فحص الانضغاط ، وتوضع العينة بين لوحين سفلي وعلوي ثابتين للجهاز لبدا الانضغاط حتى يحصل الكسر حسب الشكل ويحسب من العلاقة التالية [10]:

$$\sigma_{BTS} = \frac{2F}{\pi Dt} \quad \dots \dots \dots \quad (5)$$

حيث:

$\sigma$  : قوة الكسر القطري بواحدات باسكال (Pascal)،  $F$ : الحمل المسلط (Newton)،  $D$ : قطر العينة (m)،  $t$ : سمك العينة (m).

## 6. النتائج والمناقشة

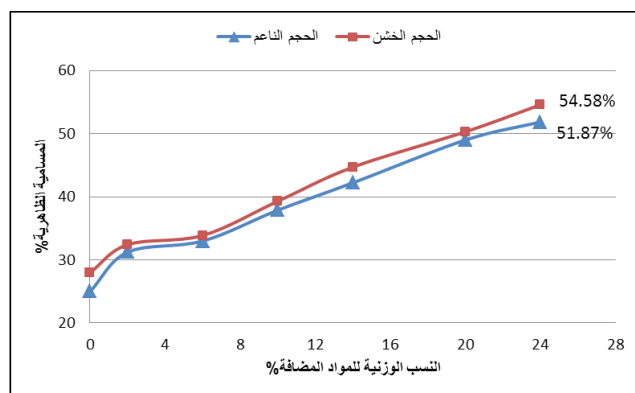
### 1.6. حيود الاشعة السينية

الشكل (3) يمثل حيود الاشعة السينية قبل الحرق، حيث نلاحظ وجود طور الكاؤولين بنسبة عالية جداً مع وجود طور الكوارتز بنسبة قليلة جداً. بعد حرق النماذج بدرجة حرارة  $(1100)^{\circ}\text{C}$  يتحول طور الكاؤولين إلى طور المولات ب بصورة كاملة وهو الطور الغالب مع وجود نسبة قليلة جداً

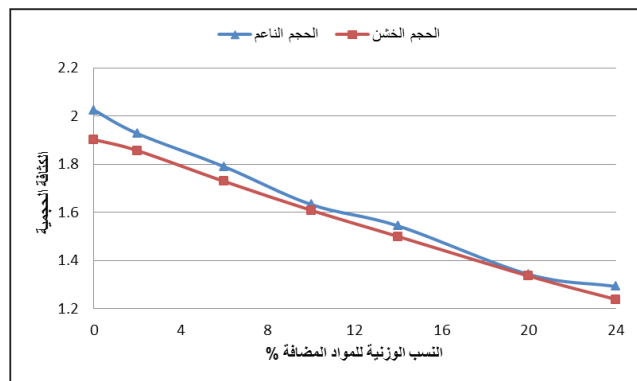
المستخدمة في تصنيع النماذج على قيمة الكثافة الحجمية. نلاحظ من الشكل، ان زيادة نسبة الاضافة للمواد العضوية الى الكاؤولين تؤدي الى نقصان قيمة الكثافة الحجمية وهذا ماتم اثباته في الفقرة التي تختص المسامية الظاهرية. وهذا النقصان في قيمة الكثافة يكون نتيجة تطاير الغازات من هذه المواد العضوية عند احتراقها تاركا ورائها الفراغات او المسامات التي تعمل على التقليل من حجم المادة.

ومن الشكل ايضا يمكن مقارنة قيم الكثافة الحجمية للنماذج المحضرة بالكاؤولين الناعم مع النماذج المحضرة بالكاؤولين الخشن نجد ان بزيادة حجم الكاؤولين تقل الكثافة الحجمية وذلك بسبب زيادة نسبة المسامات المغلقة والمفتوحة وهذا ماتم اثباته في فحص المسامية الظاهرية، وهذا مطابق لدراسة سابقة حيث عزى سبب نقصان الكثافة الحجمية مع زيادة حجم الدقائق الى ان عدد الدقائق في وجدة الحجم سوف تكون اقل من عدد الدقائق في حالة الدقائق الناعمة وبالتالي سوف تكون مسامات كبيرة التي تؤثر بصورة مباشرة على الكثافة الحجمية [11].

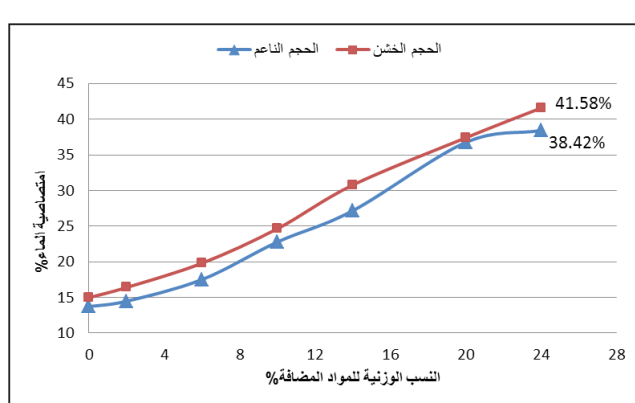
الإضافة، وهذه النتيجة مطابقة الى دراسات سابقة [11,12]. وكذلك يلاحظ من تتبع نفس الأشكال زيادة خاصيتي المسامية الظاهرية ونسبة إمتصاصية الماء مع زيادة الحجم الحبيبي للكاؤولين المستخدم. ان سبب هذه الزيادة يعود الى النقصان الحاصل في كمية الطور الزجاجي المتكون بسبب النقصان في المساحة السطحية وكذلك بسبب زيادة نسبة الفجوات والقنوات المتكونة بين الحبيبات حيث يكبر حجمها كلما كبر حجم الحبيبات، وبالتالي فإن الحجم الكلي للفجوات سوف يزداد مما يؤدي إلى إمتصاص كمية أكبر من الماء [13].



الشكل (5): يمثل علاقة المسامية الظاهرية مع النسب الوزنية للمواد المضافة.



شكل (7): بين علاقة بين الكثافة الحجمية والنسب الوزنية للمواد المضافة.



الشكل (6): يمثل علاقة بين نسبة امتصاصية الماء مع النسب الوزنية للمواد المضافة.

#### 4.6. التقلص الطولي (linear shrinking)

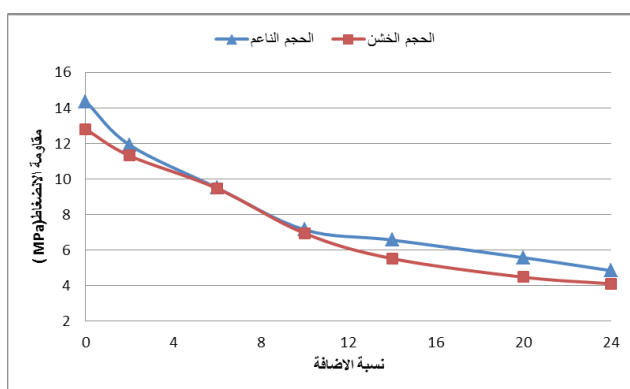
يبين الشكل (8) تأثير نسبة الحجم الحبيبي على مقدار التقلص في النماذج، حيث نلاحظ انخفاض نسبة التقلص الطولي للنماذج مع زيادة الحجم الحبيبي ويعود سبب ذلك

#### 3.6 . الكثافة الحجمية (bulk density)

الشكل (7) يوضح تأثير نسبة المواد المضافة (الفحم والياف الجزر) وكذلك تأثير الحجم الحبيبي لمادة الكاؤولين

مساحة المقطع العرضي وكذلك ان وجود المسامات تؤدي الى تقليل كثافة الجسم وبالتالي تقليل مقاومة الانضغاط، حيث تعتبر المسام هي منطقة تركيز الاجهاد وهذه النتيجة مطابقة مع ما توصل له الباحثون [16].

ومن الشكل نفسه نجد ان زيادة الحجم الحبيبي يؤثر سلبا على قيم مقاومة الانضغاط للنماذج السيراميكية. حيث بزيادة حجم الكاؤولين المستخدم في التصنيع تقل قيمة مقاومة الانضغاط بسبب زيادة المسامية الخاصة في النماذج.



الشكل (9): يبين علاقة بين مقاومة الانضغاط والنسب الوزنية للمواد المضافة.

## 7. الاستنتاجات

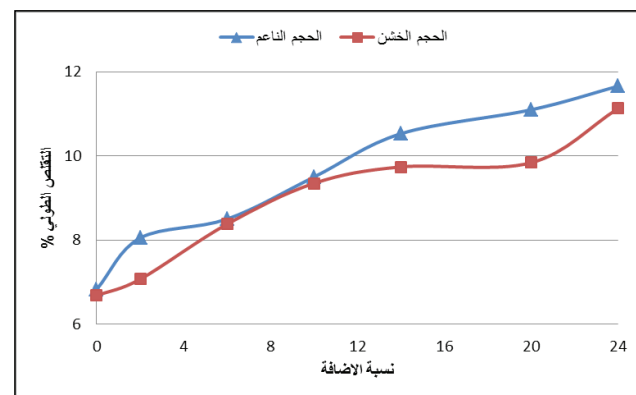
- ان المواد العضوية (الفحم واللياف الجزر) هي مواد جيدة عند احتراقها نحصل على مسامية جيدة تصل الى اكثرب من (50%) في الجسم.
- ان الحجم الحبيبي للكاؤولين المستخدم ونسبة الفحم واللياف الجزر تؤثر على الخواص الفيزيائية والميكانيكية.
- امكانية تصميم مرشحات سيراميكية بمسامية مناسبة وخواص ميكانيكية عالية.

## المصادر

- [1] انسام علي هاشم الحسناوي، (دراسة تأثير تغير نسبة رمل السليكا وحجمه الحبيبي على المسامية الظاهرية ومقاومة الانضغاط للمرشح السيراميكى)، مجلة القادسية للعلوم الهندسية، المجلد 7، العدد 3، (2014).

الى زيادة محتوى الدقائق الناعمة ونقصان محتوى الدقائق الخشنة، وبسبب امتلاك الدقائق الناعمة مساحة سطحية كبيرة فان ذلك سوف يسرع من عملية التلبيد

وحصول ذوبان اكبر للدقائق الناعمة في الجزء السائل المكون والذي يعمل على زيادة الشد السطحي الذي يؤدي الى زيادة التقلص للنماذج، وهذا ماتم تفسيره في دراسة سابقة [14] وهناك عامل مهم آخر يؤثر في التقلص وهو صعوبة خروج وتحرر غاز ثاني اوكسيد الكاربون ( $\text{CO}_2$ ) الناتج من احتراق المواد العضوية وسلبيات الصوديوم في النماذج المحضرة بالكاؤولين الناعم وبالتالي نشوء ضغط داخلي قد يؤدي إلى زيادة التقلص، وبزيادة كمية المادة العضوية المضافة تؤدي إلى زيادة الضغط الداخلي وبالتالي تؤدي إلى زيادة التقلص الطولي. بينما في النماذج المحضرة بالكاؤولين الخشن تسمح بخروج غاز ثاني اوكسيد الكاربون لذلك قيمة التقلص تكون اقل [15].



الشكل (8): يبين علاقة بين التقلص الطولي والنسب الوزنية للمواد المضافة.

## 5.6. مقاومة الانضغاط القطرية (Compressive strength)

الشكل (9) يبين قيم مقاومة الانضغاط (MPa) للنماذج السيراميكية المصنعة باستخدام الكاؤولين الناعم والخشن مع زيادة الاضافة للمواد العضوية كاللياف الجزر والفحم. من الشكل نلاحظ ان قيمة مقاومة الانضغاط تقل بزيادة نسبة المواد العضوية المضافة و ذلك لزيادة المسامات المتكونة بين الجسم السيراميكى كما ذكر افرا والتي تؤدي الى نقصان

- [10] Searle, A.B., and R.W., Grim show, (The chemistry of the thesis of clay and other ceramic material), 3rd (ed.), international publishers, Inc., New York, p 307, (1960).
- [11] Shukur. M. M, Hasson. F. M, Salman. M. M, (Preparation of Porcelanite Ceramic Filter by Slip Casting Technique), Journal of Babylon University/ Engineering Sciences, No. 2, Vol. 22, (2014).
- [12] Erhuanga. E, Kashim. I. B, Akinbogun.T. L ,(Development of Ceramic Filters for Household Water Treatment in Nigeria), Art and Design Review, Vol.2, No.1, 6-10, (2014).
- [13] نوفل زهير وهيب، (تصنيع مرشحات سيراميكية من زجاج الصودا الایم مع الرمل المحلي)، رسالة ماجستير، جامعة بابل، (2008).
- [14] حسين علاء جابر، (تحضير دراسة بعض العوامل على بعض الخصائص الفيزيائية والميكانيكية للسيراميك)، رسالة ماجستير، (2008).
- [15] شذى هاشم مهدي، (دراسة تأثير اضافة السليكا على الخصائص الغزائية لطين البتنونايت العراقي)، مجلة العلوم جامعة النهرین، المجلد 17 العدد(2)، ص-29، (2014).، 22
- [16] Olubayode1.S. A, Awokola.O. S, Dare.E. O, Olateju.O. T, (Suitability of Selected Nigeria Clay Deposit for Production of Clay Based Ceramic Water Filters), American Chemical Science Journal, 12(3): 1-7, Article no.ACSJ.23175 ISSN: 2249-0205,(2016).
- [2] د. عدنان حسن عفج، مازن يوسف تراغا، (تصنيع مرشحات الماء الخزفية من اطيان الكاولين العراقيه)، المجلة العراقية للعلوم، المجلد41ج، العدد(3)، (2000).
- [3] Rahaman, M.N., (Ceramic Processing), CRC Press by Taylor & Francis Group, New York, p 292, (2007).
- [4] Brownell, W.E, (Structural Clay Products), Springer verlag, New York, p 43, (1976).
- [5] Belibi.P. B, Nguemtchouin. M. M. G, Rivallin .M, NdiNsami .J, Sieliechi .J, Cernaux. S, Ngassoum. M.B, Cretin. M, (Microfiltration ceramic membranes from local Cameroonian clay applicable to water treatment), Ceramics International 41, 2752–2759, (2015).
- [6] S. C. Agbo, E. U, Ekpunobi, C. C. Onu and K. G. Akpomie, (Development of Ceramic Filter Candle from NSU (Kaolinite Clay) for Household Water Treatment), International Journal of Multidisciplinary Sciences and Engineering, VOL. 6, NO. 10, (2015).
- [7] Harabi.A, Guechi.A, Condom.S, (Production of Supports and Filtration Membranes from Algerian Kaolin and Lime-stone), Procedia Engineering 33, 220 – 224, (2012).
- [8] القيسى، فوزي عبد العزيز، (تقنيات الخزف والزجاج)، الطبعة الاولى، دار الشروق للنشر والتوزيع، عمان، صفحة ، 236، (2003).
- [9] Singer, F. & Singer, S., (Industrial-Ceramic), Chapman and Hall Ltd, Published,p.1455, (1979).

---

.....

## تنقية إنزيم الأنولينيز المنتج من عزلة محلية من الخميرة

### ***Kluyveromyces marxianus AY2***

محمد عمر محي الدين وجاسم محمد عودة

علوم الأغذية، كلية الزراعة، جامعة بغداد، العراق

تاريخ الاستلام: 2017 / 1 / 5

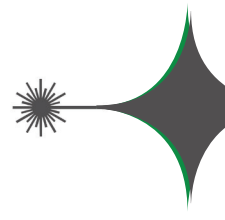
تاريخ قبول النشر: 2017 / 5 / 17

#### **Abstract**

The enzyme produce from *Kluyveromyces marxianus AY2* by submerged culture was purified by several steps included precipitation by ammonium sulphate at (30-70%) saturation DEAE- sephadex A50 Ion exchange chromatography and gel filtration on sephadex G150. The final purification folds and the yield of the enzyme were 16.97 times and (25.3%), respectively.

#### **Keywords**

Enzyme, Inulinase, Inulin, Purification



## الخلاصة

أنتج أنزيم الانيلينيز بطريقة المزارع المغمورة من الخميرة المحلية *Kluyveromyces marxianus* AY2 ونقى الانزيم بعدة خطوات اشتملت على الترسيب بكبريتات الأمونيوم بنسبة إشباع (30%-70%) وكروماتوكرافيا التبادل الأيوني بعمود DEAE Sephadex A (5) ثم الترشيح الهمامي في Sephadex G150 (25.3%). وبلغ عدد مرات التنقية بعد هذه الخطوات (16.97) مرة وبمحصيلة مقدارها (25.3%).

## الكلمات المفتاحية

أنزيم، الانيلينيز، الانيلين، التنقية.

فيها يمثل (60%) وزنها الجاف [9] وغيرها من النباتات الأخرى [10] ويمكن كسر الاواصر الرابطة بين وحدات الفركتوز بطريقة كيميائية وذلك باستعمال حرارة عالية (غليان) في رقم هي دروجيني بحدود (1-2). وهي طريقة غير مرغوبة في الصناعات الغذائية وذلك لاحتمالية إنتاج مركبات أخرى مثل مركبات الفورفورال [11]، من هنا فإن التحلل الأنزيمي باستعمال الانولينيز يعد هو الأفضل في هذا المجال فضلاً عن مجالات التقنية الحيوية إذ وجد [12] أن خيرة *Saccharomyces cerevisiae* تتوجه نحو إيثانول بكمية أكبر عند تنبئتها على الأنولين المتخلل بالطريقة الأنزيمية مقارنةً بالأنولين المتخلل بالطريقة الكيميائية. تفضل الطريقة الأنزيمية لأسباب أخرى منها كلفتها الواطنة وكفاءتها العالية في إنتاج الفركتوز بتركيز يصل إلى (95%). وذلك باستعمال الانولينيزات المنتجة من الأحياء المجهرية، ويمكن استعمال الأنولينيز الداخلي E.C 3.2.1.7 في تكسير الأنولين إلى وحدات أصغر تسمى (IOS)-inulo-oligosaccharides والتي تدخل في مختلف الصناعات الغذائية كأغذية وظيفية (FF) و ذلك Functional Foods لأن تأثيراتها الإيجابية في جسم الإنسان، ومساهمتها في الوقاية من سرطان القولون. كما تعد من المحفزات الأولية [13] prebiotics. ومن الاستعمالات الطبية للأنانولينيز هو استعماله في فحص وظائف الكلى.ويرى بعض الباحثين أن للأنولينيز المفرز من الأحياء المجهرية تأثيراً مثبتاً للخلايا السامة (5).

هدفت دراستنا الحالية إلى تنقية الانزيم بعدة خطوات  
للغرض التخلص من الملوثات الأخرى معه لغرض اعداده  
للدراسة مواصفات الانزيم واستخدامه لاحقاً في صناعات محلية

## 2. المواد وطرق العمل:

(جميع المواد الكيميائية مجهزة من شركة oxford)

تضاف المحليات الطبيعية أو الصناعية Natural and Ar-tificial sweeteners إلى العصائر والمشروبات والمعجنات والحلويات وعدد من الأغذية، ولاسيما أغذية الأطفال، إذ يفضل الطفل الطعام حلو المذاق، وقد حذررت منظمة الصحة العالمية (WHO) من مخاطر عدد كبير من هذه المحليات الصناعية وذلك لعلاقتها ببعض الأمراض مثل السرطان وتضرر خلايا المخ (brain cell damage) [1,2].

ويستخدم السكروز (سكر المائدة) محلياً طبيعياً بشكل كبير في الصناعات الغذائية إلا أن الطلب قد إزداد في العقود الأخيرة على الفركتوز Fructose وذلك لأنه أكثر ذوباناً من السكروز، وحلاؤته عالية تبلغ (174٪) مقارنة بالسكروز (100٪) والكلوکوز (74٪). وبذلك أمكن استعماله ك محلٍ بكميات قليلة وبسرعات حرارية واطئة في ذلك المتوج، وهو أمر مهم لمن يعاني من السمنة [3]. ويطلب التمثيل الغذائي للفركتوز كميات أقل من الانسولين مقارنة بالكلوکوز [4] كما يسهم الفركتوز في زيادة إمتصاص الحديد في الجهاز الهضمي للأطفال، كذلك زيادة قدرة الجسم في التخلص من الإيثانول [5]. ينتج الفركتوز بالطريقة التقليدية بتحويل النشا إلى الفركتوز بثلاث خطوات أنزيمية باستعمال الأميليز Amylase والكلايکواميليز Glucoamylase وكلوکوز ايسوميريز Glucose isomerase. ويكون الناتج حاوياً على فركتوز و (50٪) كلوكوز و (8٪) سكريات أخرى، (42٪)

كما هو الحال في منتج شراب الذرة عالي الحلاوة. والذي يستخدم في مختلف الصناعات الغذائية [7,6]. يمكن الحصول على الفركتوز النقي وبتركيز يصل إلى (95%) وذلك عند أنتاجه أنتريميأً من الانزيولين [8] الذي يوجد في عدد من النباتات مثل الهندباء والاسباركس والشوفان والشعير والثوم أضافة إلى الالمازه والتي تمتاز بان الانزيولين

مل من محلول المادة الأساسية في حمام مائي بحرارة (30°C) وأستمر التفاعل مدة (10) دقائق، بعد ذلك أضيف (1) مل من (DNSA) ثم وضعت الأنابيب في حمام مائي مغلي مدة (10) دقائق. بردت مباشرة بالماء. أضيف (10) مل الماء المقطر وقيست الامتصاصية على (540) نانو وبالرجوع إلى المنحنى القياسي للفركتوز تم استخراج السكريات المختلفة والمتقدرة بفعل الإنزيم على المادة الأساسية (الانيولين) ومنها تم تقدير فعالية الإنزيم: عرفت وحدة الفعالية (Unit):- بأنها كمية الإنزيم التي تحرر (1) ميكرو مول من الفركتوز في الدقيقة الواحدة تحت ظروف التجربة.

(اجريت هذه الدراسة في مختبرات قسم علوم الأغذية - كلية الزراعة - جامعة بغداد)

### 1.2. إنتاج الإنزيم:

استعملت طريقة المزارع المعمورة لإنتاج الإنزيم، إذ لقحت دوارق زجاجية سعة (300) مل حاوية على (100) مل من الوسط

Inulin yeast extract- Peptone broth IYP

وحضـر بإذابة (2) غـم من الـانيـولـين مع (5) غـم من خلاصـة الـخمـيرـة (5) غـم من الـبيـتوـنـ في (1000) مـل من المـاءـ المقـطـرـ وـضـبـطـ الرقمـ الهـيدـروـجيـنيـ على 5 ثم عـقمـ بالـمـؤـصـدـةـ. لـقـحـ بالـخـمـيرـةـ (تمـ عـزـلـهـ فيـ درـاسـةـ سابـقـةـ) Kluyveromyces AY2

*marxianus*

(10<sup>6</sup>) خلية / مل من الوسط، وحضرت في حاضنة هزازة بدرجة حرارة (30) °C مدة (24) ساعة وبسرعة (150) دورة / دقيقة. ثم فصلت الكتلة الحيوية عن الوسط بالبنـدـ المـرـكـزـيـ المـبرـدـ عـلـىـ سـرـعـةـ (30) g×4000(مـدـةـ (4) مـ). وأهـمـلـ الرـاسـبـ وـعـدـ الرـاشـحـ المستخلص الخام للإنزيم.

### 2. محلول المادة الأساسية:

حضر هذا محلول بتركيز (3%) بإذابة (3) غـم من الـانيـولـينـ فيـ كـمـيـةـ قـلـيلـةـ منـ مـحـلـولـ دـارـئـ الـخـلـاتـ برـقـمـ هـدـرـوـجـيـنيـ 5ـ وـبـرـكـيـزـ (0.2)ـ مـوـلـارـيـ فيـ دـورـقـ حـجمـيـ سـعـةـ (100)ـ مـلـ وـأـكـمـلـ الـحـجـمـ إـلـىـ الـعـلـامـةـ بـالـمـحـلـولـ الدـارـئـ نفسـهـ، واستعمل مـادـةـ أـسـاسـ لـتـقـدـيرـ الفـعـالـيـةـ.

### 3.2. تقدير فعالية الإنزيم:

أتبـعـ الطـرـيـقـةـ المـذـكـورـةـ منـ [14]ـ فيـ تـقـدـيرـ فـعـالـيـةـ الأـنـزـيمـ بـطـرـيـقـةـ كـاـشـفـ حـامـضـ (3,5)ـ ثـنـائـيـ نـاـيـتـرـوـ (DNSA)~ dinitro salicylic acid (3,5-)ـ إـذـ أـضـيـفـ (0.1)ـ مـلـ مـنـ الـمـسـتـخـلـصـ الأـنـزـيمـيـ إـلـىـ (0.9)

### 4.2. تقدير تركيز البروتين:

أتبـعـ طـرـيـقـةـ [14]ـ فيـ تـقـدـيرـ الـبـرـوـتـيـنـ وـبـاستـعـمالـ Bovine Serumـ محلـولـ الـبـوـمـينـ الـمـصـلـ الـبـقـريـ G-250 brilliant blueـ (Albuminـ وـمـحـلـولـ الصـبـغـةـ Commassieـ)ـ فيـ اـعـدـادـ الـمـنـحـىـ الـقـيـاسـيـ وقدـرـتـ تركـيزـ الـبـرـوـتـيـنـ فيـ النـادـجـ بـنـقلـ (0.1)ـ مـلـ مـنـ الـمـحـلـولـ الأـنـزـيمـيـ إلىـ (1)ـ مـلـ مـنـ الصـبـغـةـ وـمـزـجـتـ جـيدـاـ وـتـرـكـتـ (5)ـ دقـائقـ بـحـرـارـةـ الغـرـفـةـ وـقـيـسـتـ الـإـمـتـصـاصـيـةـ عـلـىـ (595)ـ نـانـوـ. قـدـرـ

ترـكـيزـ الـبـرـوـتـيـنـ إـعـتـمـادـاـ عـلـىـ الـمـنـحـىـ الـقـيـاسـيـ الذـيـ تمـ إـعـدـادـهـ كـمـاـ فيـ الـفـقـرـةـ المـذـكـورـةـ آـنـفـاـًـ. أـمـاـ مـحـلـولـ الـكـفـاءـ (الـسـيـطـرـةـ)ـ فـحـضـرـ بـالـخـطـوـاتـ نـفـسـهـاـ، بـإـسـتـشـاءـ استـعـمالـ الـمـاءـ المقـطـرـ بـدـلاـ منـ الـمـحـلـولـ الأـنـزـيمـيـ.

### 5.2. تنقية الإنزيم:

أجـريـتـ عمـلـيـةـ التـنـقـيـةـ لـأـنـزـيمـ الـانـيـولـينـيـزـ مـنـ عـزلـةـ الـخـمـيرـةـ المـنـتـخـبـةـ وـذـلـكـ بـتـرـكـيزـ الـأـنـزـيمـ بـوـسـاطـةـ كـبـرـيـاتـ الـأـمـونـيـومـ ثـمـ كـرـوـمـوـتـوـكـرـاـفـياـ التـبـادـلـ الـأـيـونـيـ أـعـقبـهاـ كـرـوـمـوـتـوـكـرـاـفـياـ التـرـشـيـحـ الـهـلـامـيـ وـفـيـماـ يـأـتـيـ مـلـخـصـ لـكـلـ مـنـ هـذـهـ الـخـطـوـاتـ:

التفریغ ثم عبأ في عمود بأبعاد  $(28 \times 1.5)$  سم وتمت موازنته بمحلول الفوسفات الدارئ أيضاً.

### 6.2. طريقة العمل:

مرر محلول الأنزيم المركز بطريقة كبريتات الأمونيوم على عمود المبادر الایوني السالب DEAE – Sephadex A50 عمود المبادر الایوني السالب (30) مل / ساعة بواقع (2.5) مل للجزء الواحد. عند وصول الامتصاصية على طول موجي (280) نانوميتر إلى الصفر (Base line) جرت عملية الاسترداد للبروتينات المرتبطة على المبادر الایوني بوساطة بمحلول الفوسفات الدارئ لمحلول فوسفات البوتاسيوم الدارئ مذاب فيه كلوريد الصوديوم بتركيز (0.5) مولار وبرقم هيدروجيني 6. بأسلوب التدرج الملحي بتركيز ملحي متدريجة من (0-0.5) مولار.

تمت متابعة الامتصاصية على طول موجي (280) نانوميتر للأجزاء المفصولة من مرحلتي الغسل (Wash) والإسترداد (Elution) كما قدرت الفعالية لتلك الأجزاء، جمعت الأجزاء الفعالة وقيس حجمها وقدرت فعاليتها وتركيز البروتين فيها، وركزت هذه الأجزاء بوضعها داخل كيس ديلزة ورشها بهادة السيفادكس لتهيئتها للخطوة اللاحقة.

### 1.6.2. كرومتوکرافيا الترشيح الملحمي:

#### 2.6.2. تحضير هلام السيفادكس Sephadex G150

حضر هلام السيفادكس Sephadex G150 على Sephadex G150 وفقاً لتعليمات الشركة المجهزة (Chemicals) Phar- (Chemicals) macia Fine بتعليق (20) غم من مسحوق السيفادكس في (500) مل من الماء المقطر ووضع في حرارة (85-90) م° مدة (5) ساعات، ثم غسل بمحلول الفوسفات الدارئ مرتين، بعدها علق بكمية مناسبة من محلول ذاته، وإزالت

### 1.5.2. التركيز بكبريتات الأمونيوم

أجريت عملية التركيز باستخدام نسب مختلفة من كبريتات الأمونيوم لتحديد نسبة الإشباع المثل لتركيز محلول الأنزيمي الخام، فوجد إن نسبة الإشباع المثل تقع بين (30%-70%). وتمت إضافة كبريتات الأمونيوم في حام ثلجي مع مزج مستمر، ثم أخضع محلول للنبذ المركزي بسرعة (30) دقيقة (g $\times$  10000) ملدة (30) دقيقة، أعقبتها عملية الديلزة للليلة كاملة تجاه الماء المقطر. قدر حجم محلول وفعالية الإنزيم وتركيز البرتين.

### 2.5.2. كرومتوکرافيا التبادل الایوني

محلول حامض الهيدروكلوريك بتركيز (0.5) مولار. محلول هيدروكسيد الصوديوم بتركيز (0.5) مولار. محلول فوسفات البوتاسيوم الدارئ بتركيز (0.05) مولار وبرقم هيدروجيني (6). محلول فوسفات البوتاسيوم الدارئ - كلوريد الصوديوم بتركيز (0.5) مولار وبرقم هيدروجيني (6).

### 3.5.2. المبادر الایوني ثنائي اثيل امينو اثيل سيفادكس DEAE Sephadex A50

حضر المبادر الایوني السالب Anion Exchange المجهز من شركة (Pharmacia) السويدية طبقاً لما ذكره [14] بتعليق (20) غم منه في (500) مل ماء مقطر مع التحريك المستمر داخل أسطوانة مدرجة وترك ليركد. غسل عدة مرات لإزاحة الدقائق الطافية حتى أصبح السائل العلوي رائقاً، ثم علق في محلول حامض الهيدروكلوريك بتركيز (0.5) مولار أعيد غسل المبادر بالماء المقطر لحين التخلص من محلول السابق. ثم علق بمحلول هيدروكسيد الصوديوم بتركيز (0.5) مولار وتم غسله بالماء المقطر عدة مرات، بعدها تم موازنته بمحلول الفوسفات الدارئ بتركيز (0.05) مولار وبرقم هيدروجيني (6) أجريت عملية إزالة الغازات Degassing بإستخدام مضخة

كلفته مقارنة بالمذيبات العضوية [15] الترسيب بالأملاح بفعل معادلة الشحنات الموجودة على سطح البروتين والإخلال بطبيعة الماء المحيطة بجزيئات البروتين، إذ يؤدي ذلك إلى ما تعرف به Salting out [14] أضيفت كبريتات الأمونيوم بنسبة إشباع (30-70%) وجمع الراسب الناتج من

الطرد المركزي واذيب في محلول الفوسفات الدارئ وتتم ديلزره تجاه الماء المقطر وقيس حجمه وفعالية الأنزيم وتركيز البروتينات فيه وحققت هذه الخطوة تنقية للأنزيم بلغت 2.05 مرة وبتحصيله مقدارها (59%) وكماوضح في الجدول (1).

### 2.3. كروماتوكرافيا التبادل الأيوني والترشيح الهمامي:

أعقب تركيز الأنزيم بكبريتات الأمونيوم خطوة كروماتوكرافيا التبادل الأيوني إذ مرر محلول الأنزيمي المركز (بعد ديلزره ليلة واحدة) على عمود التبادل الأيوني (A50) DEAE Sephadex والموازن بمحلول فوسفات البوتاسيوم

الدارئ بتركيز (0.05) مolar ورقم هيدروجيني (6).

تم قياس الامتصاصية على طول موجي 280 نانومتر للأجزاء غير المرتبطة بالمبادل وعند وصول الامتصاصية إلى الخط الصفرى (Base line) أجريت عندئذ عملية الإسترداد للأجزاء المرتبطة بالمبادل باستخدام أسلوب التدرج الملحي الخطى ((Linear salt gradient)) لكloride الصوديوم بتراكيز تراوحت (0-0.5) مolar في محلول فوسفات البوتاسيوم الدارئ بتركيز (0.05) مolar ورقم هيدروجيني 6 الشكل رقم (1).

جدول (1): خطوات تنقية أنزيم الانولينيز المنتج من الخميرة *Kluyveromyces marxianus AY2*

الخطوة	الحجم (مل)	الفعالية (وحدة/مل)	تركيز البروتين (ملغم/مل)	الفعالية النوعية (وحدة/ملغم)	الفعالية الكلية (وحدة)	عدد مرات التنقية	الحصيلة %
المستخلص الخام	100	3.81	0.44	8.65	381.2	1	100

عنه الغازات Degassing) وعبأً في العمود ليعطي هلاماً بأبعاد  $(40 \times 1.5)$  سم وأجريت موازنة العمود بمحلول الفوسفات الدارئ المذكور.

### 7.2. إضافة النموذج والإسترداد:

مرر محلول الإنزيمي المركز من خطوة التبادل الأيوني على عمود الترشيح الهمامي Sephadex G150 وتم إسترداد الأنزيم بواسطة محلول الفوسفات الدارئ بسرعة جريان مقدارها (12) مل / ساعة. تمت متابعة الامتصاصية للأجزاء المفصولة على الطول الموجي (280) نانومتر، فضلاً عن تقدير فعالية الإنزيم. جمعت الأجزاء الفعالة وقيس حجمها وقدرت فعاليتها وتركيز البروتين فيها، ثم ركزت بواسطة جهاز التجفيف ووزعت في عدد من أنابيب الاختبار وحفظت بالتجميد لغرض إجراء التجارب المتعلقة بتوصيف الإنزيم.

### 3. النتائج والمناقشة

#### 1.3. تركيز الأنزيم

إنتاج أنزيم الانولينيز تحت الظروف المثلية المذكورة في الفقرات السابقة. واخضع المستخلص الأنزيمي الخام لسلسلة من خطوات التنقية تمثلت الخطوة الأولى بتركيز الأنزيم للتخلص من نسبة كبيرة من الماء وأستخدم لهذا الغرض كبريتات الأمونيوم في ترسيب البروتينات، لما تتميز بها من خصائص مرغوبة كالذائبية العالية ، وتوفره، وقلة

59	2.05	224.9	17.77	0.602	10.70	21	التركيز بكبريتات الأمونيوم بنسبة 70%-30% إشبع
34.2	5.55	130.37	48.05	0.113	5.43	24	التبادل الأيوني AESEphadex A50
25.3	16.97	96.44	146.82	0.041	6.02	16	الترشيح اللامامي Sephadex G150

Sepha- البروتينات على عمود الترشيح اللامامي في عمود dex G100 ليجد قمتين بروتينيتين كانت إحداهما تمثل (23.5) الأنزيم وحصل على عدد مرات تنقية مقدارها (23.5) وبمحصيلة أنزيمية (69.3%).

فيما يستخدم [17] كبريتات الأمونيوم وبنسبة (80%) لترسيب الأنزيم المنتج من *Ulocladium atrum* اعقبها DEAE cellulose فرادت النقاوة بمقدار (2.65) مرة. Streptomyces sp فيها قام [18] بتتنقية الانولينيز من Macro- (40-80%) ومن ثم بتمرير الناتج على العمود (S-200) Sephacryl Prep DEAE وعلى العمود t-Butyl hydrophobic in- teraction وانهياراً استخدم عمود t-Butyl hydrophobic in- teraction فحصل في نهاية هذه الخطوات على حصيلة مقدارها (44.4) وكانت عدد مرات التنقية (5.4) مرة. كذلك قام [19] بتتنقية الانولينيز المنتج من الفطر Asper- gillus niger إذ رسب البروتينات باستخدام الكحول الايثيلي (70%) ومن ثم التبادل الأيوني على عمود DEAE cellulose وحصل على ثلاثة صور للأنزيم احدهم كان قد تواجد في احدى القمم البروتينية في مرحلة الغسل (W) وقمتين للفعالية في مرحلة الاسترداد ( $A_1, A_2$ ) اهم الصورة إذ كانت ذات فعالية ضعيفة ومرر (W) على الترشيح اللامامي مرتين باستخدام عمود (G150) Kluyveromyces marxianus- 1 وحصل على حصيلة أنزيمية لكتلتها بلغت (22.5%).

ولوحظ خلو القمم التي ظهرت في الأجزاء غير المرتبطة بالمبادل (أجزاء الفصل) من الفعالية الأنزيمية تماماً ما يؤكد إرتباط الأنزيم بالمبادل الأيوني السالب، وان محصلة الشحنات المحمولة على الأنزيم في الظروف المستخدمة هي شحنات سالبة والأجزاء المرتبطة فد أعطت قمة واحدة ذات فعالية أنزيمية من دون القمم الأخرى. جمعت أجزاء هذه القمة واحتسب حجمها وفعالية الأنزيم وتركيز البروتينات فيها، فلوحظ إرتفاع عدد مرات التنقية إثر هذه الخطوة إلى (5.55) مرة وبمحصيلة أنزيمية بلغت (%) (34.2) وكما موضح بالجدول (1).

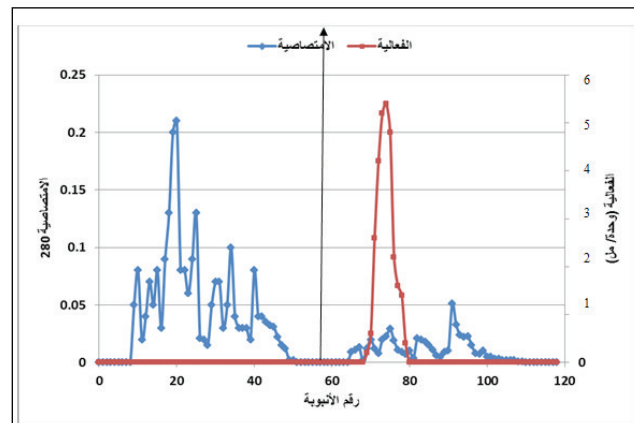
استكملت التنقية بخطوة أخرى هي خطوة الترشيح اللامامي على عمود (G150) Sephadex إذ جرى موازنة العمود والاسترداد بمحلول فوسفات البوتاسيوم الداري بتركيز (0.05) مolar برقم هيدروجيني (6). ارتفع عدد مرات التنقية إثر هذه الخطوة إلى (16.97) مرة وبمحصيلة أنزيمية مقدارها (25.3%). ويلاحظ من الشكل (1) أن الأجزاء المستردة تضمنت ست قمم بروتينية واحدة لفعالية الأنزيم كانت متطابقة مع قمة البروتين الثالثة ويعود هذا أحد دلائل نقاوة الأنزيم [14]

ويذكر أن الخطوات المستخدمة لتنقية الأنزيم في المراجع العلمية على درجات عالية من التنوع فقد نقى [16] الانولينيز المنتج من *Kluyveromyces marxianus-* 1 بخطوتين تتمثلت باليثانول أعقبها تمرير

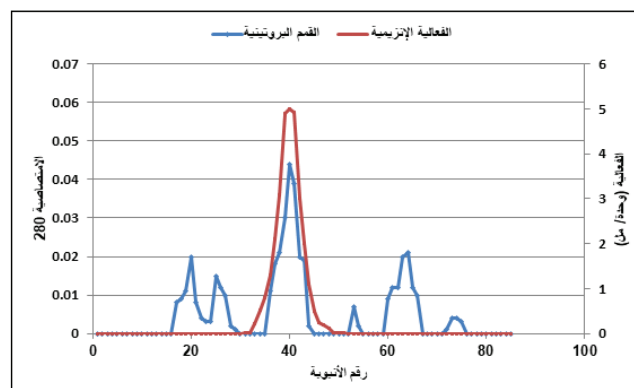
لتنقية الأنولينيز من *Staphylococcus aureus* إشتملت على الترسيب بكبريتات الأمونيوم بنسبة إشباع (70%)، ومن ثم مرر الناتج على عمود DEAE-Sephadex A50 فظهرت لديه ثلاثة قمم بروتينية، إحداها كانت ذات فعالية، أخضع ناتج هذه القمة للترشيح الهمامي باستعمال Sephadex G100 وحصل على قمة بروتينية واحدة تتطابق مع الفعالية وبمحصيلة أنزيمية مقدارها (21%). وعدد مرات تنقية بلغت (31.63) مرة. في حين إستخدم *A. fumigates* أربع خطوات لتنقية الأنولينيز المنتج من شملت الترسيب بكبريتات الأمونيوم ومن ثم التبادل الأيوني بواسطة DEAE Sephacel - أعقبها الترشيح الهمامي Sepharose 6B ومن ثم Sephacryl S (200) باستعمال وحصل على عدد مرات تنقية بلغت (25) مرة. كما إستخدم *Penicil lum janczewskii* [5] أربع خطوات لتنقية الأنولينيز المنتج من كبريتات الأمونيوم بنسبة إشباع (30-80٪) وحصل على عدد مرات تنقية بلغت (1.75) وبعد الديلازة مرر الخليط على عمود المبادل الأيوني MonoQ وحصل على قمتين بفعالية واضحة، لتبلغ عدد مرات التنقية للأولى (0.7) والثانية (1.8)، ثم إستخدم عمود Butyl-Toyopearl وللقمتين البروتينيتين (الأنزيم) كلاً على حده لتبلغ عدد مرات التنقية لها (1.7) و(6) على التوالي. ومن ثم مررها على عمود الترشيح الهمامي HR Superose (12) لتبلغ عدد مرات التنقية لها (15 و 24) على التوالي. في حين نقى *Aspergillus niveus* [23] الأنولينيز من خطوات إبتدأها بالترسيب بكبريتات الأمونيوم فحصل على عدد مرات تنقية بلغت (2.63) وبمحصيلة أنزيمية مقدارها DE-52٪، ومن ثم إستخدام المبادل الأيوني DE-52 فظهرت لديه عدد من القمم البروتينية، بيد أن قمة بروتينية واحدة تتطابقت مع الفعالية، ومررت حصيلة هذه القمة

كذلك استخدم [20] عمود التبادل الأيوني DEAE cel lulose والترشيح الهمامي باستخدام عمود (G150) وحصل على عدد مرات تنقية بلغت (8.1) وبمحصيلة أنزيمية مقدارها (33.5%).

فيما قام [21] بتنقية الأنولينيز المكلون في خميرة *Pichia* من *Cryptococcus aureus HTA pastoris* بخطوة واحدة باستخدام كرومتوغرافي الآلفة باستخدام عمود Ni-NTA وبلغت عدد مرات التنقية (2.13) مرة وبمحصيلة أنزيمية مقدارها (56%).



شكل (1): كرومتوغرافيا التبادل الأيوني لتنقية الأنولينيز المنتج من خميرة *Kluyveromyces marxianus AY2* باستخدام عمود DEAE-Sephadex A50



شكل (2): الترشيح الهمامي لتنقية أنزيم الأنولينيز المنتج من خميرة- *Kluyveromyces marxianus AY2* باستخدام عمود Sephadex G150 ويدرك أن الباحثين قد إعتمدوا خطوات متباينة وتقنيات مختلفة لتنقية هذا الأنزيم أو ذاك من الأنزيمات الصناعية أو الطبيعية ومنها أنزيم الأنولينيز. فقد إتبع [10] ثالث خطوات

- (2014).
- [2] Treichel, H.; Mazutti, M.A. ; Filho, F. M. and Rodrigues, M.I. Technical viability of the production,partial purification and characterisation of inulinase using pre-treated agroindustrial residues. *Bioprocess Biosyst Eng.*
- [3] Yuan, B. ; Hu, N. ; Sun, J. ; Wang, S. A. and Li, F.L. Purification and characterization of a novel extracellular inulinase from a new yeast species *Candida kutaonensis* sp.nov.KRF1T. *Applied Microbiology and Biotechnology.* 1517-1526. .(2012)
- [4] Rocha, J.R.; Catana, R.; Ferreira, B.S.; Cabral, J.M.S. and Fernandes, P. Design and characterization of an enzyme system for inulin hydrolysis. *Food Chemistry.* 95: 77-82. (2006).
- [5] Pessoni, A. B. and Rosmeire, A. Purification and properties of exo-inulinases from *penicillium janczewskii* growing on disrinct carbon source. *J. Mycologia.* 99(4): 493-503. (2007)
- [6] Pandey, A. ; Soccol, C.R. ; Selvakumar, P. ; Soccol, V.T. ; Krieger, N. and Fontana, J.D. Recent developments in microbial inulinases, *Applied Biochemistry and Biotechnology.* (81): 35-52. (1999)
- [7] Gurjeet, S. B. ; Maheshwari, S. and Bedi, M. K. Influence of variable agitation and aeration on inulinase production from *Kluyveromyces marxianus*. *Inter J of Biotech* (112): 350-357. (2014).
- على عمود الترشيح اللامي Sephadex G75 ليبلغ عدد مرات التنقية (34.65) مرة وبمحصيلة أنزيمية مقدارها (53.63%). وأعتمد الباحث [24] ثلاث خطوات أيضاً لتنقية أنزيم الأنولينيز المنتج من- Rhizoctonia so- lani، كانت الأولى باستعمال الديلزة والتركيز بوساطة هلام السليكا ثم مرر الخليط على عمود DAEA-Cellulose وحصل على عدد مرات تنقية بلغ (5.21) وبمحصيلة أنزيمية مقدارها (17.93%)، بعدها مرر الناتج على عمود Sep- hadex G150 فحصل على عدد مرات تنقية بلغ (21.2) وبمحصيلة أنزيمية مقدارها (11.67%). كما إستخدم [25] ثلاثة خطوات لتنقية الأنولينيز (4083) *A. terreus* CCT شملت الترشيح الفائق كخطوة أولى، أعقبها التبادل الأيوني باستعمال عمود CM-Sepharose ومن ثم باستعمال عمود Phenyl-Sepharose كخطوة أخيرة، فحصل على عدد مرات تنقية بلغت (179) مرة وبمحصيلة أنزيمية مقدارها (32%). في حين مرر (26) الأنزيم من *Bacillus cereus* بخطوتين للتنقية تمتلك بكبريات الامونيوم بنسبة اشباع (80%) وتبادل ايوني على عمود DAEA-Cellulose وبمحصيلة وحصل على عدد مرات تنقية بلغت (25) مرة وبمحصيلة انزيمية مقدارها (27.26%). ولابد من الإشارة أن درجة النقاوة التي يتولى الباحثون الوصول إليها بالنسبة للأنزيمات التجارية، تختلف بإختلاف الأغراض التي تستخدم فيها هذه الأنزيمات والتي تتباين بين الاستعمالات الطبية والصناعية.
- ### المصادر
- [1] Bedi, G.S.; Bedi, M.K. and Bedi, A. Effect of Intermittent Dosing on Production of inulinase from dahlia tubers using *Kluyveromyces marxianus* . *World Jou of Phar and Pha sciences.* 3 (7) :716-723,

- [14] Bradford,M.M. A rapid and sensitive method for the quantitation of microgram quantities of protein utilizing principles of protein dye binding. Analytical. Bioch. (72):248-254. (1976).
- [15] Volesky, B. and Luong, I. Microbiol enzymes productions, purification and isolation. CRc (Critical Reviews in Biotechnology) . 2: 119-146. (1985).
- [16] Singh, P. and Gill, P.K. Production of Inulinases Recent Advances. Food Technol. Biotechnol. 44 (2):151-162. (2006)
- [17] El-souod, S.M .A. ; Mohamed, T.M. ; Enab, M.M. Partial Purification of extracellular exo-inulinase from Ulocladium atrum. J of Genetic Engin and Biotech 12 (15): 15-20. (2014).
- [18] Laowklom, N. ; Chantanaphan, R. ; and Pinphanichakarn, P. Production Purification and Charaterization of Inulinase from A newly Isolated Streptomyces sp.CP01. Natural Resourcse . (3): 137-144. (2012).
- [19] الطوييري، ناجح هاشم كاظم .انتاج وتنقية وتصنيف الانولينيز من الفطر Aspergillus ni- ger المعزول محليا .اطروحة دكتوراه كلية الزراعة - جامعة البصرة ( 2011 )
- [20] عبد الامير، زينب وليد.انتاج وتصنيف إنزيم الانولينيز المتاح من العفن Aspergillus niger بواسطة تخمرات الحالة الصلبة .اطروحة دكتوراه كلية العلوم -جامعة بغداد. ( 2008 )
- [21] Cao, T.S. ; Wang, G.Y.; Chi, Z.; wang, Z.P and Chi, Z.M. Cloning, characteriza-
- [8] Harisingh ; Hement, G and Harisingh . production and prorpties of inulinase from penicillium sp.NFCC 2768 grown on inulin-rich vegetal infusions. Bioc Biotran (13):1-8. (2015)
- [9] Jing, Y.; Jiaxi, J.; wangming; J. and Yuyang, L. glucose-free fructose production from Jerusalem artichoke using a recombinant inulinase -secreting saccharomyces cerevisiae strain. Biotech let (33): 147-152. (2011)
- [10] Sahira , N. M. Cytotoxic effect of the purified inulinase from locally Isolate Staphylococcus aureus on Hep-2cancer cell line in vitro. J if Bio. Agriu and health. 4 (25): 1-7. (2014).
- [11] Zhang, S. ; Yang, F. ; Wang, Q. and Zongbao, K.Z. High-level secretory expression and characterization of the recombinant Kluyveromyces Marxianus inlunase. J. Process Biochemistry (47) :151-155. (2012) .
- [12] Lim, S. H.; Ryu, J.M.; Lee, H.; Jeon, J.H.; Sok, D.E. and Choi, E.S. Ethanol fermentation from Jerusalem artichoke powder using Saccharomyces cerevisiae KCCM50549 without pretreatment for inulin hydrolysis. Bioresource Technology. (102): 2109-2111. (2011)
- [13] Chi Z.; Chi Z.; Zhang T.; Liu G. ; and Yue L. Inulinase-expressing microorganisms and applications of inulinases, Appl. Microbiol. Biotechnol.( 82): 211-220. (2009)

- tion and heterologous expression of the 1NU1 gene from *Cryptococcus aureus* HYA .J. Gene(516) :255-262. (2013)
- [22] Gill, P. K. ; Manhas, R.K. ; Singh, J. and Singh, P. Purification and characterization of an Exoinulinase from *Aspergillus fumigatus*. Applied Biochemistry and Biotechnology. 117(1): 19-32. (2004).
- [23] Motta, C. M.S.; Cavalcanti, M.A. D. and Porto, F.L .A. *Aspergillus nivrus* Bloch-witz 4128URM: New Source for inulinase production. J.Brazilian Archives of Biology and Tech.(3)343-350. (2005)
- [24] Ertan, F.; Sanal, E.; Ayesegul, C. and Tulin, K. (2005). Some properties of Inulnase from *Rhizoctonia Solani*. J. of Biological Sci. 5(3): 330-334.
- [25] Coitinho, J.B. ; Valeria, M. ; and Daniel, L. Characterization of am Exoinulinase Product by *Aspergillus terreus* CCT 4083 Grown on Sugar Cane Bagasse. J. Agric. Food Chem. (58) :8386-8391. (2010)
- [26] Meenakshi, S.; Umayaparvathi, S.; Manivasagan, P.; Arumugam, M .; and Balasubramanian, T. Purification and characterization of inulinase from marine bacterium *Bacillus cereus* MU-31. Ind .J. Geo-Marine Sci. 42 (4): 510-515. (2013).

.....

## خصائص نقل الالكترون خلال نقطتين كميتين مقتربتين: تأثير التفاعل غير المباشر

\* جنان مجید المخ، \*\*هيفاء عبد النبي جاسم، \*\*\*محمد عبد الزهرة نجدي  
 \*قسم الفيزياء، كلية التربية للعلوم الصرفة، جامعة البصرة، البصرة، العراق.  
 \*قسم الفيزياء، كلية العلوم، جامعة البصرة، البصرة، العراق.  
 \*مديرية تربية البصرة، البصرة، العراق

تاریخ الاستلام: 2017 / 6 / 7

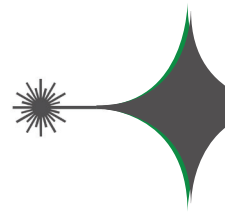
تاریخ قبول النشر: 2017 / 11 / 23

### **Abstract**

In this paper, we investigate the indirect interaction effect between each quantum dots and other lead, on the electron tunneling properties through created system a serially coupled double asymmetric quantum dots, embedded between two nonmagnetic leads (source and drain). In this treatment, the time independent Anderson-Newns Hamiltonian model is considered as a basis to study the system dynamics and then to derive spin-dependent analytical formula to calculate the tunneling current considering the strong coupling regime, the differential conductance is calculated numerically and discussed in detail. These results review for the current and conductance as a function of bias voltage, for different values of indirect interaction and many values of the exchange interaction between the double quantum dots. And we concluded that when additional values of the positive indirect interaction energy for bias voltage it led to increased distance bias voltage and less the differential conductance, but when additional values of negative indirect interaction energy for bias voltage it led to decrease distance bias voltage and increases the differential conductance.

### **Keywords**

Coupled Double Quantum Dots; Electron transport; indirect interaction.



## الخلاصة

في هذا البحث قدمنا معالجة نظرية لفحص تأثير التفاعل غير المباشر بين كل نقطة كمية والقطب البعيد عنها على خصائص نقل الالكترون خلال نظام مكون من نقطتين كميتين غير متناظرتين مفترضتين بهيئة سلسلة، موضوعة بينقطبين معدنيين غير مغناطيسيين (واهب ومستقبل). في هذه المعالجة اعتمدنا هاميلتونين أندرسون-نيونز كأساس لدراسة ديناميكية النظام ومن ثم استيقاق صيغة تحليلية لحساب تيار النفق والتوصيلية التفاضلية عددياً ونوقشت تفصيلياً. حيث تم استعراض النتائج الخاصة بالتيار والتوصيلية كدالة لفولتية الانحياز ولقيم مختلفة من قيم التفاعل غير المباشر وأيضاً لعدة قيم لتفاعل تبادل البرم بين النقطتين الكميتين. واستنتجنا أنه عند إضافة قيم طاقة التفاعل غير المباشر الموجبة إلى فولتية الانحياز فإن ذلك يؤدي إلى زيادة فاصلة فولتية الانحياز وتقليل التوصيلية التفاضلية، أما عند إضافة قيم طاقة التفاعل غير المباشر السالبة إلى فولتية الانحياز فأن ذلك يؤدي إلى نقصان فاصلة فولتية الانحياز وتزداد التوصيلية التفاضلية.

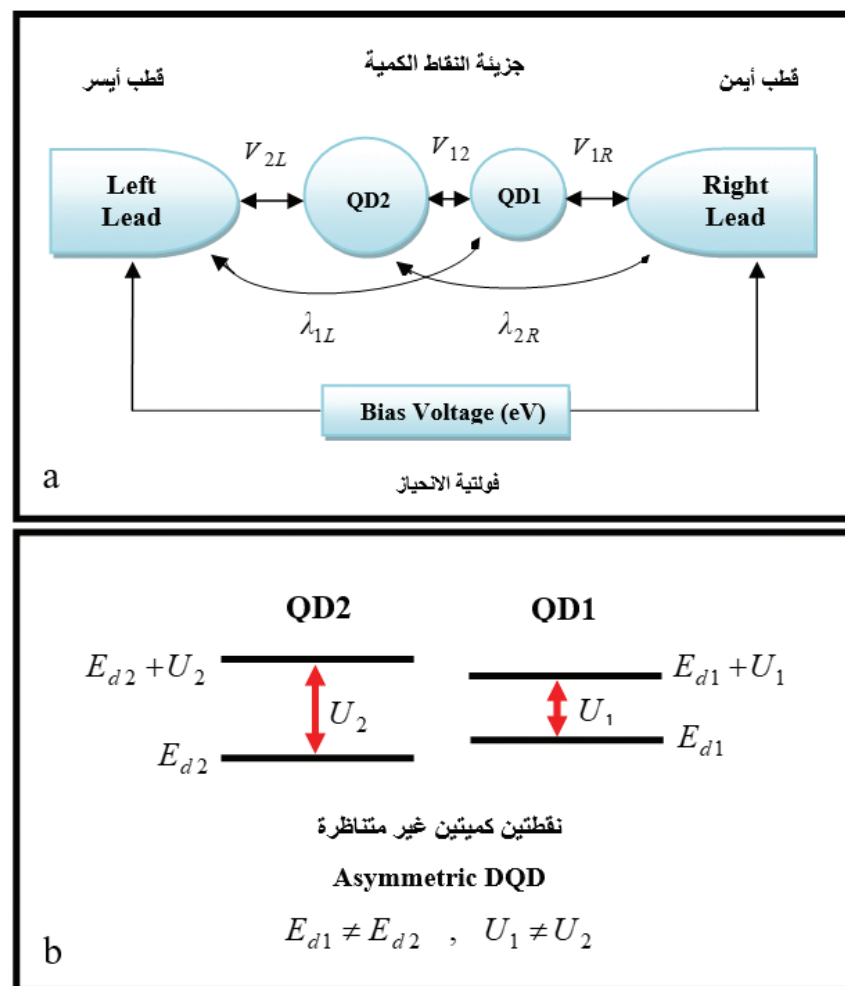
## الكلمات المفتاحية

النقطتين الكميتين المفترضتين، نقل الالكترون، التفاعل غير المباشر.

Spin manipulation [12]. وتستخدم طبقة من النقاط الكمية لتكوين ثنائي النفق الرئيسي والذي يعتبر أهم التطبيقات العملية المهمة والخاصة بالكشف عن الفوتونات المفردة[13]. إن خصائص نقل الالكترون والتي تم حسابها نظرياً للنظام Left Lead- QD2-QD1- Right Lead والتي استعرضت بصورة مفصلة في عملنا السابق [14]، قد تم استخدامها لدراسة تأثير ادخال التفاعل الغير مباشر (indirect interaction effect) بين كل نقطة كمية والقطب البعيد عنها ( $\lambda_{2R}^{\sigma}$  ،  $\lambda_{1L}^{\sigma}$ ).

## 1. المقدمة:

خصائص نقل الالكترون خلال نقطتين كميتين مقتربتين تعد من الظواهر المهمة التي جذبت الاهتمام مؤخراً [5-11] وذلك بسبب كون هذه التراكيب هي أنظمة مثالية لدراسة التفاعلات الأساسية بين الالكترونات والبرم [8-6]. وأحد هذه التطبيقات والتي تخص النقاط الكمية المزدوجة هو استخدامها في تكنولوجيا الحوسبة الكمية Quantum Computer [9,10]. كما يمكن استخدام نظام النقاط الكمية المزدوجة في البيئة ككافش للضوابط [11]، كما وظفت النقاط الكمية في المعالجة البرمية البصرية Optical Computer.



الشكل (1): (a) يستعرض نظام نقطتين كميتين غير متاظرتين ببيئة سلسلة موضوعة بين قطبين أيمن وأيسر موضحاً فيه طاقة التبادل الغير مباشر بين كل نقطة كمية والقطب البعيد و (b) مخطط الطاقة لنقطتين كميتين غير متاظرتين.

يمثل  $\Gamma_0$  دالة التعرض عند القطب ( $Z = 0$ ) بينما تعطى  $\alpha_i^\sigma$  (بالوحدات الذرية) بالصيغة التالية [24]:

$$\alpha_i^\sigma(X, Z) = \sqrt{2|E_{di}^\sigma|} \quad (3)$$

ويعرف زخم الالكترون ( $K$ ) الوارد في العلاقة (1) بدلاً من حزمة الطاقة للمعدن  $u_0$  وفقاً لما يأتي:

$$K = \sqrt{2u_0} \quad (4)$$

وبذلك فإن حد التداخل بين النقطتين الكميتيين بوجود التفاعل الغير مباشر يكون:

$$V_{12}^2 = |V_{12} + \lambda_{12}^\sigma|^2 \quad (5)$$

### 3. حسابات خصائص النقل للإلكترون:

أن التيار المار من القطب اليسرى إلى القطب اليمين خلال المنطقة الفعالة (جزئية النقطتين الكميتيين)، وفي حالة عدم الانتزان وتحت تسلیط فولتية انحياز ( $eV_{bias}$ ) يمكن ان يحسب من العلاقة [25-27]:

$$I = \frac{e}{\hbar} \sum_{\sigma} \int_{\mu_L}^{\mu_R} dE \Gamma^\sigma \rho^\sigma(E) \quad (6)$$

وعند تسلیط جهد انحياز  $eV_{bias}$  على القطبين فأن ذلك يؤدي الى تغيير موقع الجهد الكيميائي للقطبين حيث يكون:

$$eV_{bias} \neq L = -R \quad (7)$$

علماً بأن ( $E$ ) و  $\tilde{A}^\sigma(E)$  في العلاقة (6) تعطى بما يلي:

$$\tilde{n}^\sigma(\Delta E) = \tilde{n}_{1R}^\sigma(E) + \tilde{n}_{2L}^\sigma(E) ; \quad \tilde{A}^\sigma = \frac{\tilde{A}_{1L}^\sigma \tilde{A}_{2R}^\sigma}{\tilde{A}_{2L}^\sigma + \tilde{A}_{1R}^\sigma} \quad (8)$$

حيث ان  $\tilde{n}_{1R}^\sigma(E)$  ،  $\tilde{n}_{2L}^\sigma(E)$  تمثل كثافة الحالات الالكترونية للنقطة الكمية  $i$  على القطب  $\dot{a}$  وللبرم  $\dot{o}$  وتحسب بدلاً من ذلك دوال كرين  $G_{\dot{a}}^\sigma(E)$ :

$$\tilde{n}_{1R}^\sigma(E) = -\frac{1}{\delta} \text{Im} G_{1R}^\sigma(E) ; \quad \tilde{n}_{2L}^\sigma(E) = -\frac{1}{\delta} \text{Im} G_{2L}^\sigma(E) \quad (9)$$

تمثل دوال كرين للنقطة الكمية  $i$  وللبرم  $\dot{o}$

### 2. الأنماذج الحسابية: The Model Calculation

في هذا البحث سنستخدم نظاماً مكوناً من نقطتين كميتيين غير متناظرتين مفترضتين بهيئة سلسلة كما في الشكل (1a). في نظام النقطتين الكميتيين الغير متناظرتين تكون معدلات نفق الالكترون إلى المنطقة الفعالة (منطقة النقاط الكمية) منها مختلفة لذا من المتوقع أن يكون هنا لك مظاهر مختلفة علماً بأن اختلاف معدلات النفق هو بسبب اختلاف النقطتين الكميتيين.

في هذا البحث سنتعلم دراسة خصائص نقل الالكترون بالاعتماد على دوال كرين المعتمدة على البرم للنقطة الكمية الواحدة. وبالاعتماد على انموذج اندرسون غير المعتمد على الزمن يمكن تحديد تفاعلات الاقتران بتفاعلين اساسيين هما [17-15]:

A. التفاعل المباشر ( $V_{12}$  direct interaction) بين  $QD1$  و  $QD2$  حيث تظهر هذه الطاقة بسبب انتقال الشحنة الالكترونية وإعادة توزيعها بين النقطتين بسبب قربها من بعض [18].

B. التفاعل غير المباشر (indirect interaction) بين النقطتين الكميتيين عبر مستويات حزمة الطاقة للقطب والناتج بسبب الاضطراب المتبادل بين النقطتين الكميتيين من خلال القطب لكون النقاط الكمية قريبة من بعضها [19-20].

الجدير بالذكر ان هذا التفاعل يرمز له عادة بالرمز  $\lambda_{ia}^\sigma$  حيث يكون دالة للبرم بسبب اعتماده على دالة التعرض لمستوى النقطة الكمية  $\Gamma_{ia}^\sigma$  وفقاً لما يلي [21]:

$$\lambda_{12}^\sigma(E, Z, X) = -i\Gamma_{ia}^\sigma(E, Z) \sin(KX)/KX \quad (1)$$

حيث تمثل  $X$  المسافة بين النقاط الكمية. وبإهمال اعتماد  $\Gamma_{ia}^\sigma$  على الطاقة [22] فإن دالة التعرض تأخذ الصيغة الآتية [23]:

$$\Gamma_{ia}^\sigma(X, Z) = \Gamma_{0i} e^{-2\alpha_i^\sigma z} \quad (2)$$

اما التوصيلية التفاضلية فقد تم حسابها عددياً باستخدام طريقة الفروقات المحددة [34-32]:

$$G_{diff} = \frac{\partial I}{\partial (eV_{bias})} \quad (16)$$

#### Results and discussion: 4. النتائج والمناقشة:

في دراستنا سنركز على نظام غير متوازن مكون من نقطتين كميتين غير متماثلتين ومتقرين إلى قطبين (أيمين وأيسر). حيث ركزنا فقط على نهج الاقتران القوي الذي يكون فيه  $\Gamma_{ia}^{\sigma}$  وان قيمة  $V_{12} > \Gamma_{1R}^{\sigma} \neq \Gamma_{2L}^{\sigma}$  وبمعدل اقتران غير متساوٍ لكل منها، اي معدل نفق الالكترون من القطب اليسير إلى المنطقة الفعالة اقل من معدل نفق الالكترون من المنطقة الفعالة إلى القطب اليمين حيث اخذ بالحالة التي يكون فيها  $\Gamma_{1R}^{\sigma} \neq \Gamma_{2L}^{\sigma}$ . لغرض حساب تيار النفق والتوصيلية قمنا اولاً بحساب اعداد الاشغال للنقطة الكمية  $n_{di}^{\delta}$  ومستويات الطاقة المقابلة لها  $E_{di}^{\delta}$  وكذلك ”مستويات الطاقة الخيالية الجزئية“  $E_{i\pm}^{\delta}$  ، أذ حسبت اعداد الأشغال ومستويات الطاقة كلها كدالة لفولتيه الانحياز  $eV_{bias}$  على الاقطاب حيث  $\mu_L = \mu_R = -eV_{bias}$  . أن فولتيه الانحياز تعمل عادة على تغيير موقع الجهد الكيميائي  $\mu_L$  و  $\mu_R$  بالنسبة لمستوى طاقة النقطة الكمية. أما المعاملات الخاصة بحساباتنا فكانت كالتالي:  $E_2 = -0.1 \text{ eV}$  و  $E_1 = 0.05 \text{ eV}$  و  $V_{12} = 0.3 \text{ eV}$  و  $\Gamma_{1R}^{\sigma} = 0.1 \text{ eV}$  و  $\Gamma_{2L}^{\sigma} = 0.2 \text{ eV}$  وطاقة تفاعل كولوم التنافري على النقطة الكمية فكان مساوياً إلى  $U_1 = 0.05 \text{ eV}$  و  $U_2 = 0.09 \text{ eV}$  . اما تفاعل التبادل في البرم بين النقطتين الكميتين فيأخذ القيم التالية  $J = (0, \pm 0.1, \pm 0.2, \pm 0.3, \pm 0.4) \text{ eV}$

ولكل قيمة التفاعل غير المباشر المختارة  $\lambda_{ia}^{\sigma} = (\pm 0.1, \pm 0.2)$  الملاحظ من الاشكال الخاصة بالتيار (a10-2))

انه ذو سلوك درجي stair case للمنطقة الواقعه بين  $V_{12} = 0.3 \text{ eV}$  وخاصه لقيمه التفاعلي غير المباشر الموجبه اما للقيمه السالبة فإنه ذو سلوك خطى للمنطقة

بسبب الاقتران مع القطب  $\dot{a}$  والتي تم كتابتها بالاستفاده من المصدر [28] بالصيغه التالية:

$$G_{2L}^{\delta}(E) = \frac{1}{\dot{A}} \left\{ \frac{(1-W_2^{\delta}/V_2^{\delta})}{(E-E_{2+}^{\delta}) + i \frac{\delta}{2L}\dot{A}} + \frac{(1+W_2^{\delta}/V_2^{\delta})}{E-E_{2-}^{\delta} + i \frac{\delta}{2L}} \right\} \quad (10b)$$

$$G_{1R}^{\delta}(E) = \frac{1}{\dot{A}} \left\{ \frac{(1+W_1^{\delta}/V_1^{\delta})}{(E-E_{1+}^{\delta}) + i \frac{\delta}{1R}\dot{A}} + \frac{(1-W_1^{\delta}/V_1^{\delta})}{E-E_{1-}^{\delta} + i \frac{\delta}{1R}} \right\} \quad (10a)$$

تمثل  $\Gamma_{ia}^{\sigma}$  التعريض في مستوى طاقة النقطة الكمية  $i$  بسبب الاقتران مع القطب ( $\dot{a}$ ) وهي دالة لطاقة النظام والمسافة بين النقطة الكمية والقطب. باستخدام تقريب الحزمة العريضة ( Wide Band ) للأقطاب الأيمين والأيسر، فأذال التعريض  $\Gamma_{ia}^{\sigma}$  تكون غير معتمدة على الطاقة [29,30]. اما الطاقات  $E_{i\pm}^{\delta}$  فتعرف بما يلي [31]:

$$E_{i\pm}^{\delta} = E_i + U_i n^{-\delta} - J n^{\delta} \pm V_i^{\delta} \quad (11)$$

$$E_{i\pm}^{-\delta} = E_i + U_i n^{\delta} - J n^{-\delta} \pm V_i^{-\delta}$$

تمثل  $U_i$  طاقة تفاعل كولوم التنافري ذات البرم المتعاكس للنقطة الكمية QDi (انظر الشكل (1b)).

يعطي  $V_i^{\delta}$  بالعلاقة التالية:

$$V_i^{\delta} = \sqrt{V_{12}^2 + (W_i^{\delta})^2} \quad ; \quad W_i^{\delta} = U_i M^{\delta} + J M^{\delta} \quad (12)$$

حيث أن

$$n^{\delta} = \frac{n_{d1}^{\delta} + n_{d2}^{\delta}}{2} \quad ; \quad M^{\delta} = \frac{n_{d1}^{\delta} - n_{d2}^{\delta}}{2} \quad (13)$$

تمثل اعداد اشغال النقطة الكمية  $n_{di}^{\delta}$  بعد تعويض  $(E)$   $\tilde{n}_{\dot{a}}^{\delta}(E)$  المحسوبة من العلاقة (9) بالعلاقة (8) واستخدام  $\tilde{n}_{\dot{a}}^{\delta}(E)$  بالعلاقة الخاصة بالتيار (6)) نحصل على صيغة تحليلية للتيار المار بالنظام في الصيغة التالية:

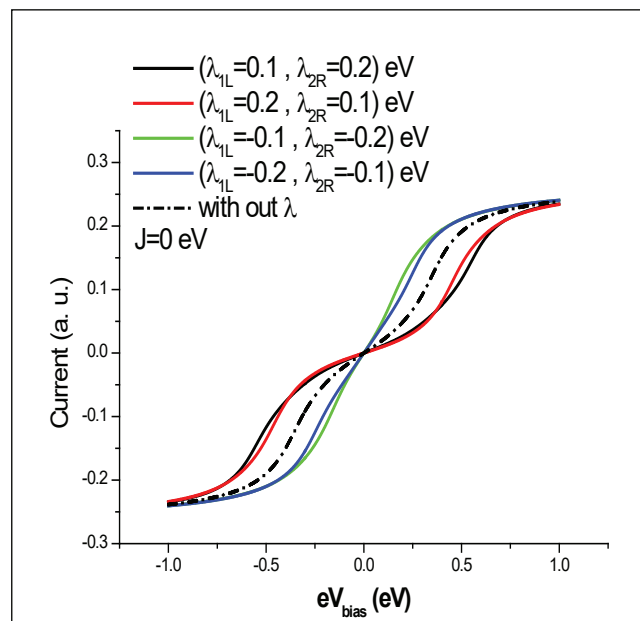
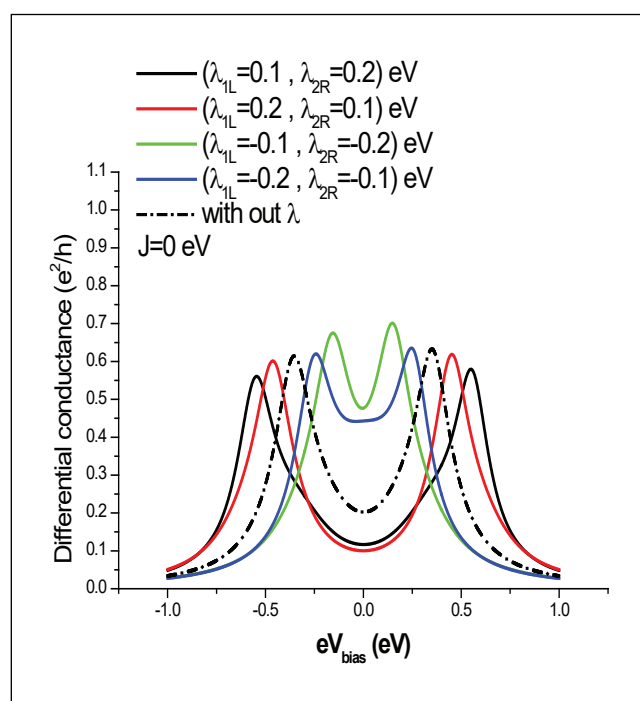
$$I = \frac{-e}{\hbar} \sum_{\sigma} \sum_{j=i,-} [\Gamma^{\sigma} S_{1j}^{\sigma} \tan^{-1}(\frac{\mu_R - E_{1j}^{\sigma}}{\Gamma_{1R}^{\sigma}}) - \Gamma^{\sigma} S_{1j}^{\sigma} \tan^{-1}(\frac{\mu_L - E_{1j}^{\sigma}}{\Gamma_{1R}^{\sigma}}) + \Gamma^{\sigma} S_{2j}^{\sigma} \tan^{-1}(\frac{\mu_R - E_{2j}^{\sigma}}{\Gamma_{2L}^{\sigma}}) - \Gamma^{\sigma} S_{2j}^{\sigma} \tan^{-1}(\frac{\mu_L - E_{2j}^{\sigma}}{\Gamma_{2L}^{\sigma}})] \quad (14)$$

اما الدوال  $S_j^{\delta}$  فتم تعريفها بالعلاقات التالية:

$$S_{1j}^{\delta} = \frac{1}{2\delta} (1 + j \frac{W_1^{\delta}}{V_1^{\delta}}) \quad ; \quad S_{2j}^{\delta} = \frac{1}{2\delta} (1 - j \frac{W_2^{\delta}}{V_2^{\delta}}) \quad (15)$$

السالبة فأأن هذه الفاصلة اقل من الحالة التي يتم فيها اهمال تأثير التفاعل غير المباشر.

هذه الملاحظات مفيدة جداً لدعم مظاهر الجهاز النانوي الذي يعتمد في عمله على تفاعل نقطتين كميتين.

**a****b**

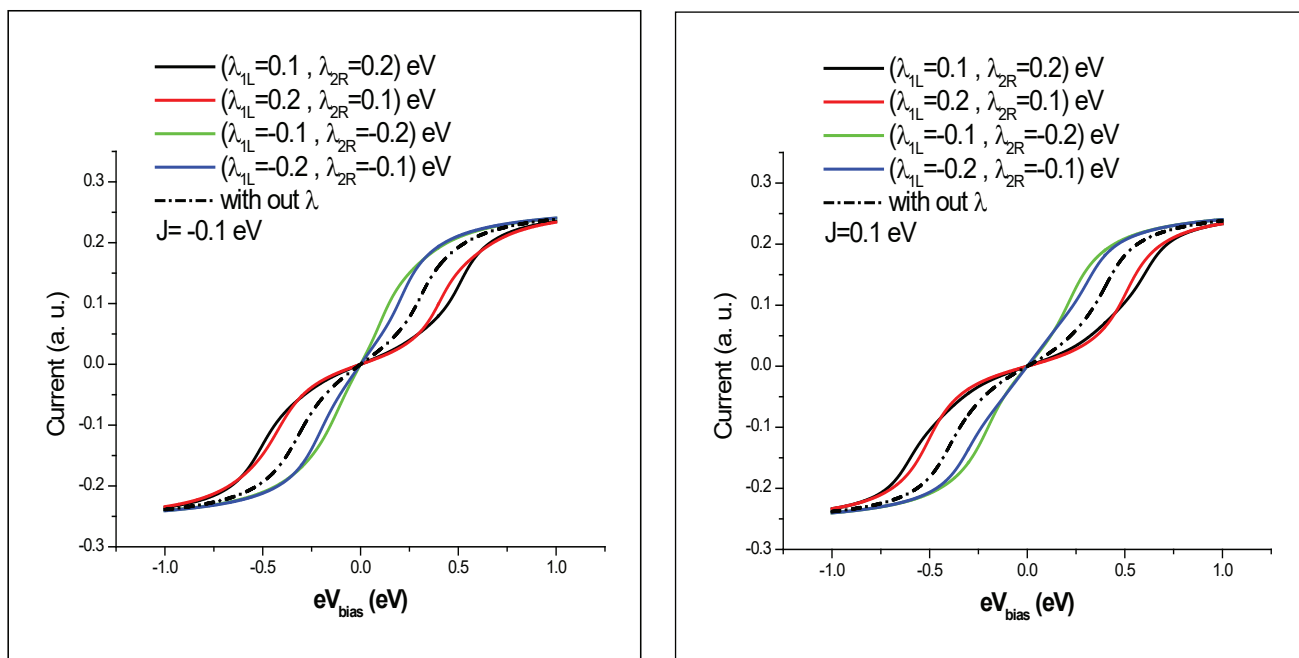
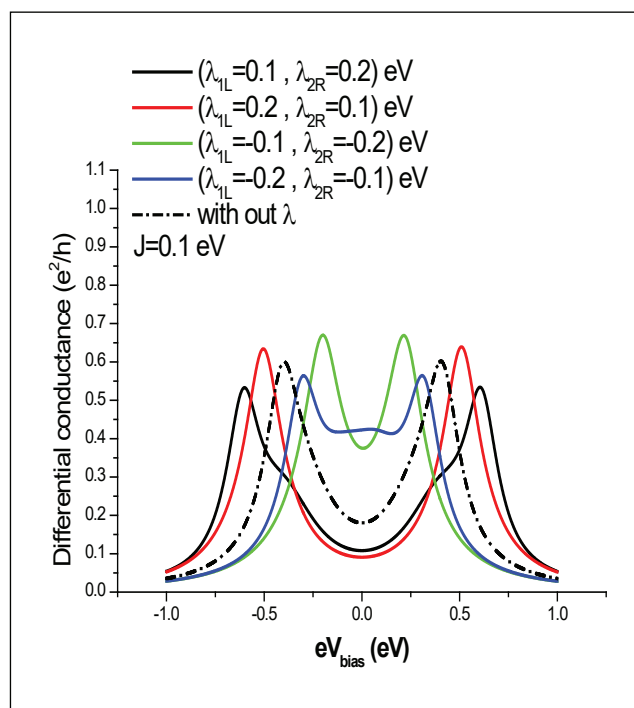
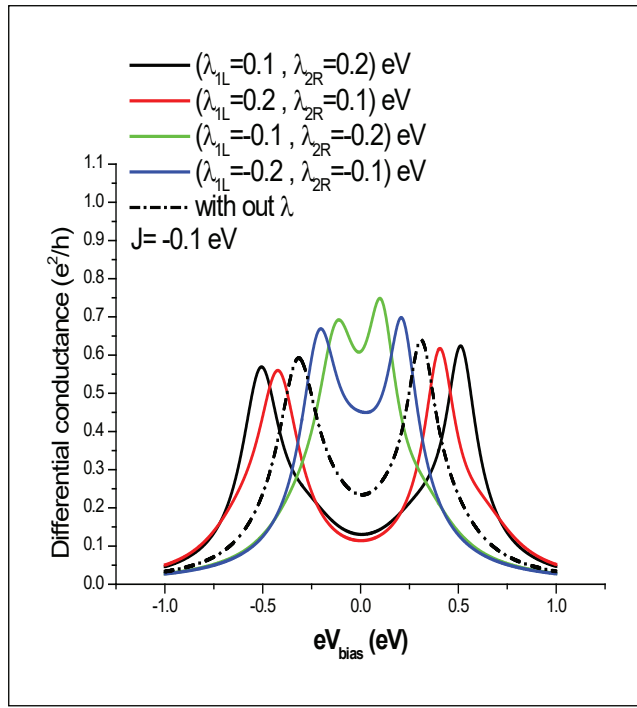
الشكل (2): (a) يوضح التيار كدالة لفولتية الانحياز و (b) التوصيلية التفاضلية كدالة لفولتية الانحياز عندما:  $J = 0 \text{ eV}$ .

(+) وهذا السلوك يكون اوضح عندما  $\lambda_{1L}^\sigma = 0.1 \text{ eV}$ ,  $\lambda_{2R}^\sigma = 0.2 \text{ eV}$ ). حيث يوضح هذا السلوك منطقة حصار كولوم والتي تعني ان الكترون واحد سوف ينفق خلال منطقة الحاجز وبذلك يحدث احمد للتيار عند قيم فولتيات الانحياز الصغيرة، وفي حالة الحصار لا تكون هنالك مستويات طاقة للنقطة الكمية متوفرة ضمن مدى نفق الالكترون، كل المستويات تكون في حالة طاقة ادنى وملوءة حيث هذه الظاهرة تعطي امكانية استخدام النظام كمفتاح الكتروني.

الجدير بالذكر انه لكي يكون التيار في حساباتنا بالوحدات الذرية ( $e = \hbar = 1$ ) يجب ان نقسم كل قيمة من قيم التيار على (27.21).

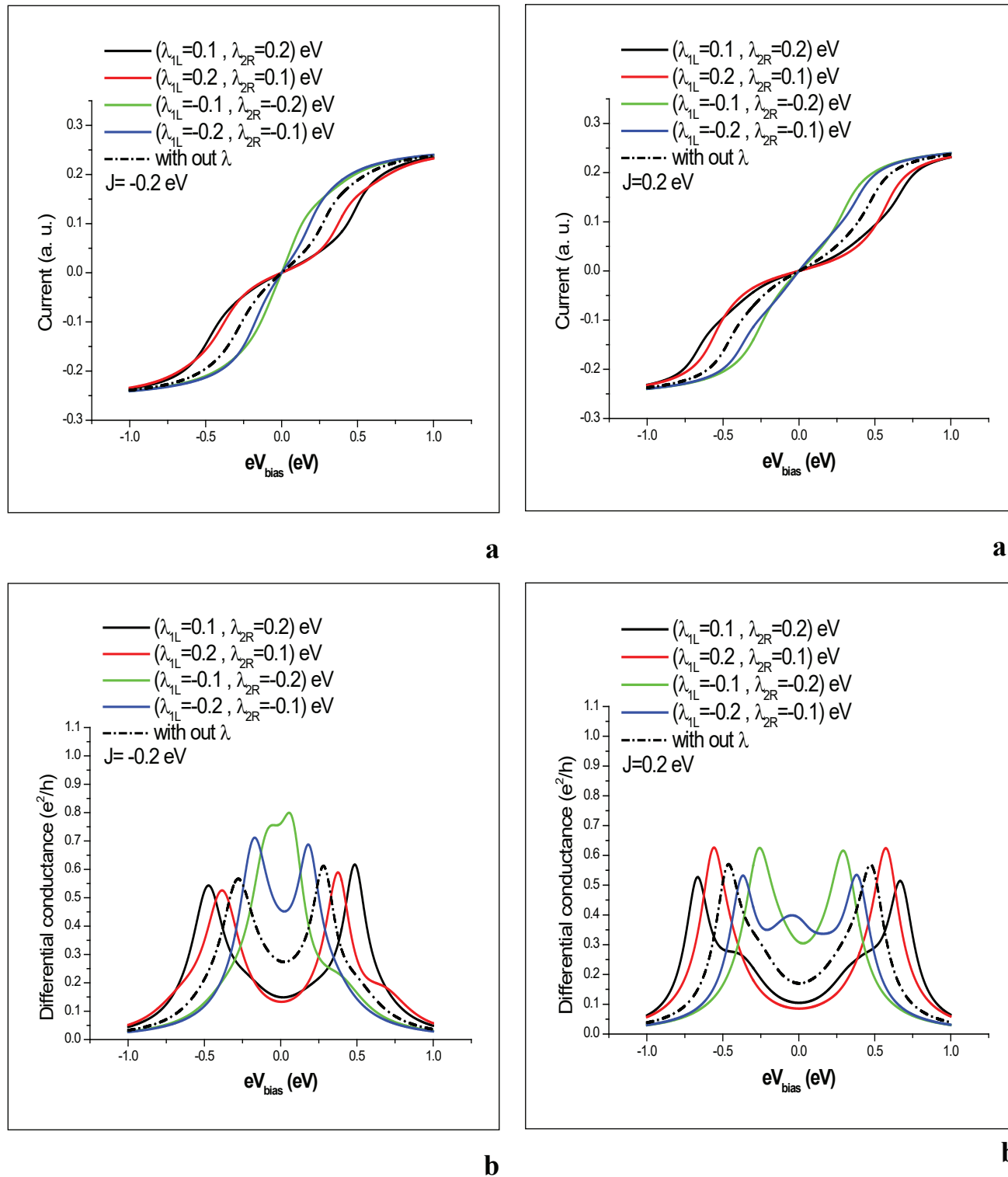
اما بالنسبة للتوصيلية التفاضلية فأنها تكون متاظرة حول العمود المار في نقطة الاتزان  $eV_{bias} = 0$  لقيم  $J \leq 0.2 \text{ eV}$  (2b,3b,5b) ولقيم  $J \geq 0.2 \text{ eV}$  فأنها تكون غير متاظرة حول العمود المار في نقطة الاتزان مع ظهور قمم جديدة للتوصيلية التفاضلية والتي تدل على ان طبيعة التفاعل بين النقطتين تجاذبی.

الواضح من اشكال التوصيلية التفاضلية انها ذات قيمة دنيا تقع عند  $eV_{bias} = 0$  وقيمتان عظمى لقيم  $\lambda_{ia}^\sigma \leq J$  ذات مواقع مختلفة بالاعتماد على قيم  $|J| < 0.2 \text{ eV}$  فها اذا كانت سالبة او موجبة، عندما تكون ذات قمة واحدة وخاصة لقيم التفاعل غير المباشر بين النقطتين تنااري، وبذلك تسلك النقطتين كما لو كانت نقطة كمية واحدة. عند استخدام  $\lambda_{ia}^\sigma$  سالبة هذا يعني نقصان قيمة  $V_{12}$  وبالتالي سوف تقل فاصلة فولتية الانحياز. بينما اذا كانت  $\lambda_{ia}^\sigma$  موجبة فأن قيمة التوصيلية عند نقطة الاتزان تكون اقل مما عليه في حالة  $\lambda_{ia}^\sigma$  السالبة وجميع قيم  $J$  المختارة. كما أن فاصلة فولتية الانحياز لقيم  $\lambda_{ia}^\sigma$  الموجبة اكبر من الحالة التي يتم فيها اهمال تأثير التفاعل غير المباشر. أما في حالة

**a****a****b**

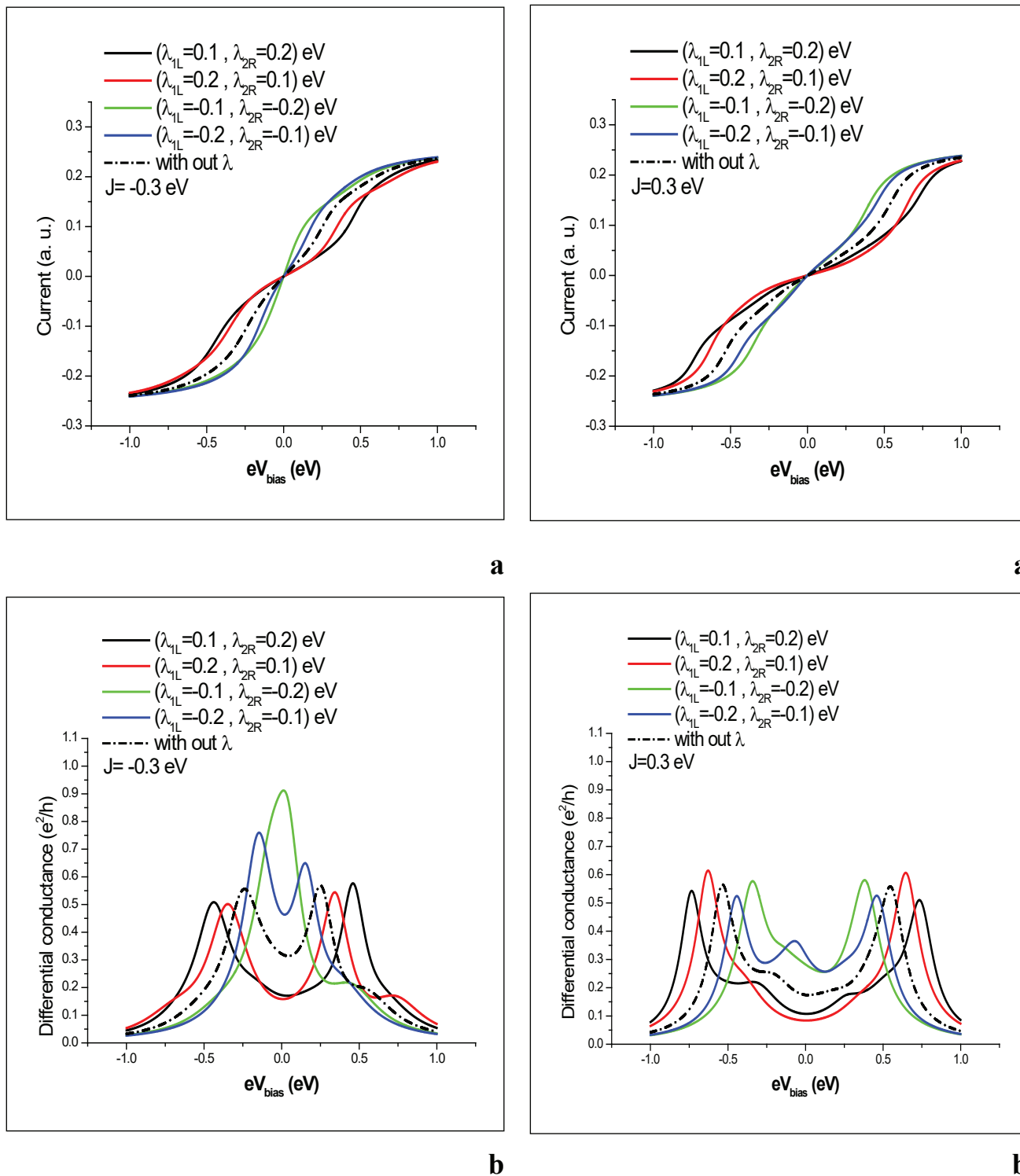
الشكل (4): (a) يوضح التيار كدالة لفولتية الانحصار و (b) التوصيلية التفاضلية كدالة لفولتية الانحصار عندما:  $J = -0.1$  eV .

الشكل (3): (a) يوضح التيار كدالة لفولتية الانحصار و (b) التوصيلية التفاضلية كدالة لفولتية الانحصار عندما:  $J = 0.1$  eV .

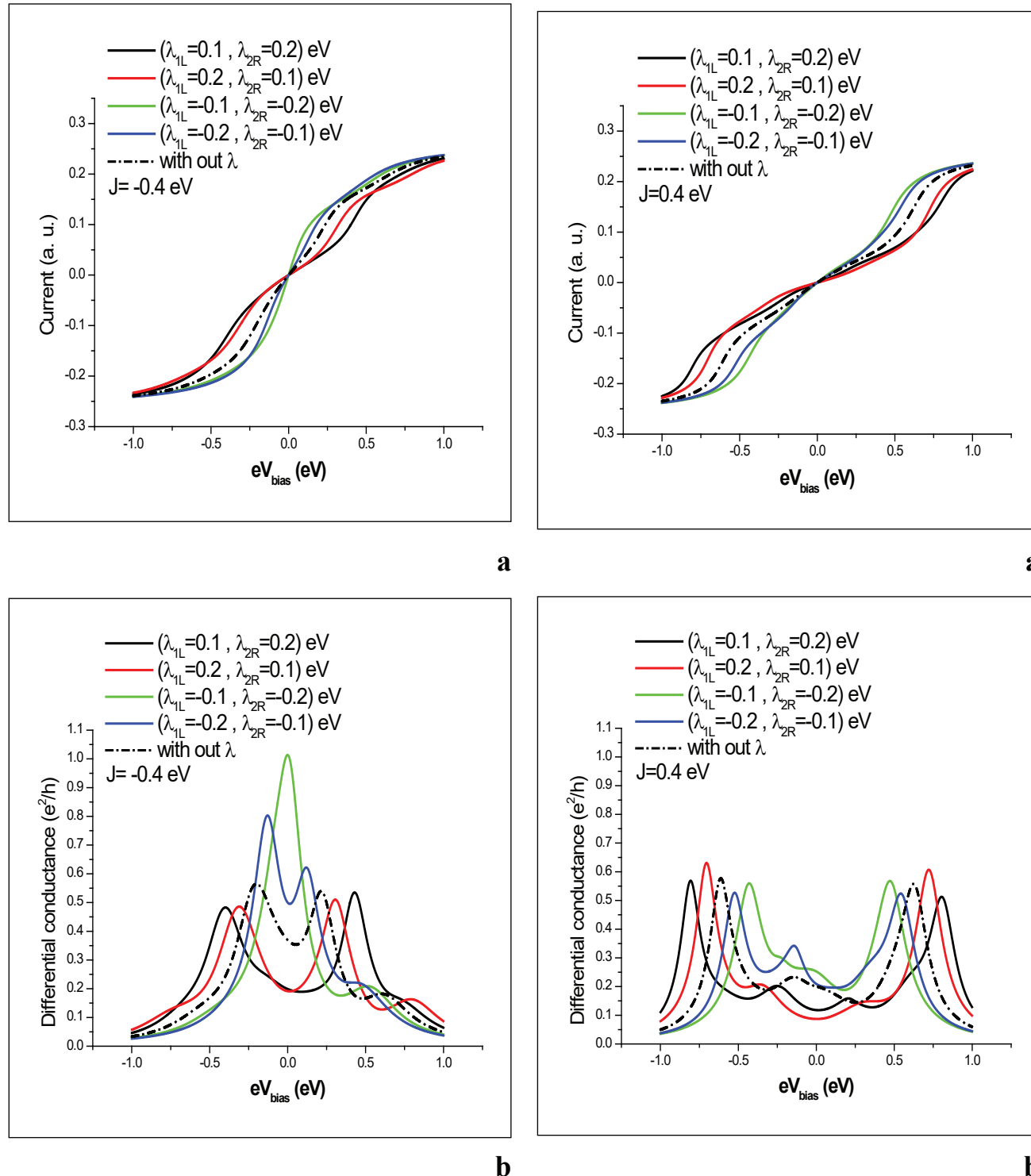


الشكل (5): (a) يوضح التيار كدالة لفولتية الانحياز و (b) التوصيلية التفاضلية كدالة لفولتية الانحياز عندما:  $J = -0.2 \text{ eV}$ .

الشكل (6): (a) يوضح التيار كدالة لفولتية الانحياز و (b) التوصيلية التفاضلية كدالة لفولتية الانحياز عندما:  $J = 0.2 \text{ eV}$ .



الشكل (8): (a) يوضح التيار كدالة لفولتية الانحياز و (b) التوصيلية التفاضلية كدالة لفولتية الانحياز عندما:  $J = -0.3 \text{ eV}$  .



الشكل (9): (a) يوضح التيار كدالة لفولتية الانحصار و (b) التوصيلية التفاضلية كدالة لفولتية الانحصار عندما:  $J = -0.4$  eV .

- [11] Shi, P., Hu, M., Ying, Y., Jina, J., AIP Advances 6, 095002, (2016).
- [12] Kim, D., Economou, S. E., Badescu, S. C., Scheibner, M., Bracker, A. S., Bashkansky, M., Reinecke, T. L., Gammon, D., Naval Research Laboratory, 4555 Overlook Ave, SW, Washington, D.C., 20375, (2013).
- [13] Li, H. W., Kardynal, B. E., See, P., Shields, A. J., Simmonds, P., Beere, H. E., Ritchie, D. A., Appl. Phys. Lett. 91, 073516, (2007).
- [14] Najdi, M. A., AL-Mukh, J. M., Jassem, H. A., Journal of Bas. Res. (Sciences), Vol. (42). No. (1) B, (2016).
- [15] Stepanyuk, V. S., Niebergall, L., Baranov, A. N., Hergert, W., Bruno, P., Comp. Mat. Sci. 35, pp. 272 – 274, (2006).
- [16] Stepanyuk, V. S., Niebergall, L., Longo, R. C., Hergert, W., Bruno, P., Phys. Rev. B 70, 075414, (2004).
- [17] Pietzsch, O., Kubetzka, A., Bode, M., Wiesendanger, R., Phys. Rev. Lett. 92, 057202, (2004).
- [18] Slater, J. C., “Quantum Theory of Molecules and Solid”, Vol.1, McGraw- Hill BookCompany, INC, New York, (1960).
- [19] Grimley, T. B., Proc. of Phys. Soc., 90, 751-764, (1967).
- [20] Lebosse, J. A., Lopez, J., Rousseau-Violet, J., Surf. Sci. 81, L329-L332, (1979); Lebosse, J.C., Lopez, J., Rousseau-Violet, J., Surf. Sci. 81, 329-332,

**المصادر:**

- [1] Golovach, V. N., Loss, D., Phys. Rev. B 69 , 245327, (2004).
- [2] McClure, D. T., DiCarlo, L., Zhang, Y., Engel, H. A., Marcus, C. M., Hanson, M. P., Gossard, A. C., Phys. Rev. Lett. 98, 056801, (2007).
- [3] Kuo, D. M. T., Chang, Y., Phys. Rev. B 89, 115416, (2014).
- [4] Li, R., Hudson, F. E., Dzurak, A. S., Hamilton, A. R., Nano Lett., 15 (11), pp. 7314–7318, (2015).
- [5] Tsukanova, A. V., Chekmachevb, V. G., Russ. Micro. Vol. 45, No. 1, pp. 1–10, (2016).
- [6] Wolf, S. A., Awschalom, D. D., Buhrman, R. A., Daughton, J. M., Von Molnar, S., Roukes, M. L., Chtchelka, A. Y., Treger, D. M., Sci. 294, 1488, (2001).
- [7] Awschalom, D. D., Loss, D., Samarth, N., “Semiconductor Spintronics and Quantum Computation”, Spr., Berlin, (2002).
- [8] Maekawa, S., Shinjo, T., “Spin Dependent Transport in Magnetic Nanostructures”, Taylor & Francis, London, (2002).
- [9] Liu, Y. Y., Stehlik, J., Eichler, C., Gullans, M. J., Taylor, J. M., Petta, J. R., Sci. Vol. 347, Issue 6219, pp. 285-287, (2015).
- [10] Baart, T. A., Eendebak, P. T., Reich, C., Wegscheider, W., Vandersypen, L. M. K., Appl. Phys. Lett., Vol. 108, Issue 21, (2016).



(1979).

- [21] Alexander, S., Anderson, P. W., Phys. Rev., 133, 6, A1594, (1964).
- [22] Newns, D. M., Phys. Rev. 178, 1123, (1969).
- [23] Kjollerstorm, B., Scalapino, D. J., Shrief-fer, J. R., Phys. Rev., 148(2), 665, (1966).
- [24] [24] Grimley, T. B., Jyothibhasu, V. C., Surf. Sci., 124, 305, (1983).
- [25] Fujii, T., Ueda, K., Phys. E 22, 498-501, (2004).
- [26] Hershfield, S., Davies, J. H., Wilkins, J. W., Phys. Rev. Lett. 67, (1991).
- [27] Hershfield, S., Davies, J. H., Wilkins, J. W., Phys. Rev. B 46, 7046, (1992).
- [28] Tafarner, W. T., Davision, S. G., Cha. Phys. Lett., 269, 171, (1997).
- [29] Sulston, K. W., Amos, A. T., Davision, S. G., Surf. Sci. 197, L555-L566, (1989).
- [30] Sulston, K. W., Amos, A. T., Davision, S. G., Phys. Rev. B 37, No.16, (1988).
- [31] Muda, Y., Bull-Nara. Univ. Educ., 32, 2, 85, (1983).
- [32] Nielsen, S. K., Brandbyge, M., Hansen, K., Stokbro, K., van Ruitenbeek, J. M., Besenbacher, F., Phys. Rev. Lett. 89, 066804, (2002).
- [33] Smit, R. H. M., Noat, Y., Untiedt, C., Lang, N. D., van Hemert, M. C., Ruitenbeek, J. M., Nat. 419, 906, (2002).
- [34] Thygesen, K. S., and Jacobsen, K.W., Phys. Rev. Lett. 94, 036807, (2005).

# تحضير بولي استرات اليفاتية وأرموماتية من الايثيلين ثنائي الامين رباعي حامض الخليك وتطبيقاتها للأغراض الصناعية

داخل ناصر طه\*، خضير جواد كاظم\*، حذام عبد علي عبد الحسين\*\*

\*قسم الكيمياء، كلية العلوم، جامعة بابل، العراق

\*\*فرع الفسلحة والادوية البيطرية، كلية الطب البيطري، جامعة كربلاء، العراق.

تاریخ الاستلام: 2017 / 3 / 5

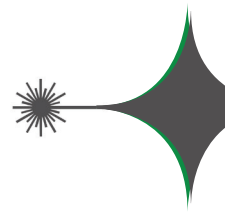
تاریخ قبول النشر: 2017 / 6 / 21

## **Abstract**

New Ethylene Diamine Tetra Acetic Acid polyesters were prepared by polycondensation reaction of acyl chloride of EDTA with aliphatic & aromatic diol(1,3-Propanediol, polyethylene glycol , Benzene-1,2,3-triol). All the polymers bearing aminoacetic group soluble in (water, DMF, DMSO) and Characterized by  $^1\text{H}$  NMR, FTIR spectroscopy , and elemental analysis. The % swelling of polymers measured at  $(27)^\circ\text{C}$  using benzene as swelling solvent, Also the intrinsic viscosities were calculated in DMF in  $(30)^\circ\text{C}$ .

## **Keyword**

polyester, Polycondensation, EDTA .



## الخلاصة

حضرت بولي استرات جديدة للأثيلين ثنائي الامين رباعي حامض الخليك بالبلمرة التكافافية لتفاعل كلوريد حامض EDTA مع كحولات ثنائية أرومانية واليفاتية

(Benzene-1,2,3-triol, 1,3-Propanediol polyethylene glycol, 1,3-Propanediol). جميع البوليمرات تحمل مجاميع امينات الخليك الذائية في (الماء ثنائي مثيل فورمايد ثنائي مثيل سلفوكسайд). شخصت البوليمرات المحضرة بواسطة طيف الاشعة تحت الحمراء للرنين النووي المغناطيسي و تحليل العناصر . النسبة المئوية للانفصال للبوليمرات قيست بدرجة حرارة الغرفة باستخدام التزين كمذيب كذلك قيست اللزوجة الظاهرية باستخدام ال ثنائي مثيل فورمايد وبدرجة حرارة (30°C).

## الكلمات المفتاحية

النشاط الاشعاعي الطبيعي، مطيفية اشعة كاما، معمل نسيج بابل، الشركة العامة للسيارات في بابل.

الاثيلين ثنائي الامين رباعي حامض الخليل مع العديد من الكحولات ثنائية الهيدروكسيل (diol) والامينات ثنائية الامين [18,19,20].

## 1. المقدمة

### 2. الجزء العملي

#### 1.2. المواد والاجهزة المستخدمة

المركبات-(3,2,1)-Benzene-1,2,3-Polyethylene glycol, Propanediol, EDTA شركة (BDH) بدون تنقية. كلوريد الثايونيل تم الحصول عليه تجاريًا من شركة (Aldrich). أما المذيبات (البريدين، ثنائي مثيل فورمايد، ايثانول، ثنائي مثيل سلفوكسайд، اسيتون) تم الحصول عليها من شركة (BDH, Fluka) تم استخدامها بدون تنقية.

قيست اطیاف الاشعة تحت الحمراء باستخدام قرص Shimadzu برومید البوتاسيوم باستخدام الجهاز (7R-40E Spectrometer (NMR Brucker 400MHz) في جهاز (1H-NMR) (DMSO-d6) كمدبب. باستخدام ثنائي مثيل سلفوكسайд (CHN) كمدبب. أما التحليل العنصري الدقيق (Elemental Analysis 3764) في جهاز Callen الانصهار للبوليمرات المحضرة باستخدام جهاز (kamp MFB-600) (Ostwald Viscometer) باستخدام اللزوجة من نوع (DMF) كمدبب بدرجة حرارة (30°C).

#### 2.2. طريقة العمل

في دورق دائري القعر ذي فتحتين مزود بمحرك مغناطيسي ومحرار اضافي (5 ml) من كلوريد الثايونيل الى (2) mmole من الحامض الكاربوكسيلي (EDTA) ثم سخن المزيج مع التحرير المستمر في حمام مائي درجة حرارته

تشمل عائلة البولي استر كل البوليمرات الحاوية على مجموعة استرية في عمودها الفقري وتستخدم هذه البوليمرات بشكل واسع للاغراض الصناعية كالياف، بلاستيك وطلاء [1,2] تميز البولي استرات الأرماتية بكونها ذات درجات انصهار عالية وذوبانية قليلة لذلك تستخدم كبوليمرات مستقرة حراريا [3] طوال السنوات الماضية تم تحضير انواع مختلفة من البولي استرات المشتقة من تفاعل كلوريدات ثنائية الحامض والكحولات ثنائية الهيدروكسيل [4,5] حيث يجري هذا التفاعل في درجات حرارية معتدلة اقل من (100°C) ويستخدم البريدين كعامل مساعد حيث يعمل على سحب جزيئات حامض الهيدروكلوريك (HCl) المتكون كنتاج ثانوي اثناء التفاعل [6,7] واكتسبت البولي استرات هذه الأهمية منذ ان تم تحضيرها من قبل (Carothers) حيث اجرى دراسة على التفاعلات ذات النمو الخطوي اذ تضمن عملية تكافف الكحولات ثنائية الهيدروكسيل الخطية (A-A) مع حواضن ثنائية الكاربوكسيل الاليفاتية (b-b) [8] تم تطوير بوليمرات تمتلك مجامي فعالة تكون اما ذائبة او غير ذائبة في الماء تستطيع الارتباط بأيون الفلز في محلول [9,10] تكون البوليمرات المخلبية (Chelating polymers) من السلسلة البوليمر مطعمة بالمجموعة المخلبية (Chelating group) التي تكون اما متحدة مع المونير او تضاف الى العمود الفقري للبوليمر [11,12] تستخدم البوليمرات المخلبية في مجالات مختلفة تتضمن فصل الايونات الفلزية معالجة المياه والترابة الملوثة [13,14]. ومن بين هذه البوليمرات المخلبية تلك التي تمتلك جزيئة EDTA ضمن عمودها الفقري تستطيع ان تكون معقدات محلبية مع بعض العناصر الثقيلة [15,16,17] اذ ان تفاعل التكافف يعتبر طريقة العمل الرئيسية لتحضير العديد من بوليمرات البولي الاستر والبولي الأميد المشتقة من تفاعل انهدرید

(4) ساعات اضيف لمزيج التفاعل عدة قطرات من البريدين. الزيادة من المذيب فصل بواسطة المبخر الدوار جمع الناتج المتكون وأعيدت بلورته باستخدام ثنائي أثيل أيثر. الجدول (1) يوضح الخواص الفيزيائية للبوليمرات الحضرة.

(5) ml من المذيب ثنائي مثيل فورماميد(DMF) واضيف الى المزيج(2) mmole من diol وصعد لمدة

جدول (1): يوضح الخواص الفيزيائية للبولي استرات المحضرة

.Polm code	color	%Conversion	solubility					$\eta_{inh}$ lndl/g	Softing point °s.p/C
			DMF	DMSO	Ethanol	Acetone	water		
H <sub>1</sub>	Red	77	+	+	+	-	+	0.18	300<
H <sub>2</sub>	Brown	70	+	+	+	-	+	0.31	300<
H <sub>3</sub>	Dark brown	85	+	+	+	-	+	0.22	300<

في المخطط (1) حيث تم تحويل المجاميع الكاربوكسيلية للـ

EDTA من خلال تفاعلها مع كلوريد الثاينيل اذ ان مجموعة

(Cl)- مجموعة مغادرة اسهل من (OH)-. اضافة لكون الـ

EDTA لا يذوب في DMF مقارنة بكلوريد الـ

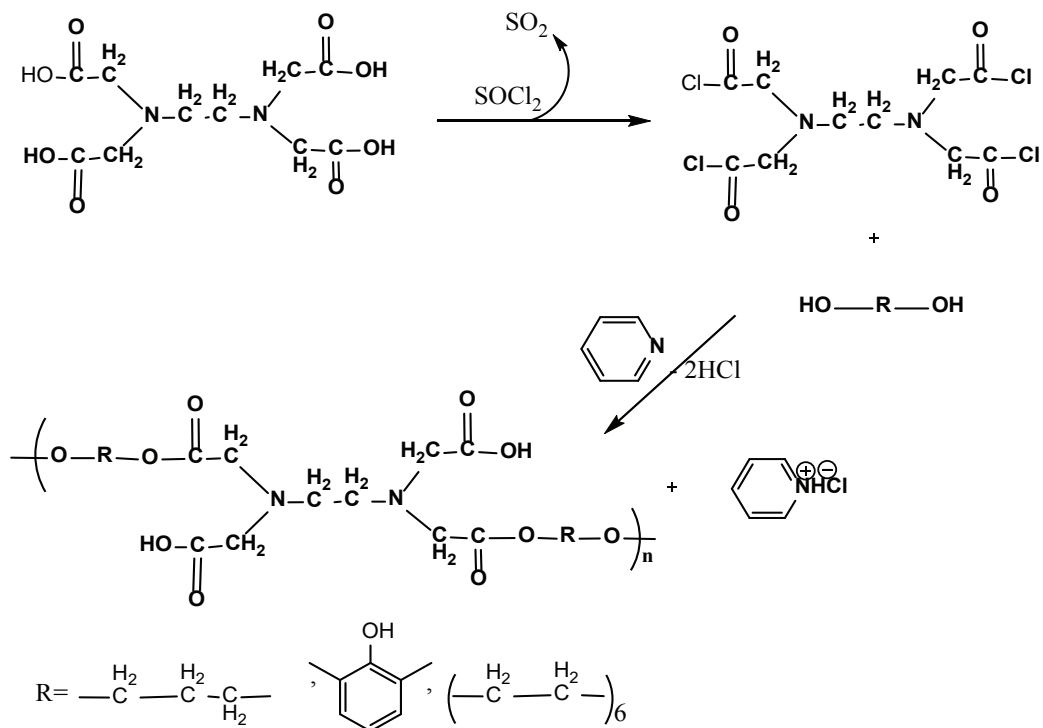
### 3. النتائج والمناقشة

تم تحضير البوليمرات من خلال تفاعل مجاميع

اهيدروكسيل الموجودة في الكحول مع كلوريد الحامض

للايثيلين ثنائي الامين رباعي حامض الخليل كما موضحة

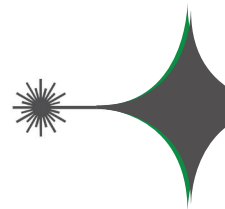
**مخطط (1): تفاعل مجامي الهيدروكسيل الموجودة في الكحول مع كلوريد الحامض للايثيلين ثانوي الامين رباعي حامض الخليك**



التالية للبوليمر H1 الشكل (4) (3.9 ppm) (4) ،  $\text{CH}_2-\text{O}-$  (1.3 ppm) و  $\text{CH}_2-$  (9 ppm) و هيدروجين مجموعة الكاربوكسيل كان عند (9 ppm). اما بالنسبة للبوليمر H2 الشكل (5) ظهرت الاشارات التالية لل  $\text{OH}$  عند (4.1 ppm) و  $\text{COOH}$  (2.2 ppm) عند (9 ppm) اما  $^1\text{H NMR}$  (1H) البوليمر  $\text{CH}_2-\text{O}-$  (4.3 ppm) ظهرت (6) ppm تعود ( )  $\text{H3}$  الشكل (6) و  $\text{CH}_2-\text{O}-\text{C}=\text{O}$  (3.7 ppm) و  $\text{CH}_2-$  (2.1 ppm) لل  $\text{H2}$  . أما تحليل العناصر (CHN) المبين في الجدول (2) فقد أظهر تطابق النسب المئوية المحسوبة عملياً مع تلك المحسوبة نظرياً مما يدل على صحة تركيب البوليمرات المحضر. اما النسبة المئوية للانتفاضة موضحة في الجدول (3).

شخصت البوليمرات باستخدام تقنية طيف الاشعة تحت الحمراء الذي اظهر حزم مط العائد (للمجموعة الكاربونيل الاسترية)  $\text{C=O}$  عند التردد (1735-1700) سم<sup>-1</sup> للبوليمرات المحضرة .

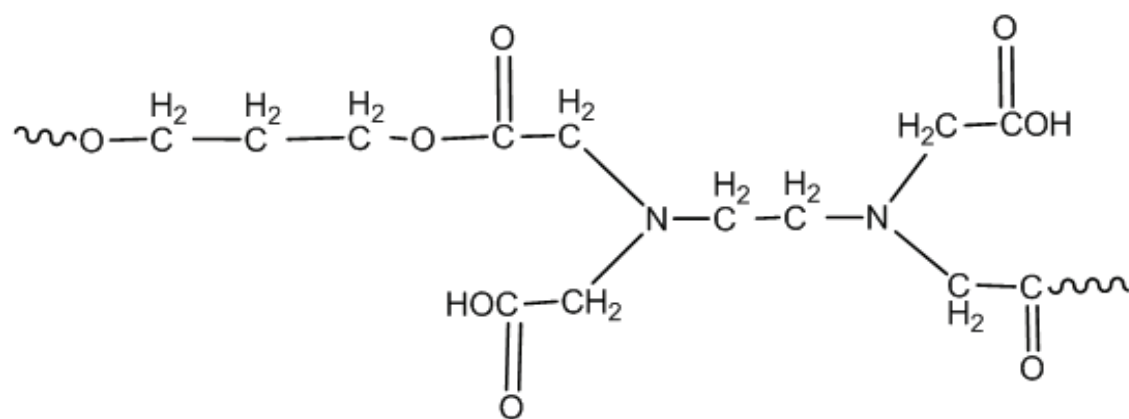
اظهر طيف الاشعة تحت الحمراء حزم الامتطاط الرئيسية بالنسبة للبوليمر الشكل (1)  $\text{H1}(1\text{H})$  حزمة جديدة عند التردد (1732) سم<sup>-1</sup> تعود لمجموعة الاستر، اما البوليمرات  $\text{H2}$  و  $\text{H3}$  ظهرت حزمة المجموعة الاسترية عند الترددات (1732) سم<sup>-1</sup> و (1726) سم<sup>-1</sup> بالإضافة إلى ذلك اظهر FTIR حزم المط العائد للحلقة الأرomaticية للبوليمر  $\text{H2}$  عند الترددات (3070-2779) سم<sup>-1</sup> الشكلين (23). كما شخصت البوليمرات المحضرة باستخدام طيف الرنين النووي البروتوني ( $^1\text{H NMR}$ ) الذي اظهر الاشارات

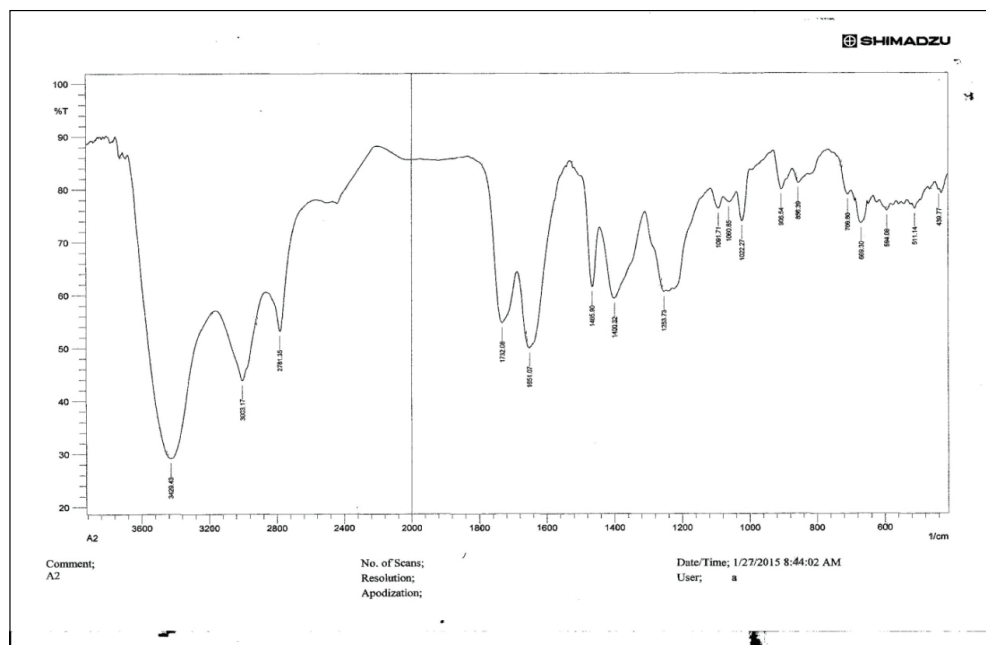
جدول(2): تحليل العناصر (CH<sub>n</sub>N) للبولي استرات المحضر

Polyester	(% C		(% H		(% N	
	.calc	.obs	.calc	.obs	.calc	.obs
H <sub>1</sub>	43.04	42.89	3.84	4.13	9.24	9.51
H <sub>2</sub>	44.87	44.96	4.75	4.81	6.45	6.67
H <sub>3</sub>	46.55	46.89	4.36	4.82	6.78	6.86

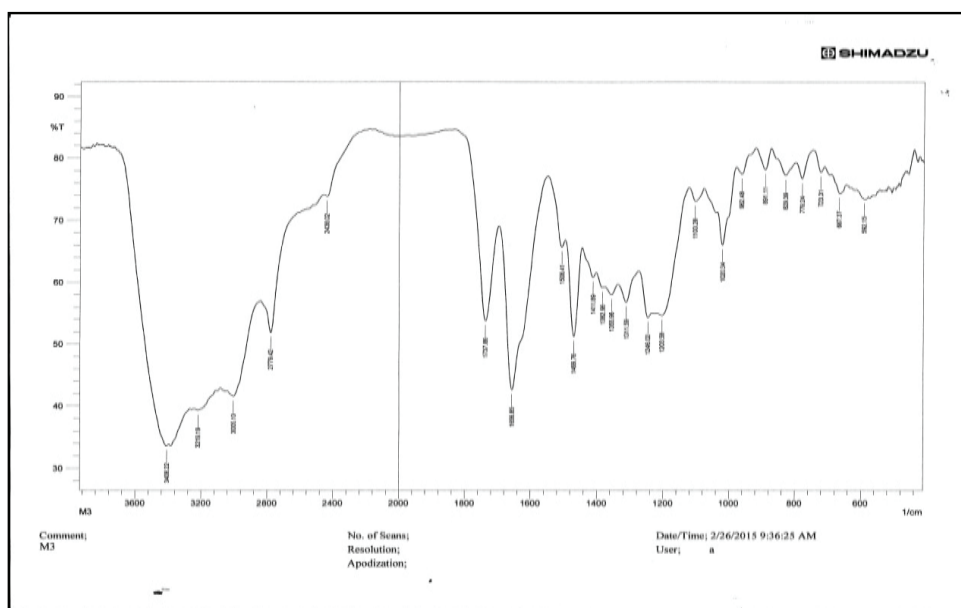
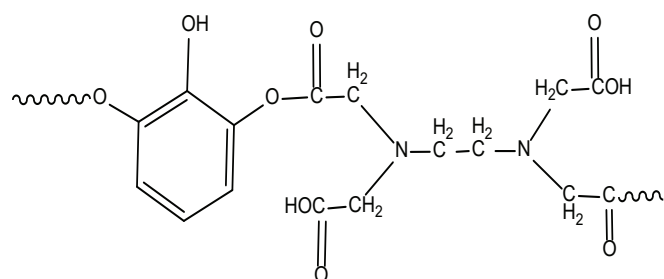
جدول(3): النسبة المئوية لالانتفاخ للبوليمرات المحضر

Day	%Swelling		
	H <sub>1</sub>	H <sub>2</sub>	H <sub>3</sub>
1	3	1.2	2
2	4.1	2.1	2.4
3	4.8	3.2	3.1
4	5.1	3.6	3.5

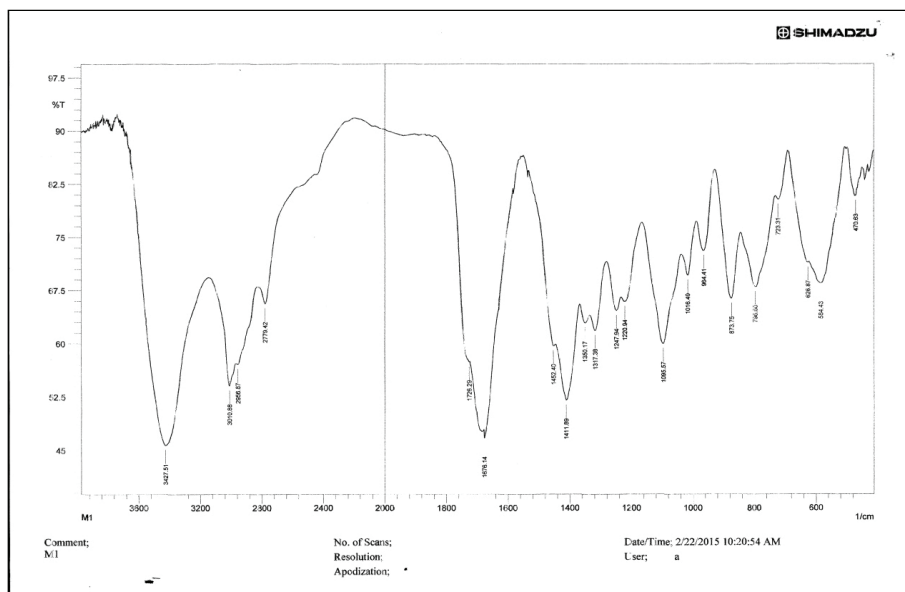
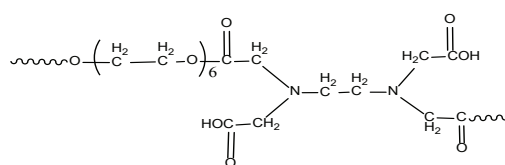




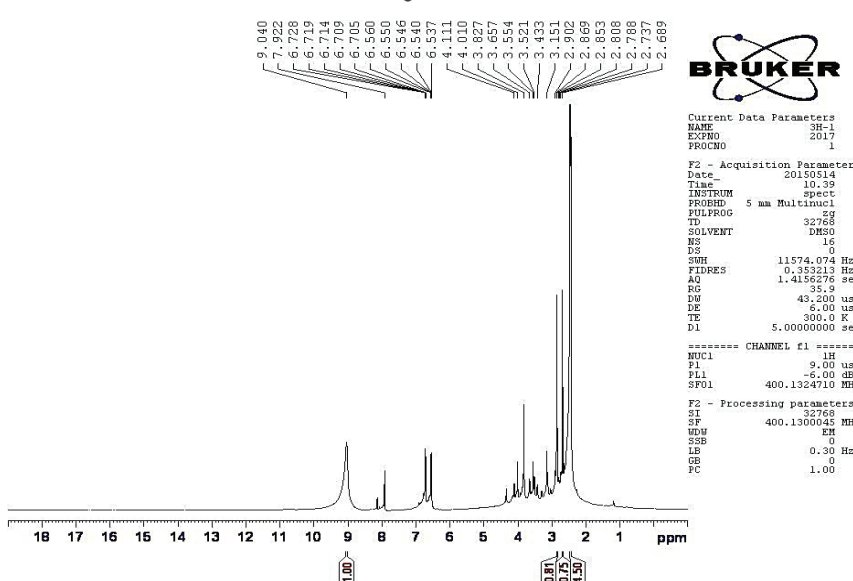
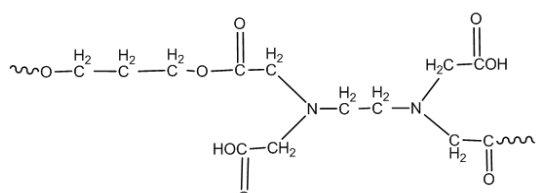
شكل (1): طيف الاشعة تحت الحمراء للبوليمر H1



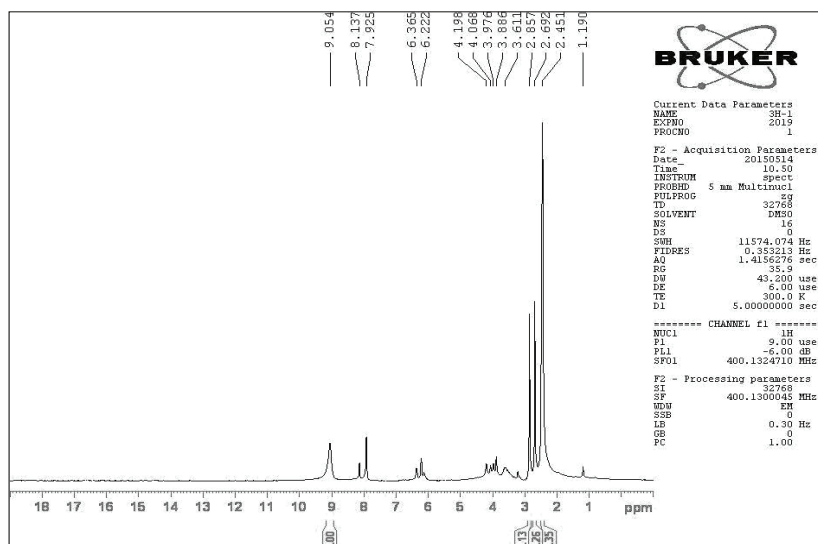
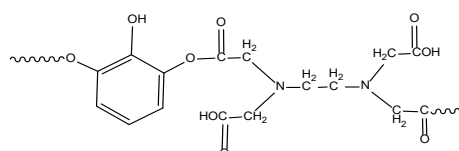
شكل (2): طيف الاشعة تحت الحمراء للبوليمر H2



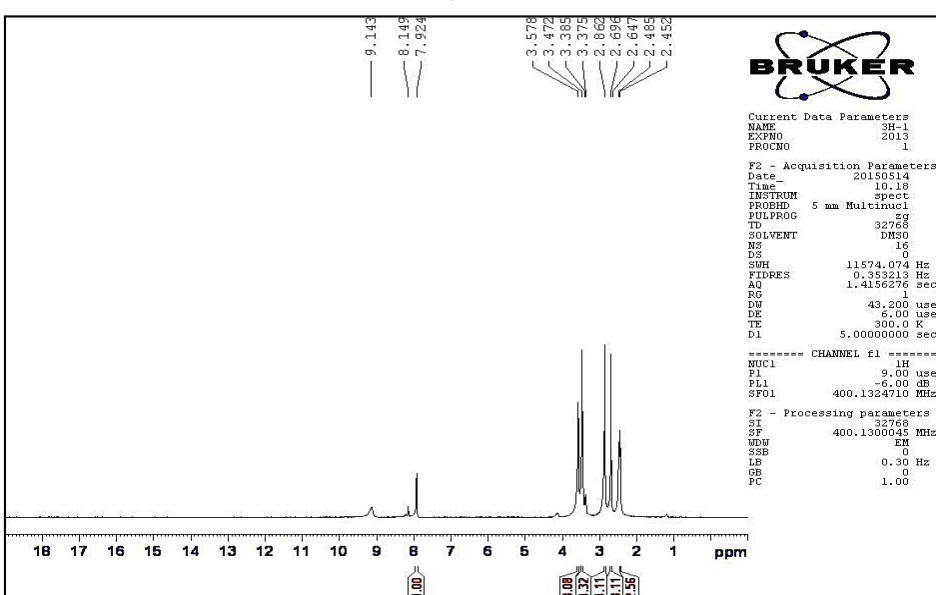
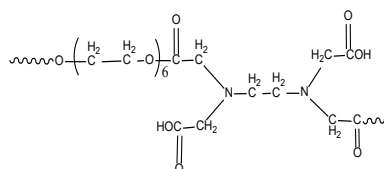
شكل (3): طيف الاشعة تحت الحمراء للبوليمر H3



شكل (4): طيف الرنين النووي  $^1\text{H NMR}$  للبوليمر  $\text{H}_1$



شكل(5): طيف الرنين النووي (1H NMR ) للبوليمر 2



شكل(6): طيف الرنين النووي (1H NMR ) للبوليمر 3



#### 4. الاستنتاجات

- [9] Sahni S.K., Reedijk J., *Coord. Chem. Rev.* Vol.59, P.1-139 ,(1984).
- [10] Firyal A. and Hieder R., *Iraqi National Journal of Chemistry* Vol.47, P. 370- 377, (2012).
- [11] Bartulin J., Zunza H., Parra M., and Rivas B., *Polymer Bulletin* Vol. 16, P. 293-298, (1986).
- [12] Firyal A. and Hieder R., *Iraqi National Journal of Chemistry*, Vol.47, P. 370- 377, (2012).
- [13] Hussain R. and Ravikumar R., *polymer science* Vol. 88, P.414-421, (2003).
- [14] Sandeep K. and Mamta C., *International Journal of Advanced Research in Physical Science* Vol. 2, P. 27-33, (2015).
- [15] Tuelue M. and Geckeler K.E., *Polym. Int.* Vol.48, P.909-914, (1999).
- [16] Arsalani N. and Hosseinzadeh M. , *Iran. Polym.* Vol.14, P.345-352, (2005).
- [17] Dakhil N., Khudheyer J. and Hutham A, *Journal of Babylon University* Vol. 25, P.473-480, (2017).
- [18] Ruiz J., Mantecon A. and Cadiz V., *Polym.* Vol.42, P.6347-6354, (2001).
- [19] Arsalani N. and Mousavi S.Z., *Iran. Polym.* Vol.12, P.291-296, (2003).
- [20] Tuelue M. and Geckeler K., *Polym. Int.* Vol.48, P.909-914, (1999).
- [21] Silverstein R., Webster F. and Kiemle D.” *Spectrometric Identification of Organic Compounds*” New York, John Wiley and Sons,7thedn., P. 72, (2005).
- [22] Donald L., Pavia G., Lampman G. and Kriz J. “*introduction to Spectroscopy*” Cengage Learning, 4thedn., P. 177, (2008).
- تميزت البولимерات المحضره بكونها مستقرة ولا تتأثر بالرطوبة والضوء وقد تم التأكيد من ذلك من خلال اعاده فحص البولимерات بالـ FTIR بعد شهرين من تحضير البولимерات . طريقة تحضير البولимерات غير مكلفة اقتصاديا ولا تحتاج عوامل مساعدة وانما فقط رفع درجة الحرارة والزمن تؤدي الى نسبة متوج عاليه وذات ذوبانية جيدة في الماء الثنائي مثل فورمايد أيثانول وثنائي مثل سلفوكساید. يمكن دراسة قابلية البولимерات على تكوين معقدات مع العناصر الانتقالية وبالتالي يمكن استخدامها كغاز للأيونات السامة في الماء والتربة .

#### المصادر

- [1] Maryam S., Peyman S. and Zahra K. ,*International Journal of Chemical & Biological* Vol.2, P.36-41,(2012).
- [2] Hakan A. and Mehmet B. ,*Iranian Polymer* Vol. 15, P.921-928,(2006).
- [3] Ioakim K. and John A. , *Polymer Sciences Part A:Polym. Chem.* Vol. 34, P. 2799–2807, (1996).
- [4] Miroslav H. and Majda Z., *Polym.* Vol.44,P.6187–6193,(2003).
- [5] Sangita G., Oswal S. and Ketan C., *Chemical and Pharmaceutical Research* Vol.4,P.705-714, (2014).
- [6] Valerii A., Vladimir N., Svetlana K. and Henric M. Makmmol. *Chem.* Vol.191, P.1759-1743, (1990).
- [7] Sangita G. and Ketan C., *Chemical and Pharmaceutical Research*, Vol. 6, P.705-714, (2014).
- [8] Carother W. and Arvin G., *American Chemical Society* Vol.51, P. 2560-2570, (1929).



# دراسة تأثير إضافة مسحوق الألミニوم على بعض الخواص الميكانيكية ومقاومة الاحتراق للبولي استر غير المشبع

أحمد جاسم محمد

قسم علوم المواد، مركز أبحاث البوليمر، جامعة البصرة، البصرة، العراق.

تاريخ الاستلام: 2017 / 3 / 31

تاريخ قبول النشر: 2017 / 7 / 20

## Abstract

The study of the effect of aluminum powder on the mechanical properties of unsaturated polyester which is manufactured in the Turkey, as function of the percentages of aluminum powder (0.5%, 0.8%, 1%, 1.5%, 2%, 2.5%), at particular size (150)  $\mu\text{m}$ , were investigated through several variables, such as, young's modules, strength, elongation and the flame resistance. The obtained results were the properties (unsaturated polyester/aluminum powder) composites were analyzed as a function of the filler amount. All prepared composites showed improved filler dispersion in the unsaturated polyester matrix, the results lead to that the strength at break will be affected little till the percentage (1.5%), and lowered after that with increasing the percentage also indicate an lowered in young's modules at the percentage (1%). The proportional limit was (2095) N for (0.8%), and the observe that the average time of burning starts strong impact when (0.5%) as increasing to (168 sec) and then begins to decline behavior when increasing proportions weighted and then increasing behavior when increasing proportions when (2.5%) as increasing to (195) sec.

## Key words

Unsaturated polyester, Aluminum powder, Filler amount.

## الخلاصة

تم إضافة مسحوق الألミニوم كحسوات مالة وبنسبة وزنیه (0.5%, 1%, 1.5%, 2%, 0.8%) وعند حجم دقائق للحسوات مساو او اقل من (150) mm لبوليمر البولي استر غير المشبع ذو المنشأ التركي. في هذا البحث قمنا بدراسة بعض الخصائص الميكانيكية للخلط مثل معامل يونك والمرنة ومقاومة اللهوبيه وقوه الشد عند القطع، ومن النتائج العملية قد تم تحليل الحسوات كدالة لكمية من كمية مسحوق المضاف. وأظهرت جميع النهازج المحضرة تحسن في انتشار المضاف بشكل متجانس في البولي استر غير المشبع، وان زيادة نسبة المضاف من مسحوق الألミニوم مع البولي استر عند النسبة المئوية (1.5%) تضفي زيادة صفة الصلادة على بقية النهازج عند النسب الوزنية المختلفة للخلط، وبينت النتائج العملية عند النسبة الوزنية (%) 1.5 بأن سلوك قوه الشد عند القطع للخلط يكون ذو تأثير قوي، وبعدها يبطر قيمته عند زيادة النسب الوزنية للمضاف. وتكون قيمة معامل يونك للخلط عند النسبة (1%) منخفضة مما يعكس مرone البولي استر المضاف إليه مسحوق الألミニوم والذي يكون له مدى واسع التطبيقات الصناعية. أقصى قيمة لحد التنااسب التي تم الحصول عليها من النتائج العملية هي (2095 نيوتن) للنسبة الوزنية (% 0.8)، ونلاحظ بان معدل زمن الاحتراق يبدأ بتأثير قوي عند النسبة (0.5%) إذ تصل قيمته إلى (168) ثانية وبعدها يبدأ السلوك بالانخفاض عند زيادة النسب الوزنية وبعدها يزداد إلى إن يصل إلى أقصى قيمة عند النسبة (2.5%) إذ تصل قيمته إلى (195) ثانية..

## الكلمات المفتاحية

البولي استر غير المشبع، مسحوق الألミニوم، الحسوات المالة.



خشوات فعاله وعضوية وخشوات غير فعاله وغير عضوية [10,9] . تم دراسة الخواص الميكانيكية لبعض المواد البوليميرية والمضارف إليها الخشوات بشكل واسع، فقد قام الباحث[11] في عام (2009) بدراسة الخواص الميكانيكية للبولي استر غير المشبع المدعوم بدقاقيط الالمونيا السيراميكية وقد استعمل دقائق بأحجام مختلفة مع كسر حجمي مختلف وقد وجد أن قيم الصلادة والصدمة تزداد مع زيادة الكسر الوزني وقيم التوصيلية الحرارية تزداد بزيادة الكسر الوزني للدقائق السيراميكية والتي بلغت  $0.319 \text{ W/m} \cdot \text{°C}$  عند كسر وزني (20%). وفي عام (2012) درس الباحث [12] بعض الخواص الميكانيكية مثل مقاومة الانحناء واختبار الصدمة للبولي استر المطعم بالرايش ومسحوق النحاس وقد وجد من خلال النتائج العملية ان أقصى مقاومة انحناء للمادة البوليميرية المقواة بالنحاس) المسحوق والرايش(هي  $85.13 \text{ Mpa}$  و  $50.08 \text{ Mpa}$ ) على التوالي، بينما أعلى طاقة ممتصة في فحص الصدمة للمادة البوليميرية المقواة بالنحاس) المسحوق والرايش(هي  $0.85 \text{ J}$  و  $0.4 \text{ J}$ ) على التوالي. إما في هذا البحث فقد تم دراسة بعض الخواص الميكانيكية مثل الصلادة والمرنة (الاستطالة) ومعامل يونك للبولي استر المطعم بمسحوق الألミニوم محاولة للمساهمة في الاستفادة من المخلفات الصناعية والتخلص منها (تدوير النفايات) خدمةً للاقتصاد الوطني والمحافظة على البيئة.

## 2. الجانب العملي: Side Experimental

### 2.1. المادة الأساسية:

استعمل في هذا البحث البولي استر غير المشبع (Polyester) كمادة اساس وهو مادة بوليميرية من نوع البوليميرات المتصلدة بالحرارة (Thermosetting) ذو المنشأ التركي والمجهز من شركة Henkel A.S التركية ، وهو من البوليميرات التي تستخدم كمادة لاصقة في مختلف

## 1. المقدمة: Introduction

أن المدى الواسع للخواص الفيزيائية للبوليمرات ساهم وبشكل كبير في أتساع مدى تطبيقها الصناعي ومنها مرونتها (Elasticity) وشفافيتها (Transparency) وقوتها (Strength)، والكثير من الخواص الميكانيكية المختلفة التي تتطلبها الاستخدامات العملية لهذه البوليمرات. أذ يمكن من خلال معرفة وفهم الخواص الفيزيائية للبوليمرات إدخال الكثير من التحسينات على البوليمرات بطرق كيميائية او تكنولوجيا متعددة [1]. تضاف إلى البوليمرات العديد من المضافات المختلفة (Additives) لتحسين أو إدخال بعض الخصائص المرغوبة في البوليمرات ومنها مضادات الأكسدة والخشوات والعوامل المانعة للشحنة المستقرة والعوامل الملونة والعوامل المللنة والمبثبات وغيرها [3,2]. تضاف بعض الحشوات (Fillers) إلى البوليمرات لغرض تحسين صفاتها الفيزيائية والميكانيكية والحرارية. وتعتبر الخشوات مواد صلبة خاملة كيميائياً تضاف الى البوليمير لتحسين واحدة او أكثر من صفاتها. او لتقليل كلفة انتاجها في بعض الأحيان، ويسمى المزيج الناتج بالبوليمرات المترابطة (Composite) [5,4]. تمتاز المواد البوليميرية المترابطة المقواة بأنواع مختلفة من الألياف الزجاجية والكاربونية والمعدنية باستعمالاتها الواسعة التي أخذت الحيز الأكبر من البحوث السابقة، ولكن من جهة أخرى لم تأخذ المواد البوليميرية المترابطة المقواة بالدقائق الكثير من الاهتمام مقارنة مع المواد المقواة بالألياف. تتكون المواد المترابطة من الطور الأول الذي يعرف بالمادة الأساسية (Matrix) وتكون من مادة مطبلية ذات متانة عالية مثل البوليميرات، أما الطور الثاني فيسمى بطور التقوية (Reinforcement) والذي قد يكون على شكل ألياف، أو دقائق(مسحوق)، أو قشور(من مواد صلبة مثل) بوليميرات، سيراميك، معادن). [6-8] يمكن تقسيم الخشوات من حيث الفعالية والتركيب الكيميائي إلى

تقع ضمن صنف حشوات المعادن [13] ، وهو فلز ذو لون أبيض فضي من مجموعة البورون من العناصر الكيميائية، وهو معدن مطيلي أي قابل للسحب. وهو عنصر لا يذوب في الماء في الشروط العاديّة، وهو من أكثر الفلزات وفرة في القشرة الأرضية، وتم طحن الألミニوم إلى أجزاء صغيرة جداً فأصبح مسحوق، وبعدها تمت معالجة المسحوق بواسطة مرشح سلكي (جهاز غربلة يدوّي) مساوٍ أو أقل من (150)  $\mu\text{m}$ ، والجدول (1) يوضح خصائص مسحوق الألミニوم ، والشكل (1) يوضح صورة فوتوغرافية لمسحوق الألミニوم .

الصناعات ويكون على هيئة سائل لزجبني اللون ذو رائحة قوية ومميزة ، كثافته بحدود كثافته بحدود 1.5 غم / سم<sup>3</sup> ، ذو لزوجة 1000 (بتي بواز) عند درجة حرارة (25°C) ، يتحول إلى الحالة الصلبة بعد إضافة المصلد إليه الذي يكون أيضاً سائل لزج شفاف (كيتون اثيل الميثيل بيروكسيد) وبنسبة 2٪ والمجهز من الشركة نفسها.

## 2.2. الحشوات

استخدم مسحوق الألミニوم كخشوات مائه مع البوليمر

الجدول (1): بعض خصائص مسحوق الألミニوم المستخدم كخشوات في هذا البحث [14].

اسم المادة	الصيغة الجزيئية	الكتافة g / cm <sup>3</sup>	الكتلة الذرية g / mole	الطور	نقطة الانصهار °C	نقطة الغليان °C	حرارة التبخر KJ / mole
الألミニوم	AL	2.70	26.981	بلص	660	2519	294.0

## 3.2. القالب المستخدم في البحث

تم تصنيع قالب ذو قاعدة وجوانب من الزجاج الشفاف ذو السمك (4 ملم)، وتكون الجوانب متحركة ومرتبطة بالقاعدة بواسطة السليكون المطاط الذي يكون سهل الحركة. هذه الجوانب تكون متغيرة على وفق إبعاد العينة المراد تصنيعها. حيث يكون القالب المستخدم بشكل مستطيل وتكون إبعاده الطول (11) سم، العرض (1.5) سم، الارتفاع (4) ملم.



## 4.2. تحضير النهاذج

تم استخدام الطريقة اليدوية (Hand-lay-out) في تحضير النهاذج (البوليمر مع الحشوات) ، حيث نبدأ بعملية المزج. علماً أن التقوية بكسور وزنه مختلف هي 0.5٪، 0.8٪، 1٪، 1.5٪، 2٪، 2.5٪. وتنجز مادة الأساس مع المصلد عند درجة حرارة الغرفة. ونخلط المزيج بشكل مستمر وبطيء ويستمر المزج لمدة (5-8) دقائق إلى أن يتجانس

الشكل رقم (1): صورة فوتوغرافية توضح مسحوق الألミニوم.

(13) [1977] (ASTMD 638) ، تم الحصول على منحنيات الإجهاد-المطاوعة لجميع النماذج المحضر بواسطة جهاز (Tensile) ، وتم حساب مقاومة الشد للنموذج من خلال العلاقة الآتية [15] ، والشكل (3) يوضح صورة فوتوغرافية لجهاز الخواص الميكانيكية.

$$Q = \frac{F}{A} \quad (N/mm^2)$$

حيث  $F$  = قوة القطع (نيوتون) و  $A$  = مساحة مقطع العرضي للنموذج (ملم<sup>2</sup>).

ومن المعادلة الرياضية التالية يمكن حساب وحسب

معامل يونك للنماذج المحضر للخلط:

$$Y = \frac{Stress}{Strain} \quad (\text{Young's modulus})$$

حيث ان:

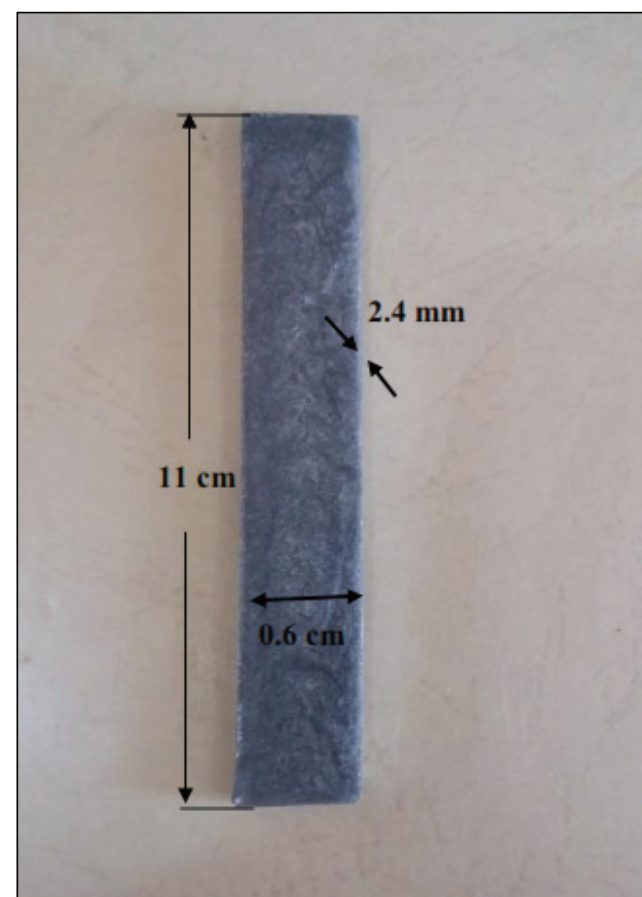
: الإجهاد (ميكا باسكال).

: المطاوعة (الاستطالة).



الشكل رقم (3): يوضح صورة فوتوغرافية تبين جهاز قياس بعض الخواص الميكانيكية (Tensile).

الخلط بشكل جيد، ثم يتم صب المزيج السائل على شكل سيل من إحدى جوانب القالب بحيث يسيل بصورة مستمرة ومنتظمة إلى الجانب الآخر للقالب، ثم يوضع القالب على هزاز ميكانيكي يدوي، ونبأ عملية هز القالب لفترة زمنية مقدارها (1-2) دقيقة للتخلص من الفقاعات الهوائية. والشكل (2) يوضح صورة فوتوغرافية للنموذج المحضر للبولي استر المضاف إليه مسحوق الألミニوم.



الشكل رقم (2): صورة فوتوغرافية تبين قياسات نموذج فحص مقاومة الشد و مقاومة الاحتراق.

## 5.2. جهاز قياس النماذج

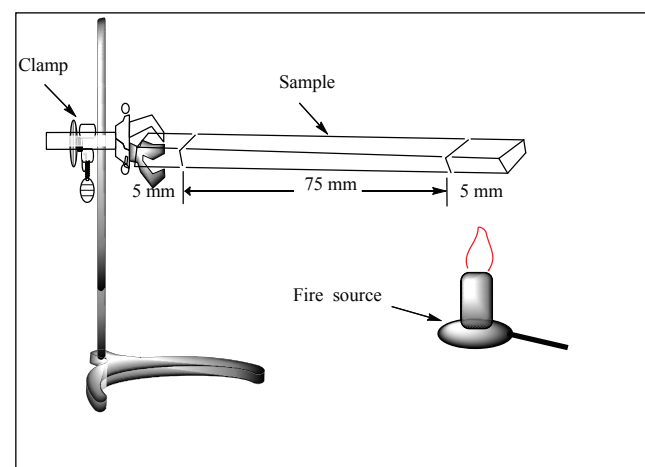
استخدمنا تم في هذا البحث جهاز (Tensile) ذو المنشأ الألماني لقياس بعض الخصائص الميكانيكية للبولي استر المضاف إليه مسحوق الألミニوم مثل مقاومة الشد والاستطالة. تم قياس النماذج المحضر للخلط ضمن المواصفات العالمية



عند زوال القوة المسلطة على النموذج لأن الطاقة المضروفة تكون مخزونه وبشكل طاقة مرن، وعندما يتتجاوز النموذج هذه الجزء من المنحنى فإما إن يضعف عند نقطة معينة عندما يكون البوليمر مرناً وبذلك يقل الإجهاد المسلط عليه وإنما إن يتمزق عندما يكون البوليمر غير مرن (هشاً)، وإن أقصى قوة مسلطه يتحملها النموذج قبل أن يضعف تدعى قوة الشد والتي تمثل نقطة الخصوع (انتهاء السلوك المرن في البوليمر). بعد منطقة الوهن (الضعف) نلاحظ زيادة الجهد المسلط بصورة تدريجية، ويعود سبب ذلك إلى ترتيب جزيئات البوليمر (السلسل البوليمرية) باتجاه محور سحب النموذج المحضر (البوليمر مع المضاف) وبذلك تزداد القوة المسلطة على النموذج وبزيادة هذه القوة يبلغ النموذج مرحلة التمزق. إذ نلاحظ بأن أعلى قيمة للاستطالة العظمى (المرونة) كانت (25.5٪) عند النسبة (0٪) (عند البوليمر النقى)، أما أقل قيمة للاستطالة العظمى (المرونة) كانت (5.7٪) عند النسبة (٪2)، أما تائج قوة الشد (الصلابة) فكانت قيمتها عند النسبة (٪0.5) (47.1 MPa)، بينما قيمة قوة الشد عند النسبة (٪0) هي (0 MPa). وهذا يقودنا بأن البوليمر عند النسبة (٪0) عالي المرونة وقليل الصلادة بعكس البوليمر عند إضافة النسب المئوية للحسووات فتكون قليل المرونة وعالي الصلادة وهذا ما نلاحظه من خلال قيم بعض الخواص الميكانيكية للبولي استر المضاف إليه مسحوق الألミニوم في الجدول رقم (2). الشكل (6) يبين معدل زمن الاحتراق مع نسب المضاف الوزنية من مسحوق الألミニوم، إذ نلاحظ بأن السلوك يبدأ بتأثير قوي عند النسبة (0.5٪) إذ تصل قيمته إلى (168) ثانية وبعدها يبدأ السلوك بالانخفاض عند زيادة النسب الوزنية ثم يزداد ويشذ هذا السلوك عند النسبة الوزنية (٪1) مما يدل على أن زيادة نسبة مسحوق الألミニوم لها تأثير سلبي على مقاومة اللهوية وانتشار الحرارة خلال المصفوفة البوليمرية حيث نحصل على انخفاض عند النسبة من المنحنى (السلوك المرن) يستعيد النموذج شكله الأصلي

## 6.2. قياس معدل زمن الاحتراق:

تم قياس معدل زمن الاحتراق (Average Time of Burning ATB) ومعدل الاحتراق لكل نموذج بواسطة جهاز قياس معدل الاحتراق وحسب الطريقة القياسية 81 [16 - ASTM D635]. حيث تم حساب الزمن اللازم لاحتراق النموذج إلى مسافة (75) مليمتر من النهاية الحرة له، كذلك تم إعادة القياس ثلاث مرات لكل نموذج وتم استخراج متوسط القيم والشكل (4) يوضح رسم تخطيطي لجهاز قياس زمن الاحتراق.



الشكل رقم (4): رسم تخطيطي لجهاز قياس معدل زمن الاحتراق.

## 3. النتائج العلمية والمناقشة: Results and Discussion

الشكل (5) يوضح منحنيات الإجهاد - المطاوعة للنسب الوزنية (0.8, 0.5%, 1.5%, 1%, 2%) التي تم الحصول عليها من النتائج العملية. نلاحظ من الشكل (5) بأن القسم الأول من منحنى الجهاد-المرونة يمثل قانون هوك (هو عبارة عن خط مستقيم وهذا يمثل مرونة النموذج)، وبعد ذلك نلاحظ بأن المنحنى يميل قليلاً والذي من خلاله يمكننا الحصول على معامل المرونة للنموذج، وفي هذا الجزء من المنحنى (السلوك المرن) يستعيد النموذج شكله الأصلي

(%) 160) ثانية، أما عند النسبة الوزنية (%) 1 فلربما عدم تجانس المضاف بشكل قوي مع السلاسل البوليميرية الأمر الذي أدى إلى شذوذ البوليمر عند هذه النسبة الوزنية من المضاف، وبعدها يبدأ السلوك بالانخفاض عند زيادة النسب الوزنية ومن ثم يزداد إلى إن يصل إلى أقصى قيمة عند النسبة (2.5%) إذ تصل قيمته إلى (195) ثانية. الشكل (7) يمثل قيم حد التناسب للبوليمر (proportional limit) مع النسب الوزنية، فتم الحصول على قيم حد التناسب من منحنيات الإجهاد-المطاوعة للبوليمر مع نسب المضاف عندما يكون المنحنى خطأً مستقيماً لكل نسب المضاف (مسحوق الألミニوم). إذ نلاحظ بان أقصى قيمة حد التناسب هي (2095) نيوتن والتي كانت عند نسبة الوزنية (0.8%). إذ يكون للخلط (البوليمر مع المضاف) عند هذه النسبة الوزنية التجانس القوي بين مسحوق الألミニوم (المضاف) وجزيئات البوليمر. بينما كانت قيمة حد التناسب (1366) نيوتن والتي تعتبر أقل قيمة عند النسبة الوزنية (0.5%). الشكل (8) يمثل العلاقة بين النسبة المئوية للمرونة (الاستطالة) في النموذج مع النسب الوزنية للخلط، إن سلوك الاستطالة يبدأ بتأثير قوي عند النسبة الوزنية (0%) للبوليمر النقي وهي (25.5%). وبعد ذلك تنخفض قيمة السلوك فتكون (5.7%) عند النسبة الوزنية (2%). إيه يكون الخلط قليل المرونة عند هذه النسبة فيعمل مسحوق الألミニوم على تقليل وسد الفراغات بين جزيئات البوليمر فيحد ويعيق حركة جزيئات البوليمر وبذلك تقل المرونة وتزداد الصلادة، وبعد ذلك تزداد الاستطالة عند زيادة النسب الوزنية للمضاف (مسحوق الألミニوم) إيه عند النسبة (2.5%)، ويكون البوليمر عند هذه النسبة على المرونة وقليل الصلادة لأن عند هذه النسبة من المضاف تكون جزيئات البوليمر حرقة حرقة (غير مقيدة) وبذلك تقل صلابة البوليمر وتزداد مرونته. الشكل (9) يمثل العلاقة بين مسحوق الألミニوم والنسب الوزنية للخلط (مسحوق الألミニوم مع البولي استر) والذي يعرف على انه نسبة الجهد المسلط (Stress) إلى المرونة في النموذج (Elongation) للمواد الصلبة فقط، ويتبين من الشكل (9) انخفاض قيم معامل يونك (معامل المرونة) عند النسب الوزنية للخلط المحصوره بين (0.8%-1)، وبعد ذلك تزداد قيم معامل يونك لتصل إلى أقصى قيمه له وهي (480.2 MPa) عند النسبة الوزنية (1.5%)، ويفسر انخفاض قيم معامل يونك عند النسبة (1%) والذي قيمتها (280.9 MPa) للخلط إلى انخفاض التجانس الذي يحدث بين جزيئات المضاف مع جزيئات البوليمر عند هذه النسبة الوزنية بالرغم من إن خلط النهاذج جميعها تم في نفس الظروف، وهذا يدل على إن الخلط (البوليمر مع المضاف) يتملك صفة عالية للاستطاله (المرونة) عند هذه النسبة الوزنية ، وهذه النتائج العملية تتطابق مع الأبحاث العلمية التي تدرس الخواص الميكانيكية لمعظم البوليمرات [1]. نلاحظ من الشكل (10) بان مسحوق الألミニوم (الخشوات) يعمل على تقليل خاصية الصلاة (الصلادة) عند البوليمر المستخدم في هذا البحث كما أنه أساس وزيادة صفة المرونة (الاستطالة) الأمر الذي يؤدي إلى أن جزيئات البوليمر (السلاسل البوليميرية) تكون حرقة حرقة غير مقيدة. حيث نلاحظ من الشكل (10) إن سلوك قوة الشد عند الوهن يكون ذو تأثير قوي عند النسبة الوزنية المنخفضة. فتكون قيمة هذا السلوك هي (47.1 MPa) عند النسبة الوزنية المنخفضة وهي (0.5%) والتي تعتبر أعلى قيمة لهذا السلوك، في حين تكون قيمة هذا السلوك هي (25.5 MPa) والتي تعتبر أقل قيمة له. حيث يبدأ السلوك بالانخفاض عند زيادة النسب الوزنية للخلط، أما الشكل (11) فيتبين منه ان سلوك قوة الشد عند للخلط، في حين تكون قيمة هذا السلوك هي (0.5%) وهو يبدأ بتأثير قوي عند النسبة الوزنية المنخفضة وهي (0.5%)، وبعد ذلك يبدأ السلوك بالانخفاض عند زيادة النسب الوزنية للخلط إلى إن تصل (34 MPa) للنسبة الوزنية



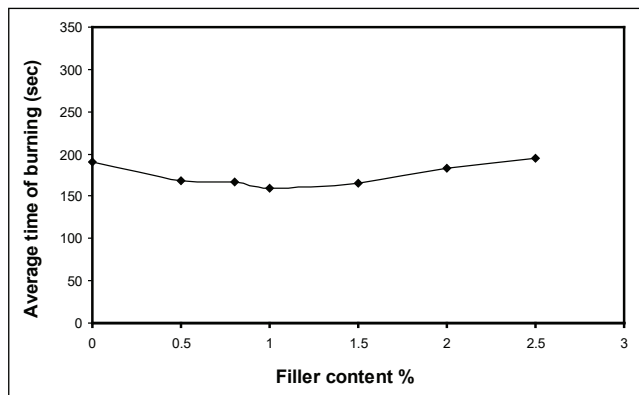
### المصادر:

- [1] M. Kazayawoko, J.J. Balatineaz and L.M. Matuana, Journal of Materials Science, 34, 6189-6199, (1999).
- [2] K.S. Whitley, T.S. Gates, J. A. Hinkley and L.M. Nicholson. NASA, Langley Res. Cen. Hampton, Virginia, 23681, 2199, (2000).
- [3] R.J. Klebe, J.V. Harriss, Z.D. Sharp and M.G. Douglas, 25(2-3), pp ;33-41,(1983).
- [4] W.Callister," Materials science & Engineering an intoduation ", 6th Ed, (2003).
- [5] اريج رياض سعيد، نور الدين رفيق «قسم العلوم التطبيقية ، الجامعة التكنولوجية ، بغداد، مجلة الهندسة والتكنولوجيا ، المجلد 29 ، العدد 15 .(2011).
- [6] W. Bolton, "Engineering Materials Technology", 3th ed., Prentice Hall Co. (1998).
- [7] N. A. Abdullah, A. J. Mohammed, I. K. Ibrahim and F. J. Mohammed, "Effect of the adding of rice husk on the Mechanical Properties for High Density Polyethylene (HDPE)", American Journal of Engineering Research (AJER), Volume 5, Issue-11, pp-221-226, (2016).
- [8] W. A. Radhi, A. J. Mohammed, S. H. Jasim, I. K. Ibrahim, F. J. Mohammed, "Study the effect of Luffa powder (natural additives)on the flame resistance of Low Density Polyethylene (LDPE)", International Journal of Scientific Engineering and Applied Science (IJSEAS) – Volume-2, Issue-2, February (2016).
- [9] A.G. Supri and S. Shuhadah," Properties

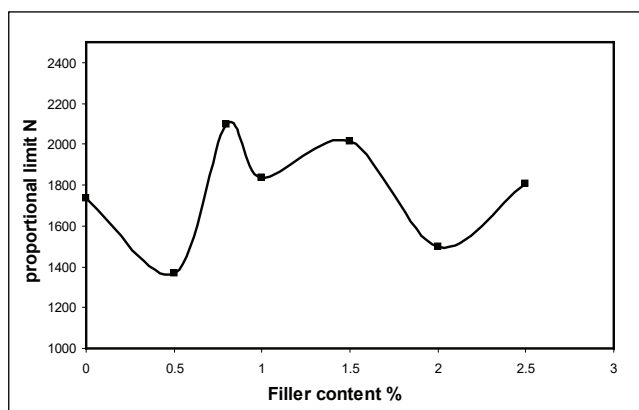
(٪.1)، ويستمر السلوك بانخفاض قيمة عند زيادة النسبة الوزنية للخلط حتى نحصل على أقل قيمة له عند النسبة الوزنية (٪.2) وهي (25.3 MPa)، وهذا يقودنا إلى أن قيمة سلوك الشد عند القطع تقل بزيادة النسب الوزنية للخلط وخصوصا عند النسب الوزنية المحسورة بين (0.8%-1٪). وهذه النتائج تدل على إن المضاف (مسحوق الألミニوم) المستخدم في هذا البحث كحشوارات مالة مع البولي استر يعمل على تحسين صفة الصلاة للخلط (الصلادة) وذلك لمساهمة التوزيع المتجانس بين جزيئات المضاف للهادئة والتي تكون ذات الطبيعة الصلبة [1].

### Conclusion: الاستنتاجات:

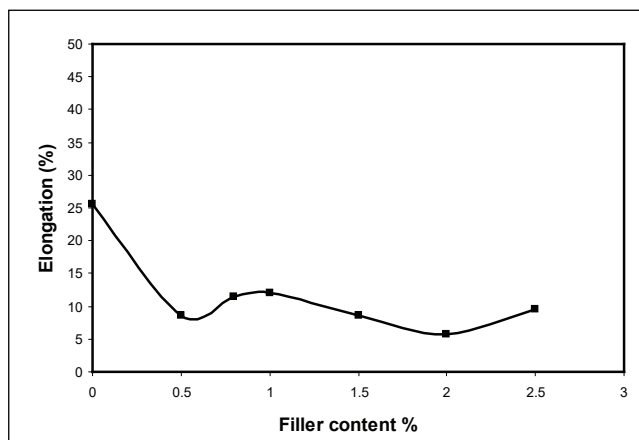
نستنتج من هذا البحث بان إضافة مسحوق الألミニوم إلى البولي استر غير المشبع له تأثير كبير على بعض الخواص الميكانيكية ومنها (الصلادة والمرنة ومعامل يونك). أن نسبة (٪.1) من مسحوق الألミニوم المضاف مع البولي استر في هذا البحث تعتبر النسبة الأفضل من ناحية صفة المرنة (الاستطاله) للبوليمر، أما النسبة الأفضل لصفة الصلاة (الصلادة) للخلط هي النسبة (٪.0.5) نتيجة التوزيع المتجانس لمسحوق الألミニوم مع جزيئات البوليمر والذي يقلل ويفعل المسامات بين السلاسل البوليمرية، معدل زمن الاحتراق في هذا البوليمر يرتبط ارتباطاً مباشراً مع نسبة المضاف الوزنية سلباً أو إيجابياً حيث يتآثر سلبياً مع نسبة المضاف العالية ويجابياً مع النسب المنخفضة نسبة إلى الحالة النقية لبوليمر البولي استر غير المشبع، ويعتبر البولي استر مع النسبة الوزنية (٪.5) للمضاف (مسحوق الألミニوم) الأكثر تحجانساً من باقي النسب الوزنية الأخرى. أقصى قيمة لحد التناسب (2095) نيوتن عند النسبة الوزنية (٪.0.8)، بينما أدنى قيمة لحد التناسب عند النسبة الوزنية (٪.0.5) هي (1366) نيوتن.



الشكل رقم (6): يبين العلاقة بين معدل زمن الاحتراق وتركيز المضاف مسحوق الألミニوم لبوليمر البولي استر .



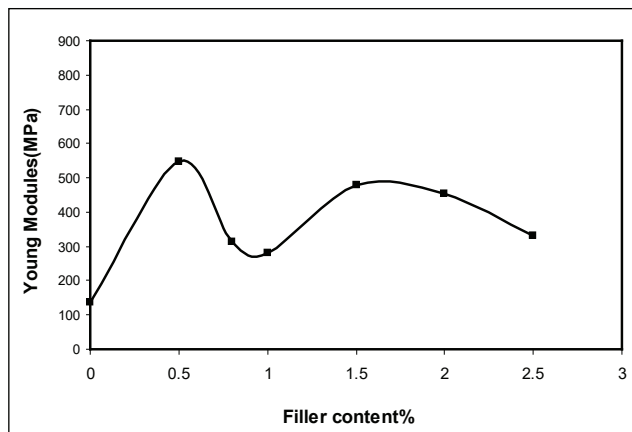
الشكل رقم (7): يمثل العلاقة بين حد التنااسب وتركيز المضاف مسحوق الألミニوم لبوليمر البولي استر .



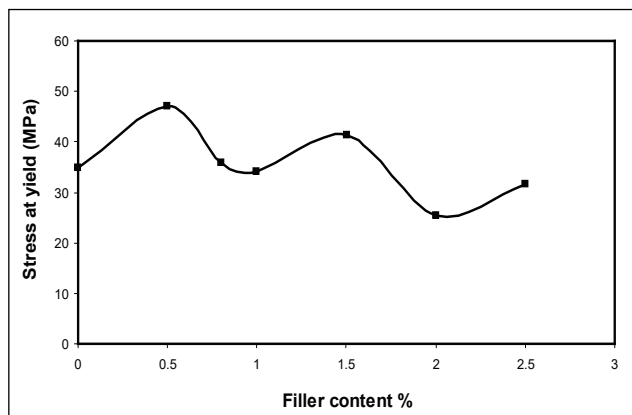
الشكل رقم (8): يوضح العلاقة بين الاستطالة وتركيز المضاف مسحوق الألミニوم لبوليمر البولي استر .

of low density polyethylene(LDPE) / egg-shell powder composites: the effect of ethylene diamine - isophthalic “, International Journal of General Engineering and Technology (IJGET), Vol.1, Issue 2 Nov. PP. 9-18, (2012).

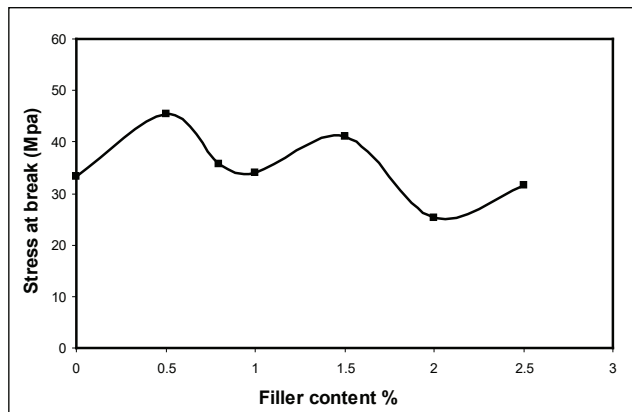
- [10] H. A. Hamadi, N. A., Wael A.S. and A. K. journal of al-qadisiyah for pure science, Vol.16, PP. 1-10,(2011).
- [11] إنعام وادي وطن،“ دراسة بعض الخواص الميكانيكية والحرارية للبولي استر غير المشبع والمدعّم بدقائق سيراميكية ”، مجلة ديلى، العدد 3 ، 2009 .
- [12] علي حسين عتيوي ، ليث وضاح ، اسيل محمود عبدالله،“ دراسة بعض الخواص الميكانيكية لمدة بوليمرية مقواة برايشن ومسحوق النحاس ”، مجلة الهندسة، ايار، العدد 5 ، مجلد 18 ، 2012 .
- [13] B. V. Kokta, R. G. Raj, D. Maldas and C.Daneault, J. Appl. Polym. Sci. , 37,1089-1103 (1989).
- [14] F. John C. and D. E. Mapother. “Superconducting Transition in Aluminum”. journal of Physical Review. 111 (1): 132–142. (1958) .
- [15] العزاوي علي، الدباغ بلقيس، الحداد سلام ”مجلة الهندسة والتكنولوجيا، العدد 13 ، المجلد 28 ، (2010) .
- [16] Annual book of ASTM standards,. Front Cover. American Society for Testing and Materials. Part-35, (1981).



الشكل رقم (9): يبين العلاقة بين معامل يونك وتركيز المضاف مسحوق الألミニوم لبوليمر البولي استر .



الشكل رقم (10): يمثل العلاقة بين قوة الشد عند الوهن مع تركيز المضاف من مسحوق الألミニوم البولي استر .



الشكل رقم (11): يوضح العلاقة بين قوة الشد عند القطع وتركيز المضاف الألミニوم لبوليمر البولي استر .

# الاستخدام الوقائي للمستخلص المائي للزنجبيل ضد ذيفان حال الدم ألفا المستخلص من بكتيريا الأشريشيا القولونية في الفأران

وفاء صادق محسن الوزني

قسم علوم الحياة، كلية العلوم، جامعة كربلاء، العراق.

تاريخ الاستلام: 13 / 7 / 2017

تاريخ قبول النشر: 14 / 8 / 2017

## **Abstract**

This study was designed to explain the prophylactic use of hot aqueous extract of ginger (*Zingiber officinale*) in mice injected with  $\alpha$ -hemolysis toxin was extracted from *Escherichia coli* bacteria by cold centrifuge and then partially purified using (75%) saturation of ammonium sulfate followed by ion exchange chromatography with DEAE-cellulose. The optimal prophylactic dose of extract was (20) mg/mouse that gave (100%) survival rate in mice injected with lethal dose of toxin (100) mg/ (0.5) ml. There was reduction in the total number of WBC in mice injected with LD50 (29.4)mg / (0.5ml) reached to ( $4 \times 10^3$ ) cell /ml compared to control while increased level of pro-inflammatory cytokines such as TNF- $\alpha$  (220) pg/ml, IL-6 (146) pg /ml and IL-1 $\beta$  (201) pg/ml in this group compared to control .While the mice group injected with prophylactic dose of plant extract before injected with LD50 of toxin showed increase total number of WBC ( $6 \times 10^3$ ) cell/ml and decrease in level of pro-inflammatory cytokine TNF- $\alpha$  (140) pg /ml, IL-6 (120) pg/ml and IL-1 $\beta$  (166) pg/ml in compared with group injected with LD50 of toxin only from this results concludes that the hot aqueous extract of ginger have anti-inflammatory activity inside body.

## **Key words**

*Zingiber officinale*, *E.coli*,  $\alpha$ -hemolysis toxin, Pro-inflammatory cytokins.

## الخلاصة

صممت الدراسة الحالية لبيان التأثير الوقائي للمستخلص المائي الساخن لنبات الزنجبيل (*Zingiber officinale*) في الفئران المحقونة بذيفان حال الدم الفا (*Hemolysin-α*) الذي تم استخلاصه من مزروع بكتيريا *Escherichia coli* من خلال فصل الراسح الجرثومي بالطرد المركزي المبرد ومن ثم تنقية جزئياً باستعمال الترسيب بكبريتات الأمونيوم بنسبة اشباع (75%) وكروماتوغرافي التبادل الأيوني باستخدام عمود المبادل الأيوني *DEAE-Cellulose*.

قدرت الجرعة الوقائية المثلث من المستخلص النباتي بـ (20) ملغم / فأرة والتي اعطت نسبة نجاة (100%) في الفئران المحقونة بالجرعة المهدمة الكلية من الذيفان البالغة (100) ملغم / (0.5) ملليلتر. انخفض عدد خلايا الدم البيض الكلي في الفئران المحقونة بالجرعة القاتلة النصفية من الذيفان والبالغة (29.4) ملغم / (0.5) ملليلتر ليصل الى (103×4.3) خلية / ملليلتر مقارنة بالسيطرة في حين ارتفع مستوى الحركيات الخلوية قبل الالتهاب  $\alpha$ -TNF و IL-6 و IL-1 $\beta$  في تلك المجموعة ليصل الى (201-146-220) ييكوغرام / ملليلتر على التوالي مقارنة بالسيطرة . كما اظهرت مجموعة الفئران المحقونة بالجرعة الوقائية المثلث من المستخلص قبل حقنها بالجرعة القاتلة النصفية من الذيفان ارتفاع ملحوظ في عدد خلايا الدم البيض ليصل الى (6×103) خلية / ملليلتر وانخفاض في مستوى الحركيات الخلوية ليصل الى (140-120-166) ييكوغرام / ملليلتر لكل من  $\alpha$ -TNF و IL-6 و IL-1 $\beta$  على التوالي عند مقارنتها بالمجموعة المحقونة بالجرعة القاتلة النصفية من الذيفان فقط من هذا نستنتج ان للمستخلص المائي الحار للزنجبيل تأثير مضاد للتفاعلات الالتهابية داخل الجسم الحي .

## الكلمات المفتاحية

الزنجبيل، بكتيريا القولون، ذيفان حال الدم الفا، الحركيات الخلوية قبل الالتهاب.

كالخلايا العدالة (Neutophils) والخلايا وحيدة النواة (Monocyte) او بالتحفيز المتخصص للجهاز المناعي والمتمثل بالتفاعلات الخلوية والخلطية التي تنظم انتاج الاجسام المضادة (Antibodies) في الجسم [6].

يعد نبات الزنجبيل (*Zingiber officinale*) واحد من تلك النباتات الطبية باعتباره مصدرًا للمركبات الفينولية كما يتميز بامتلاكه فعاليات بایولوجیة مختلفة اهمها عمله كمضاد لالتهاب والاكسدة وذو فعالية مضاده للجراثيم تمكنه من تقليل امراضية العديد من الاجناس الجرثومية وتشييظ انتاج عوامل ضراوتها [7,8]. كما لوحظ ان استخدام مستخلص نبات الزنجبيل سيعمل على تقليل التشوهات الكروموسومية وتلف جزيئات DNA المرافق لبعض الاصابات، فضلا عن دوره المحسن للاستجابة المناعية الخلوية والخلطية في المضيف الممثل بايقاف عملية القتل الخلوي المبرمج والتتخر الخلوي للخلايا اثناء الاصابات الجرثومية مع عمله لتقليل حدة التفاعلات الالتهابية [9] لذا جاءت هذه الدراسة للوقوف عند امكانية استخدام المستخلص المائي الحار لنبات الزنجبيل ضد التأثير المرضي لذيفان حال الدم الفا المنتج من البكتيريا المعاوية المسؤولة عن العديد من الاصابات الخطيرة خصوصا عند الاطفال ودراسة تأثيره المعدل لمؤشرات المناعة الذاتية في جسم العائل.

## 2. المواد وطرق العمل :

### 1.2. الحيوانات المختبرية:

استعملت ذكور الفئران المختبرية البيضاء من الضرب Balb/c بمعدل عمر (15-20) اسبوع وزن (26±3) غم عند بداية التجربة والتي جهزت من كلية الصيدلة جامعة كربلاء ووزعت في اقفاص لدائنة بهيئة مجامية بحسب حاجة التجربة مع الاستمرار بتجهيزها بالماء والعليقة المتكاملة وتوفر الظروف البيئية المناسبة المتمثلة بدرجات الحرارة

## 1. المقدمة:

تعد بكتيريا *Escherichia coli* من الفلورا الطبيعية في امعاء الانسان تستوطن الطبقة المخاطية للقولون وتبقى تعايشية مع مضييفها حيث تلعب دوراً مهماً في الحفاظ على ثبات اعداد الفلورا الطبيعية في الامعاء والمحافظة على توازنها [1]. كما توجد سلالات مرضية من تلك البكتيريا تعد احد اسباب اصابات الاسهال عند الرضع حيث تسبب التصاق او طمس الزغبيات وتكوين تراكيب كاسية عند التصاقها بخلايا الغشاء المخاطي لديهم [2]. كما تمتلك تلك السلالات العديد من عوامل الضراوة التي تمكنها من احداث الامماج ومواجهة الجهاز المناعي للمضيف حيث يكون ذيفان حال الدم الفا (Hemolysin- $\alpha$ ) احد اهم تلك العوامل الذي يكون تأثيره على الخلايا المعاوية وجدار الامعاء ناتج من قدرته على تحطيم الغشاء المخاطي المعاوي وتحفيز انتقال البكتيريا الى مجرى الدم اما مباشرة او من خلال تطور العملية الالتهابية في ذلك الغشاء [3].

اكتسب ذيفان حال الدم الفا اسمه من قدرته على تحليل خلايا الدم الحمر ومحاجمة العديد من خلايا الجسم كالخلايا المناعية الخلطية والخلوية [4]. يمتلك الذيفان قدرة عالية على توسيع التفاعل الالتهابي الذي يؤدي الى تلف انسجة المضيف بفعل الحركيات الخلوية قبل الالتهاب مثل TNF- $\alpha$  و IL-1 $\beta$  التي تنتج بكميات كبيرة من الخلايا المناعية المختلفة (الخلايا اللمفية واحادية النواة والخلايا العدالة) استجابتاً لتأثير ذلك الذيفان [5].

تعد النباتات الطبية ومنتجاتها مصدرًا مهمًا للعديد من المركبات الكيميائية الآمنة وغير السامة وذات فعالية بایولوجیة مضادة للجراثيم وللاكسدة وللسرطان كما تعمل المستخلصات النباتية على تعديل الاستجابة المناعية للجسم اما بالتحفيز غير المتخصص للجهاز المناعي من خلال تشويط نظام التمثيم والفعالية البلعمية للخلايا المناعية

مناطق التحلل حول الحفر وحددت العزلة التي اعطت اكبر قطر لمنطقة التحلل لاستخدامها لاستخلاص ذيفان حال الدم الفا [13] .

والرطوبة المناسبتين بالإضافة الى استحسان موافقة لجنة اخلاقيات الحيوان في جامعة الكوفة (Animal Ethics Committee) لأنماط التجارب المتعلقة بالحيوان.

#### 4.2. استخلاص ذيفان حال الدم الفا:

تم تنشية العزلة البكتيرية المتنقة في وسط نقع القلب والدماغ السائل وحضرت بدرجة حرارة (37) م° بحاضنة هزازة لمدة (18) ساعة فقط ثم جمع الراسح بالطرد المركزي المبرد (10000 دوره بالدقيقة لمدة 30 دقيقة) وعقم باستخدام ورق ترشيح ذو ثقوب (0.22) ملي مايكرون [12] عندما قدر تركيز البروتين في الراسح باستخدام طريقة Lowry وجماعته [14] وفعالية التحليلية له بحسب الطريقة المبينة من قبل May وجماعته [15] التي تتضمن تحضير سلسلة تخافيف متدرجة من الراسح البكتيري ثم خلط (400) مايكروليتر من كل تخفييف مع (100) مايكروليتر

من عالق خلايا الدم الحمر وحضرت لمدة (30) دقيقة بدرجة حرارة (37) م° ثم قرات الامتصاصية للخلط بعد ازالة الخلايا الغير متحللة بعملية الطرد المركزي على طول موجي (543) نانومتر. مثلت الفعالية التحليلية مقلوب اعلى تخفييف اعطى تحلل كامل لخلايا الدم الحمر مقارنة بالسيطرة الموجبة المتكونة من خلط (100) مايكرو ليتر من عالق خلايا الدم الحمر مع (400) مايكرو ليتر من ماء حنفية والسيطرة السالبة المتكونة من خلط (100) مايكرو ليتر من عالق خلايا الدم الحمر مع (400) مايكرو ليتر من 0.9٪ محلول ملحى عندما حسبت نسبة التحلل لكل تخفييف وفق المعادلة التالية:

$$\text{نسبة التحلل} = \frac{A}{A_1} \times 100$$

$$A = \frac{\text{قيمة الامتصاص الصغرى}}{\text{قيمة الامتصاص العظمى}}$$

#### 2.2. المستخلاص النباتي:

تم الحصول على درنات الزنجبيل الجاف من الاسواق المحلية في محافظة كربلاء أذ طحت بالطاحونة الكهربائية للحصول على مسحوق ناعم استعمل لتحضير المستخلص المائي الحار وفق الطريقة المبينة في [6]. كما تم تقدير المحتوى الكيميائي للمستخلص باتباع الطرائق الموصوفة من قبل [7] لتحديد وجود الالكلويديات (Alkaloids) و السابونينات (Saponins) والتانينات (Tannins) والفالفونويديات (Flavonoides) والستيرويدات (-Ste-roids) والتربيينويديات (Trpenoides).

#### 3.2. العزلات البكتيرية:

تم الحصول على ستة عزلات سريرية لبكتيريا *E.coli* من مختبر الصحة العام في محافظة كربلاء وبعد تشخيصها بأعتماد الفحوصات المظهرية والبايكيمائية المبينة في [10,11] تم تأكيد التشخيص بأسستخدام عدة التشخيص BioMer Api E20 بحسب تعليمات الشركة المجهزة ieux ، عندما زرعت السلالات البكتيرية المشخصة على وسط غراء الدم لغرض التحري النوعي عن قابليتها على انتاج ذيفان حال الدم الفا من خلال ملاحظة شكل ونوع التحلل الدموي وفق الطريقة المبينة في Santos وجماعته [12] ومن ثم اعتمد التقدير شبه الكمي للتحلل الدموي للراسح الجرثومي المجموع من العزلات البكتيرية المدروسة لتحديد العزلة البكتيرية الاكفاء لانتاج الذيفان حيث وضع (50) مايكروليتر من راسح كل عزلة جرثومية في حفر تم عملها بواسطة الثاقب الفليني على وسط غراء الدم ثم حضرت الاطباقي عند (37) م° وبعد (24) ساعة قيس قطر

- 3.12 - 12.5 - 50 - 100 (ملغرام / 0.5) مليلتر على التوالي ثم حقن (0.5) مليلتر لكل فأرة من كل تركيز وبواسع (5) فئران للتركيز الواحد داخل البريتون وبعد مرور (5) أيام تم حساب عدد الفئران الحية والميتة لكل مجموعة والتي منها حدثت الجرعة القاتلة الكلية والنصفية للذيفان وبحسب المعادلة التالية:

$$LD_{50} = LD_{100} - \sum \left( \frac{a \times b}{n} \right)$$

متوسط الجرعة القاتلة =  $LD_{100}$   
 $a =$  اقل جرعة مطلوبة لقتل الكلي  
 $b =$  عدد الفئران في المجموعة الواحدة  
 $n =$  معدل الوفيات       $a =$  فرق الجرع       $b =$  عدد الفئران في المجموعة الواحدة

## 7.2. تحديد الجرعة الوقائية المثلثي من المستخلص المائي الحار للزنجبيل ضد الجرعة المهلكة الكلية من ذيفان حال الدم ألفا:

حضرت اربعة تراكيز من مستخلص الزنجبيل المائي الحار (10-15-20-40) ملغم \ (0.5) مليلتر ثم حقن (0.5) مليلتر لكل فأرة من كل تركيز وبواسع (5) فئران للتركيز الواحد داخل تجويف الخلب كل (48) ساعة لمدة (20) يوم وبعد نصف ساعة من اخر جرعة تم حقن كل فأرة داخل غشاء الخلب (0.5) مليلتر من الجرعة المهلكة الكلية من الذيفان ثم تم متابعة عدد الفئران الميتة والحياة بعد مرور (5) أيام فقط (18). مع الاخذ بنظر الاعتبار وجود مجموعة سيطرة حقنت بال محلول الملحي الفسلجي بدلا من المستخلص خلال فترة المعاملة.

## 8.2. تأثير الجرعة الوقائية للمستخلص المائي الحار للزنجبيل في أمراضية ذيفان حال الدم الفا في الفئران:

بعد تحديد متوسط الجرعة القاتلة  $LD_{50}$  من ذيفان حال الدم ألفا والجرعة الوقائية المثلثي من المستخلص المائي للزنجبيل قسمت الفئران الى عدة مجاميع تتالف كل مجموعة من (5) فئران:

## 5.2. التنقية الجزئية لمستخلص حال الدم ألفا:

اضيفت بلورات كبريتات الامونيوم تدريجيا الى (100) مليلتر من الراشح الجرثومي وبنسب اشباع متدرجة (25-50-75-100%) مع التحرير المستمر في حمام ثلجي لا تتجاوز حرارته (5) م° وبعد عملية الطرد المركزي المبرد علق الراسب المتكون باقل كمية ممكنة من محلول (0.02) مولار دارئ ترس حامض الهيدروكلوريك ثم جرت ديلزته حيال عدة تبديلات بأخذ استخدام نفس محلول ودرجة حرارة (4) م لدة (48) ساعة عندها رکز محلول بأخذ استخدام السكروز وقدر تركيز الذيفان والفعالية التحليلية له لتحديد نسبة الاشباع المثلثي بعد ذلك نقل المستخلص المتكون الى عمود المبادر الايوني  $(1.5 \times 15)$  DEAE-Celllose سم المحضر وفق ما جاء في [16] ثم غسل العمود بمحلول الموازنة نفسه (M Tris-HCl 0.02 / pH=8) وتم الاسترداد باستخدام محلول الغسل نفسه و بتدرج ملحي من كلوريد الصوديوم (0-1.5 مولار) وبسرعة جريان (0.5) مليلتر / دقيقة وبحجم جزء مقداره (3) مليلتر . تمت متابعة تركيز ذيفان حال الدم الفا بالاجزاء النافذة بقراءة الامتصاص عند الطول الموجي (280) نانوميتر ثم جمعت القمم المتكونة والاجزاء القريبة منها كلا على انفراد وتم ديلزتها حيال عدة تبديلات من الماء المقطر لدة (24) ساعة بدرجة حرارة (4) م° ثم رکزت هذه الاجزاء وقدر تركيز الذيفان فيها والفعالية التحليلية لها.

## 6.2. تحديد الجرعة القاتلة الكلية ( $LD_{100}$ ) والنصفية ( $LD_{50}$ ) لذيفان حال الدم الفا المنقي جزئيا:

حددت الجرعة المهلكة الكلية والنصفية للذيفان باعتماد الطريقة المتبعة من قبل Chined وجماعته [17] فقد حضرت تراكيز ذيفان حال الدم الفا التي أعطت نسبة تحمل (25-50-70-90-100 %) وباللغة 1.56

العالية للذيفان على تحليل انواع مختلفة من خلايا المضيف كخلايا الدم الحمر والبيض من خلال مايحدثه من ثقوب في غشائها البلازمي تلك الثقوب التي تؤدي الى انتفاخها وتقطفها وتحرر المغذيات منها مثل الحديد وجزئيات ATP التي تعد أساسية لنمو الخلايا البكتيرية التي تعمل على انتاج الذيفان في البيئات قليلة المغذيات من اجل بقاءها وانتشارها داخل جسم العائل [19] كما لوحظ ان وجود التراكيز العالية من ذيفان حال الدم ألفا سيؤدي الى الزيادة في نسبة الكالسيوم داخل خلوية واحداث تغيرات شكلية كبيرة تنتهي بتحلل الخلايا وقطفها. لذا اعتمدت طريقة تحمل خلايا الدم الحمر في العديد من الدراسات لتحديد قابلية البكتيريا على انتاج ذيفان حال الدم ألفا [20].

### 2.3. استخلاص وتنقية ذيفان حال الدم ألفا.

بينت نتائج استخلاص الذيفان من الراشح البكتيري الذي فصل عن الخلايا الجرثومية بالطرد المركزي المبرد وجود زيادة ملحوظة بفعاليته التحليلية بعد ترشيحه وديزلته وتركيزه فقد وصلت الفعالية التحليلية للراشح (40) وحدة تحمل / ملليتر والتي تمثل مقلوب اعلى تخفيض اعطى تحمل واضح لخلايا الدم .

اكتد تلك النتائج القابلية العالية للعزلة البكتيرية على افراز حال الدم ألفا الى الوسط الذي تعيش فيه باعتباره احد اهم عوامل الضراوة التي تفرزها البكتيريا الى البيئة المحيطة بها بأعتماد آلية خاصة تتضمن ارتباط ثلاث مكونات رئيسية (HiyB, HiyD, ToIC) لتكوين قناة عبر الجدار البكتيري تربط الغشاء الداخلي والخارجي للبكتيريا والتي من خلاها يعبر الذيفان (HiyA) الى البيئة الخارجية المحيطة بالبكتيريا [21]. كما اظهرت نتائج ترسيب مستخلص الذيفان الخام باستخدام كبريتات الامونيوم بنسبة اشباع (75%) زيادة واضحة في الفعالية التحليلية للذيفان المترسب بعد ديلزته

1) حقن المجموعة الاولى داخل غشاء الخلب بالجرعة الوقائية المثل من المستخلص كل (48) ساعة لمدة (20) يوم وبعد نصف ساعة من اخر جرعة حقن تلك الفتران داخل البريتون بمتوسط الجرعة القاتلة من ذيفان حال الدم ألفا .

2) حقن المجموعة الثانية داخل غشاء الخلب بالجرعة الوقائية المثل من المستخلص فقط .

3) حقن المجموعة الثالثة داخل غشاء الخلب بمتوسط الجرعة القاتلة من ذيفان حال الدم ألفا فقط .

4) حقن المجموعة الرابعة بال محلول الملح الفسلجي فقط كمجموعة سيطرة .

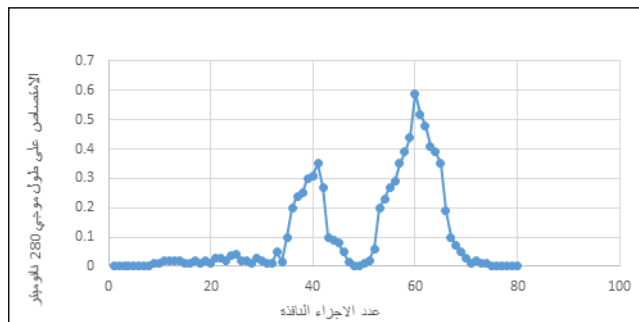
وبعد مرور ثلات ايام لوحظة التغيرات المرضية العينية الظاهرة في مجاميع الفتران مقارنة بمجاميع السيطرة ثم تم تحديد الفتران وسحب منها الدم بطريقة طعن القلب حيث استخدم جزء من الدم لحساب العدد الكلي لخلايا الدم البيض في حين استعمل الجزء الاخر لغرض فصل المصل لاستخدامه في تحديد تركيز كل من TNF.α , IL-1β , IL-6 باستخدام العدة المجهزة من شركة Elabsciens Ltd وحسب تعليمات تلك الشركة باستخدام جهاز الاليزا .

### 3. النتائج والمناقشة:

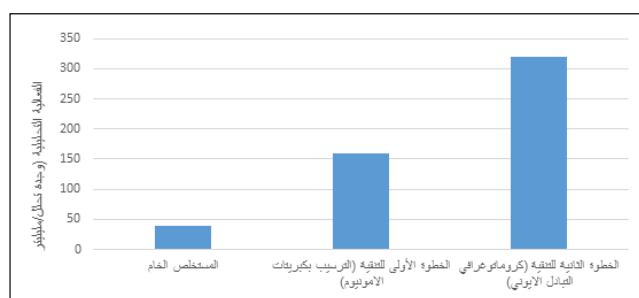
#### 3.1. التحري عن قابلية العزلات البكتيرية على انتاج ذيفان حال الدم ألفا:

اظهرت نتائج التحري النوعي عن قابلية العزلات الجرثومية لانتاج ذيفان حال الدم الفا قابلية ثلاث عزلات بكتيرية فقط على انتاج مناطق تحمل واضحة على وسط غراء الدم وبعد اجراء التقدير شبه الكمي لتركيز الذيفان في راشح كل عزلة من تلك العزلات الثلاثة تم انتقاء العزلة البكتيرية التي اعطى راشحها اكبر منطقة تحمل لغرض استخلاص الذيفان منها حيث بینت الدراسات وجود علاقة طردية بين تركيز الذيفان وقطر منطقة التحلل وذلك بسبب القدرة

الالفة التي تنتهي البروتينات بخطوة واحدة فقط وبالتالي سبب المحافظة على فعالية البروتينات وتقليل فرص تلفها.



شكل (1): كروماتوغرافية التبادل الايوني باستخدام عمود التبادل الايوني DEAE-Cellulose بأبعاد (15×1.5) سم لتنقية الذيفان حال الدم ألا تم الاسترداد بمحلول (0.02) مولار دارئ ترس حامض الهيدروكلوريك ذو (pH=8) ويتدرج ملحبي خطبي بمدى (1.50-1.0) مولار كلوريد الصوديوم بسرعة جريان (0.5) مليلتر / دقيقة وبواقع (3) مليلتر / جزء.



الشكل (2): الفعالية التحليلية لمستخلص ذيفان حال الدم حسب خطوات التنقية.

### 3.3. الجرعة القاتلة الكلية (LD100) والنصفية (LD50) لذيفان حال الدم ألا

تم تحديد الجرعة القاتلة الكلية والنصفية لذيفان من خلال حقن الفئران بالتراكيز التي اعطت نسب تحمل متدرجة (25-50-70-90-%) وبواءع 5 فئران للتراكيز الواحد داخل غشاء الخلب حيث وجد ان الجرعة القاتلة الكلية هي (100) ملغم (0.5) مليلتر) وبنسبة هلاك (100%) بعد مرور (5) ايام في حين وجد ان الجرعة

حيال عدة تبديلات باستخدام الماء المقطر وتركيزه اذ وصلت الفعالية التحليلية له الى (160) وحدة تحمل / مليلتر. ان الزيادة الحاصلة في الفعالية التحليلية للمستخلص تعد دليلا على كفاءة عملية الترسيب باملاحكبريات الامونيوم في الحصول على محليل بروتينية اكثر تركيزا وتحقيق درجة من النقاوة عبر التخلص من البروتينات الملوثة [16]. حيث تميز املاح الامونيوم بذائبيتها العالية وقدرتها على المحافظة على البروتينات ومنع مسخها بالإضافة الى قدرتها على معادلة الشحنات السطحية للبروتينات وأزالة طبقة الماء المحاط بها مؤدية بذلك الى تقليل ذائبية البروتين وترسيبه بتأثير الملح [22]. مرر البروتين المترسب في عمود المبادل الايوني DE- AE-Cellulose وبعد الغسل ومتابعة الامتصاص على الطول الموجي (280) نانومير للأجزاء النافذة لوحظ ظهور قمتين عند الاجزاء (47-34) و(51-70) على التوالي (شكل 1). وعند قياس الفعالية التحليلية للقمم الظاهرة بعد ديلزتها وتركيزها لوحظ وجود فعالية تحليلية وصلت الى (320) وحدة تحمل / مليلتر في القمة الثانية فقط . كما اتضحت ان تركيز كلوريد الصوديوم اللازم لاسترداد الذيفان من عمود المبادل الايوني بلغ (1.25) مولار.

استخدمت تقنية كروماتوغرافية التبادل الايوني كمرحلة ثانية للتنقية للبروتين من قبل العديد من الباحثين حيث ان استعمال مدى ايوني متوسط او محلول دارئ حاوي تراكيز ملحية متوسطة سيعمل على تقليل التداخل الحاصل ما بين البروتين ومادة المبادل مسهلا بذلك استرداد النموذج نتيجة العمل على فك الترابطات الحاصلة بين البروتين والمبادل [16]. لوحظ من النتائج الحالية وجود زيادة مناسبة في الفعالية التحليلية لمستخلص الذيفان المنقى جزئيا بعد كل خطوة من خطوات التنقية مقارنة بالمستخلص الخام كما موضح في الشكل (2) فقد اشارت الدراسات السابقة الى محاولة اختصار خطوات التنقية الى اقل عدد ممكن واعتماد التنقية بطريقة

كما ان الاختلافات في قيم كل من الجرعة المهلكة الكلية والنصفية للذيفان بين الدراسات المختلفة قد يرجع الى طبيعة السلالات الجرثومية التي استخلص منها الذيفان والى ظروف عملية الاستخلاص والتبنقية التي قد تؤثر على فعالية الذيفان المستخلص بالإضافة الى التأثير المباشر لقوه الجهاز المناعي للحيوانات المختبرية المستخدمة في التجربة على الرغم من ان النظام البيايلوجي للذيفان هو نفسه في كل الحالات.

القاتللة لنصف عدد الفئران قد وصلت الى (29.4) ملغم \ (0.5) ملييلتر بعد مرور (5) ايام كما مبين في جدول (1).

توافقت هذه النتائج مع نتائج دراسات سابقة والتي أكدت على وجود زيادة طردية في النسبة المؤدية لعدد الفئران الميتة عند حقنها بتراتيز تصاعدية من ذيفان حال الدم ألفا كا لوحظ ان سلالات بكتيريا *E.coli* المنتجة لذيفان حال الدم ألفا تكون اكثر ضراوة وقدرة على قتل الحيوانات المختبرية من السلالات غير المنتجة لذيفان [15].

جدول (1): الجرعة المهلكة لنصف عدد الفئران من ذيفان حال الدم الفا

$\frac{b \times a}{n}$	النسبة المؤدية للهلاك	معدل الوفيات (b)	العدد الميت للفئران	اختلاف الجرع (a)	الجرعة (ملغم / ٥ , ملييلتر)	عدد الفئران بكل مجموعة (n)	المجاميع
	100%		5		100	5	1
45	80%	4.5	4	50	50	5	2
22.5	40%	3.5	3	37.5	12.5	5	3
2.8	20%	3	3	9.4	3.12	5	4
0.3	20%	2	1	1.6	1.56	5	5
0		0	0	0	0	5	السيطرة
المجموع (T)= 70.6							
الجرعة القاتلة النصفية = اقل جرعة مطلوبة لقتل الكلى - T = 70.6 - 100 = 29.4 ملغرام/0.5 ملييلتر							

لوحظ من خلال النتائج المبينة في الجدول (3) الذي يؤكّد احتواء المستخلص المائي الحار للزنجبيل على كل من الالكلويديات (Alkaloid) (Saponins) السaponينات (Tannins) , الفلافونويديات (Flavonoids) , التаниنات (Terpenoids) , الكلايكوسيدات (Glycosides) , تريبيونويديات (-Terpenoids) والفينولات (Phenolic) في حين لم يلاحظ بآذابة المواد الفعالة في المستخلص النباتي الشيء الذي يهدّد عامل الحرارة من العوامل المهمة التي تساعده وجود стериودидات (Steroids) .

#### 4.3. الجرعة الوقائية المثل من المستخلص النباتي:

تم تحديد الجرعة الوقائية المثل من المستخلص المائي الحار للزنجبيل والبالغة (20) ملغم \ فأرة والتي اعطت نسبة نجاة (100%) في الفئران المحقونة بالجرعة القاتلة الكلية من الذيفان كما موضح في الجدول (2).

تعد جميع تلك المواد فعالة في تدعيم الجهاز المناعي للعائلي بأعتبارها مواد مضادة للأكسدة ومضادة للالتهاب حيث تعمل على تقليل الفعل المرضي للذيفانات من جهة وزيادة عدد الخلايا المناعية ومنع موتها مثل الخلايا البلعمية واللمفية الذاتية (الخلوية والخلطية) الغير متخصصة [23].

جدول (2): الجرعة الوقائية المثلث من المستخلص النباتي

تركيز المستخلص النباتي (ملغم/0.5 ملليلتر)	الجرعة المهدئة الكلية (مايكروغرام/ ملليلتر)	عدد الفئران	العدد الحي الميت	العدد التراكمي الحي	العدد التراكمي الميت	العدد الكلي	النسبة المئوية للهلاك %	النسبة المئوية للنجاة %
10	100	5	1	4	7	8	12.5%	87.5
15	100	5	3	3	6	9	50%	50
20	100	5	0	8	0	8	100%	0
25	100	5	0	13	0	13	100%	0

### 1.5.3 العد الكلي لخلايا الدم البيض في مجاميع الدراسة:

اظهرت النتائج انخفاض في عدد خلايا الدم البيض  $(4.3 \times 10^3)$  خلية / ملليلتر في الفئران المحقونة بالجرعة القاتلة النصفية من ذيفان حال الدم ألفا مقارنة بالسيطرة  $(6.7 \times 10^3)$  خلية / ملليلتر في حين كان هنالك ارتفاع في عدد خلايا الدم البيض  $(7 \times 10^3)$  خلية/ ملليلتر في مجموعة الفئران التي حقنت بالجرعة الوقائية من المستخلص فقط. كما لوحظ ارتفاع في عدد خلايا الدم البيض ليصل الى  $(6 \times 10^3)$  خلية / ملليلتر في مجموعة الفئران التي حقنت بالجرعة الوقائية من المستخلص قبل حقنها بالجرعة القاتلة النصفية من الذيفان مقارنة بالمجموعة التي حقنت بتلك الجرعة من الذيفان فقط شكل (3).

يعمل ذيفان حال الدم الفا في العديد من الحالات المرضية على تحفيز اظهار معقد غشائي من بروتينات سكرية يعرف CD18/11a على سطح خلايا الدم البيض احادية النواة حيث يتوسط ذلك المعقد عملية التصاق متخصصة بين خلايا الدم البيض والخلايا الطلائية في الاوعية الدموية

جدول (3): التحليل الكيمياوي لمستخلص نبات الزنجبيل.

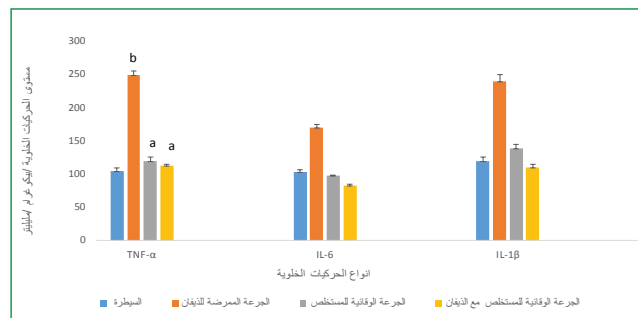
المركبات الكيمياوية	وجود او عدم وجود المادة
Alkaloids	+
Saponins	+
Flavanoids	+
Tanins	+
Glycoside	+
Terpenoids	+
Phenolic	+
Steroids	-

### 5.3. التأثير الوقائي للمستخلص المائي الحر

للزنجبيل ضد التأثيرات المرضية لذيفان حال الدم الفا: اكدت نتائج الدراسة الحالية الدور الوقائي للمستخلص المائي الحر للزنجبيل ضد ذيفان حال الدم ألفا من خلال دراسة المعايير التالية:

ان الارتفاع الملحوظ في معدل مستوى الحركيات الخلوية قبل الالتهاب يعد من الخطوات الاولى لاستجابة الجهاز المناعي للمضييف ضد المرضيات ومنتجاتها والتي تلعب دوراً مهماً لابادتها وتخلص الجسم منها مع ذلك يعمل الانتاج المفرط من تلك الحركيات على تطوير تفاعل التهابي حاد جداً يؤدي الى تلف النسيج وتحطمه [20].

يمتلك المستخلص المائي الحار لنبات الزنجبيل القدرة على تثبيط التفاعلات الالتهابية من خلال العمل على تقليل انتاج الحركيات الخلوية قبل الالتهاب من الخلايا المناعية المختلفة عن طريق تثبيط التحفيز المفرط لتلك الخلايا بواسطة العوامل المرضية مؤدياً بذلك تقليل حدة التفاعل الالتهابي [27, 26]. كما يعمل مستخلص الزنجبيل على تثبيط تضاعف بعض الخلايا اللمفية كالخلايا التائية المساعدة وعلى ايقاف تنظيم اظهار جزيئات معقد التوافق النسيجي الاول والثاني على سطح الخلايا المظهرة للانتجين بالشكل الذي يؤدي الى تثبيط وضيقتها وايقاف قدرتها على انتاج الحركيات الخلوية في موقع الاصابة التي تكون مسؤولة عن تفاقم التفاعل الالتهابي [28].

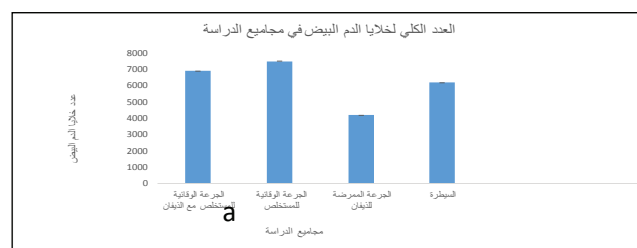


-الحرروف المتماثلة دالة على اختلاف غير معنوي ( $P < 0.05$ )

-الحرروف المختلفة دالة على اختلاف معنوي ( $P < 0.05$ )

شكل (4): مستوى الحركيات الخلوية قبل الالتهاب (-IL-6, -IL-1β, -TNF-α) في مصل جميع الدراسة.

مؤدياً بذلك الى زيادة هجرة وارتشاح خلايا الدم البيض الى مناطق الاصابة الجرثومية وقلة عددها في الدم المحيطي لذا فان تثبيط اظهار تلك المعقّدات بواسطة المركبات الفعالة الموجودة في المستخلصات النباتية كالمستخلص المائي الحار للزنجبيل سيقلل من هجرة خلايا الدم البيض الى موقع الاصابة ويزيد اعدادها في الدم المحيطي [24, 25].



شكل (3): العدد الكلي لخلايا الدم البيض في مجاميع الدراسة.

**2.5.3. مستوى الحركيات الخلوية قبل الالتهاب (IL-6, IL-1β, TNF-α) في مصل جميع الدراسة:** لوحظ من خلال النتائج المبينة في الشكل (4) وجود ارتفاع ملحوظ في مستوى الحركيات الخلوية قبل الالتهاب في مجموعة الفئران المحقونة بالذيفان حال الدم ألفا والتي بلغت (201, 146, 220) بيكوغرام /مليلتر لكل من  $\alpha$ ,  $\beta$ ,  $\text{IL-1}\beta$ ,  $\text{IL-6}$ ,  $\text{TNF-}\alpha$  على التوالي مقارنة بالسيطرة البالغة (170, 116, 130) بيكوغرام /مليلتر على التوالي التي كان معدل مستوياتها في المجموعة المحقونة بالجرعة الوقائية للمستخلص النباتي فقط مقارباً للسيطرة وبالبالغة (139, 98, 120) بيكوغرام /مليلتر على التوالي في حين اظهرت المجموعة المحقونة بالجرعة الوقائية للمستخلص قبل حقنها بالجرعة القاتلة النصفية من الذيفان انخفاض في معدل مستوى تلك الحركيات عند مقارنتها مع المستويات المسجلة في المجموعة المحقونة بالذيفان لوحده والتي وصلت الى (166, 120, 140) بيكوغرام /مليلتر لكافة  $\alpha$ ,  $\beta$ ,  $\text{IL-1}\beta$ ,  $\text{IL-6}$ ,  $\text{TNF-}\alpha$  على التوالي.



- yousaf, H. and Tariq, A. Antimicrobial property and phytochemical study of ginger found in local area of Punjab, Pakistan. Int.Curr.Pharm. J. 4(7):405-409, (2015).
- [9] Sakr, S.A.; Nabi,S.H.; Okdah,Y.A.; Garawani,I.M. and El Shabka, A.M. Cytotoxic effects of aqueous ginger (*Zingiber officinale*) extract against carbimazole-induced toxicity in albino rats. Ejpmr.3(7): 489-497, (2016).
- [10] Baron, E. J. and Finegold, S. M. Diagnostic Microbiology. 8th ed. The C. V. Mosby Company, Baltimore. (1990).
- [11] Collee, J.G.; Fraser, A.G.; Mjarmion , B.P. and Simmons, A. Mackie and McCartney practical medical microbiology. (14th ed.) Churchill. Livingston. USA, (1996).
- [12] Santos, J.A.; Gonzales,C.J.;Otero,A. and Lopez, M.G.Hemolytic activity and siderophore production in different aeromonas species isolated from fish .Appl. Enviro. Micro. 65(12): 5612-5614, (1999).
- [13] Ruiz, M. L.; Silva, P. G. and Laciar, A. L. Comparison of microplate, agar drop and well diffusion plate methods for evaluating hemolytic activity of *Listeria monocytogenes*. Afr.J.Microbiol.Res.3 (6):319-324, (2009).
- [14] Lowry, O.H.; Reschrough, N.J.; Earry, A.L. and Randull,R.J.Protein measurement with folin reagent.J.Biol.Chem.193:265-257, (1951).
- [15] May, A.; Gleason, T.;Sawyer, R. and pruett, T. Contribution of *Escherichia coli*  $\alpha$ -hemolysin to bacterial virulence and in-
- المصادر
- [1] Yan, F.and polk B. Commensally bacteria in the gut: learning our friends curr . opin .Gastro . 20: 565-571, (2004).
- [2] Wiles, T.J.; Kulesus R.R and Mulvey M.A. Origins and virulence mechanisms of uropathogenic *Escherichia coli*. Exp. Molic.Patho.85 (1):11-19, (2008).
- [3] Bettelheim, K.A. and Gold water, P.N. *Escherichia coli* and sudden infant death syndrome. Frontiers. Immune .6(3):1-7, (2015).
- [4] Berube,B.J.; 1 and Wardenburg,J.B. *Staphylococcus aureus*  $\alpha$ -Toxin: Nearly a Century of Intrigue. Toxins .5: 1140-1166, (2013).
- [5] Lehmacher, N.; Meier, H.; Aleksic, S. and Bochemuhl,J.Detection of Hemolysin Variants of Shiga Toxin-Producing *Escherichia coli* by PCR and Culture on Vancomycin-Cefixime-Cefsulodin Blood Agar.App.In-viro.Micro.64(7): 2449-2453, (1998).
- [6] Bolfa, P.; Catio, C.; Gal, A.; Taulescu, M. ; Fit, N.; Nadas, G.; Niculae, M.;Tamas, M.andSpinu, M . Screening of life alcoholic plants extract effect on the immune status of Romanian EIAV infected horses. Rom. Biotech. Litt. 16(6): 6730-6739, (2010).
- [7] Kishk, Y. F. M. and Sheshetawy, H.E. Optimization of Ginger (*Zingeber officinal*) phenolic extraction conditions and its antioxidant and radical scavenging activities using response surface methodology .Wold. J. Dair. Food. Scien. 5(2):188-196, (2010).
- [8] Riaz,H.; Begum,A.; Raza, S.; khan, Z.;

- Megaterium. *Int.J.Pharma.Res and Allie. Scie.* 5(1):65-71, (2012).
- [23] Shaky, S.R. Medicinal uses of ginger (*Zingiber officinale Roscoe*) improves growth and enhances immunity in aquaculture. *Inter.J. Chem.Stud.* 3 (2):83-87, (2015).
- [24] Harun,N.H.; Septama,A.W.and Jantan,I. Immunomodulatory effects of selected Malaysian plants on the CD18/11a expression and phagocytosis activities of leukocytes. *Asian. Pac.J. Trop. Biomed.* 5(1):48-53, ( 2015).
- [25] Stanley, P.; Koronakis, V. and Hughes, C. Acylation of *Escherichia coli* hemolysin: A unique protein lipidation mechanism underlying toxin function. *Micro. Mol. Biol. Rev.* 62(2): 309-333, (1998).
- [26] Hai,N.V.The use of medical plants as immunostimulants in aquaculture: Aquaculture .446:88-96, (2015).
- [27] Raji, Y.; Udoju,S; Oluwadar, O.;Akinsomisoye, O. and Awobajo,O. Anti-inflammatory and analgesic properties of the rhizome extract of *Zingiber officinale*.*Afr. J. Biomed. Res.* 5 :121-124, (2002).
- [28] Tripathi, M.K.; Mishra, A.S.; Mondal, D.; Misra, A.K.;Prasad,R. and Jakhmola, R.C. Caecal fermentation characteristic blood composition and growth of rabbits on substitution of soya-bean mead by unconventional high-glycosinolate mustered (*Brassica Juncea*) mead as protein supplement. *Animal.*2 (2): 207-215, (2008).
- traperitoneal alteration in peritonitis. *Infect. Immune.* 68(1): 176-183, (2000).
- [16] Kadhem, AK.; Hamza, Sj. And Altaae, MF. Separation and purification of hemolysin from local isolation of *Serratia marcescens*. *Intern. J. Phar. Scien.* 3(6): 386-390, (2013).
- [17] Chinedu, E.; Arome,D. and Ameh, F.S.A new method for determining acute Toxicity in Animal Models.*Toxicol.Int.* 20(3): 224-226, (2013).
- [18] Mehrdad, M.; Messripour, M. and Ghobadipour, M. The effect of ginger extraction blood urea nitrogen an creatinine in mice. *Pakistan. J.Biol. Scien.* 10(17): 2968-2971, (2007).
- [19] Skals, M.; Jorgensen, N.R.;Leipziger,J. and praetorins, H. A. $\alpha$ -hemolysin from *Escherichia coli* causes endogenous amplification through p2X receptor activation to induce hemolysis. *PANS.* 106 (10): 4030-4035 .(2009).
- [20] Lae stadius,A.;Dahlfors.R. and Aperia,A. Dual effects of *Escherichia coli*  $\alpha$ -hemolysin on rat renal proximal tubule cells. *Kidney Inter.* 62: 2035-2042, (2002).
- [21] Su,L.; Chen,S.; Woodard,R.; Chen,J. and Wu,J.Extracellular over expression of recombinant *Thermobifida fusca* cutinase by alpha-hemolysin secretion system in *E. coli* BL21(DE3).*Micro.C.Fact.* 11(8):2-7, (2012).
- [22] Mishraa,S.andSuseelaa,M.R.Production, Partial Purification and Characterization of Extracellular, Alkalophilic, Carboxy Methyl Cellulase from *Bacillus*